

# **VYHODNOCENÍ KVALITY OVZDUŠÍ V LOKALITĚ ZLÍN – KVÍTKOVÁ**

## **Rok 2020**



**ENVITECH BOHEMIA, s.r.o.**

# **ÚDAJE O ZAKÁZCE**

## **Zhotovitel:**

**ENVItech Bohemia s.r.o.**

Ovocná 34/1021 ,  
161 00 Praha 6  
Česká republika

**IČO: 47119209**

**DIČ: CZ47119209**

Datum předání zprávy: 19. února 2021

Počet výtisků: 1

Výtisk číslo: 1

# OBSAH

---

<b><u>1 ÚVOD</u></b>	<b>4</b>
<b>1.1 IMISNÍ LIMITY</b>	<b>5</b>
<b>1.2 DATA A JEJICH ZPRACOVÁNÍ</b>	<b>5</b>
<b><u>2 METEOROLOGICKÉ PODMÍNKY BĚHEM MĚŘENÍ</u></b>	<b>6</b>
<b>2.1 VĚTRNÉ RŮŽICE</b>	<b>6</b>
<b>2.2 RYCHLOST PROUDĚNÍ VĚTRU</b>	<b>6</b>
<b>2.3 TEPLOTA VZDUCHU</b>	<b>8</b>
<b>2.4 RELATIVNÍ VLHKOST VZDUCHU</b>	<b>9</b>
<b>2.5 ÚHRN SRÁŽEK</b>	<b>11</b>
<b><u>3 VYHODNOCENÍ KVALITY OVZDUŠÍ</u></b>	<b>13</b>
<b>3.1 SUSPENDOVANÉ ČÁSTICE PM<sub>10</sub>, PM<sub>2,5</sub> A PM<sub>1</sub></b>	<b>13</b>
<b>3.1.1 PRŮMĚRNÉ ROČNÍ KONCENTRACE</b>	<b>15</b>
<b>3.1.2 PRŮMĚRNÉ MĚSÍČNÍ KONCENTRACE</b>	<b>16</b>
<b>3.1.3 PRŮMĚRNÉ DENNÍ KONCENTRACE PM</b>	<b>18</b>
<b>3.1.4 ANALÝZA HODINOVÝCH KONCENTRACÍ – DENNÍ CHOD A KONCENTRAČNÍ RŮŽICE</b>	<b>22</b>
<b>3.1.5 SROVNÁNÍ S LOKALITAMI STÁTNÍ SÍTĚ IMISNÍHO MONITORINGU</b>	<b>26</b>
<b>3.2 OXIDY DUSÍKU NO<sub>2</sub>, NO A NO<sub>x</sub></b>	<b>32</b>
<b>3.2.1 PRŮMĚRNÉ ROČNÍ KONCENTRACE</b>	<b>33</b>
<b>3.2.2 PRŮMĚRNÉ MĚSÍČNÍ KONCENTRACE</b>	<b>34</b>
<b>3.2.3 PRŮMĚRNÉ DENNÍ KONCENTRACE NO, NO<sub>2</sub> A NO<sub>x</sub></b>	<b>36</b>
<b>3.2.4 ANALÝZA HODINOVÝCH KONCENTRACÍ – DENNÍ CHOD A KONCENTRAČNÍ RŮŽICE</b>	<b>38</b>
<b>3.2.5 SROVNÁNÍ S LOKALITAMI STÁTNÍ SÍTĚ IMISNÍHO MONITORINGU</b>	<b>42</b>
<b>3.3 PŘÍZEMNÍ OZÓN</b>	<b>45</b>
<b>3.3.1 VÝVOJ 26. NEJVÝŠÍCH 8HODINOVÝCH KLOUZAVÝCH PRŮMĚRŮ ZA DEN V ROCE</b>	<b>45</b>
<b>3.3.2 PRŮMĚRNÉ MĚSÍČNÍ KONCENTRACE</b>	<b>47</b>
<b>3.3.3 VÝVOJ PRŮMĚRNÝCH DENNÍCH KONCENTRACÍ O<sub>3</sub></b>	<b>47</b>
<b>3.3.4 ANALÝZA HODINOVÝCH KONCENTRACÍ – DENNÍ CHOD A KONCENTRAČNÍ RŮŽICE</b>	<b>50</b>
<b>3.3.5 SROVNÁNÍ S LOKALITAMI STÁTNÍ SÍTĚ IMISNÍHO MONITORINGU</b>	<b>54</b>
<b><u>4 ZÁVĚRY</u></b>	<b>57</b>
<b><u>5 CITOVANÁ LITERATURA</u></b>	<b>58</b>

# **1 ÚVOD**

---

V květnu roku 2017 byla zprovozněna stanice Zlín – Kvítková v centru Zlína. Tato zpráva uvádí výsledky za rok 2020 a srovnává je se stanicí státní sítě imisního monitoringu Zlín, patřící ČHMÚ.

Stanice leží v areálu ZŠ Kvítková. Vlastníkem je statutární město Zlín. Jedná se o městskou pozadovou stanici, která je umístěna v obytné zóně. Reprezentativnost stanice je v rámci okrskového měřítka 0,5 – 4 km.



## 1.1 IMISNÍ LIMITY

Pro škodliviny, měřené v lokalitě Zlín – Kvítková, platí následující imisní limity dle Přílohy č. 1 zákona o ochraně ovzduší [1].

Tab. 1 - Imisní limity vyhlášené pro ochranu zdraví lidí a maximální počet jejich překročení

Znečištějící látka	Doba průměrování	Imisní limit LV	pLV
Suspendované částice PM <sub>10</sub>	24 hodin	50 µg·m <sup>-3</sup>	35
Suspendované částice PM <sub>10</sub>	1 kalendářní rok	40 µg·m <sup>-3</sup>	
Suspendované částice PM <sub>2,5</sub>	1 kalendářní rok	20 µg·m <sup>-3</sup>	
Oxid dusičitý NO <sub>2</sub>	1 hodina	200 µg·m <sup>-3</sup>	18
Oxid dusičitý NO <sub>2</sub>	1 kalendářní rok	40 µg·m <sup>-3</sup>	
Přízemní ozón O <sub>3</sub>	maximální denní osmihodinový klouzavý průměr	120 µg·m <sup>-3</sup>	25

Kromě samotných imisních limitů tabulky uvádí také přípustnou četnost překročení za kalendářní rok (pLV, je-li stanovena). To znamená, že například v případě denního limitu pro PM<sub>10</sub> může být za kalendářní rok hodnota 50 µg·m<sup>-3</sup> maximálně 35krát překročena, aniž by došlo k překročení imisního limitu. Proto se často hodnotí 36. nejvyšší denní koncentrace, která pokud je vyšší než 50 µg·m<sup>-3</sup>, došlo k překročení imisního limitu.

## 1.2 DATA A JEJICH ZPRACOVÁNÍ

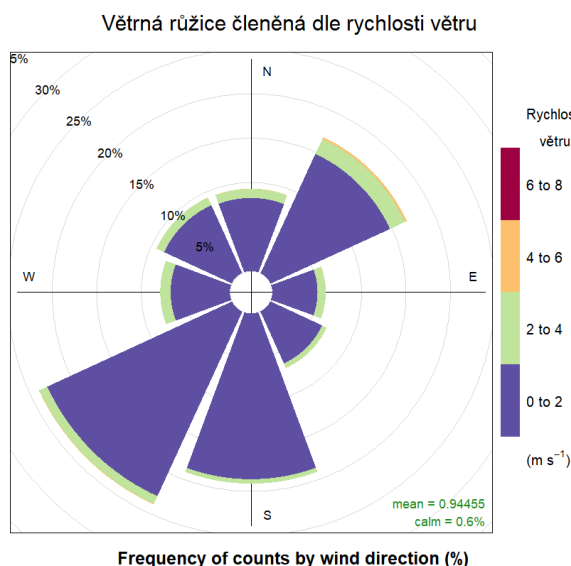
Ve studii byla mimo samotnou lokalitu Zlín – Kvítková rovněž použita data státní sítě imisního monitoringu za účelem srovnání lokality s okolními stanicemi. Data byla poskytnuta Českým hydrometeorologickým ústavem. Veškerá uvedená data byla poskytnuta na základě žádosti MÚ Zlín a nemohou být použita jinak než pro tuto studii. Veškerá data ČHMÚ pocházejí z databáze ISKO (Informační systém kvality ovzduší).

K analýze a zobrazení závislosti znečištění ovzduší na meteorologických podmínkách sloužil OpenSource balík R (R Core Team, Rakousko) [2]. Především bylo využito souboru balíčků „Tidyverse“, obsahují nástroje pro zpracování a analýzu dat a jejich vizualizaci [3]. Dále bylo využito balíčku „openair“, jehož součástí jsou algoritmy pro použité polární grafy [4].

## 2 METEOROLOGICKÉ PODMÍNKY BĚHEM MĚŘENÍ

### 2.1 VĚTRNÉ RŮŽICE

Na následujícím Obr. 1 je zobrazena větrná růžice pro lokalitu Zlín – Kvítková konstruovaná z hodinových rychlostí a směrů větru. Růžice naznačuje převažující jihozápadní (cca 23 % roku) a jižní (cca 19 % roku) a severovýchodní proudění (cca 17 %). Vyšší rychlosti větru byly zaznamenány především ze severovýchodu a dále z jihozápadu. Bezdětří panovalo ve zhruba 0,6 % času měření. V lokalitě byly měřeny většinou nízké rychlosti větru (do  $2 \text{ m}\cdot\text{s}^{-1}$ ), průměrná rychlosť větru za celé měřené období byla zhruba  $1 \text{ m}\cdot\text{s}^{-1}$ .



Obr. 1 – Větrná růžice členěná dle rychlosti větru, Zlín – Kvítková, rok 2020

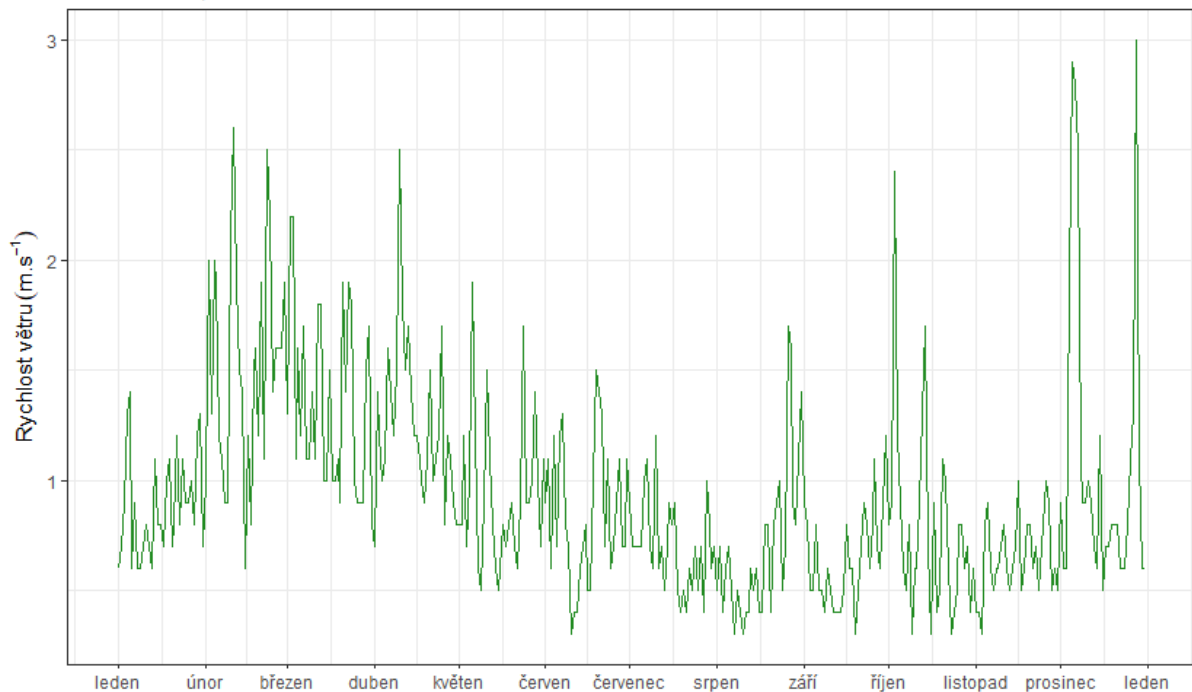
### 2.2 RYCHLOST PROUDĚNÍ VĚTRU

Meteorologické podmínky v chladné části roku vlivem častějších, a především silnějších teplotních inverzí napomáhají horším rozptylovým podmínkám – během teplotní inverze se v atmosféře vytvoří vrstva připomínající pokličku, pod kterou je stabilní atmosféra tzn., že je téměř bezvětří nebo pouze nízké rychlosti větru a nedochází tedy k dostatečnému rozptylu škodlivin. Škodliviny se pak pod touto vrstvou kumulují a jejich koncentrace roste. Rychlosť proudění větru je tedy významným meteorologickým prvkem ovlivňujícím koncentrace škodlivin ovzduší. Pokud jsou rychlosti velmi nízké nebo panuje bezvětří, jsou zpravidla koncentrace škodlivin (zejména suspendovaných částic) vysoké. Naopak při vyšších rychlostech větru dochází k dobrému rozptylu, na druhou stranu může rovněž docházet i k resuspenzi suspendovaných částic, kdy dochází k opětovnému vznosu již jednou sedimentovaných částic. Příkladem takové resuspenze může být např. větrná eroze, kdy vlivem větru je strhávána půda z polí do vzduchu a podílí se tak na nárůstu koncentrací suspendovaných částic v ovzduší.

Na následujícím Obr. 2 jsou uvedeny průměrné denní rychlosti proudění větru v lokalitě Zlín – Kvítková. Z grafu je patrné, že byly měřeny převážně nízké rychlosti větru zhruba do  $2 \text{ m}\cdot\text{s}^{-1}$ , rychlosti okolo  $3 \text{ m}\cdot\text{s}^{-1}$  se vyskytovaly výjimečně. Následující Obr. 3 zobrazuje průměrné měsíční hodnoty.

### Vývoj průměrných denních rychlostí větru

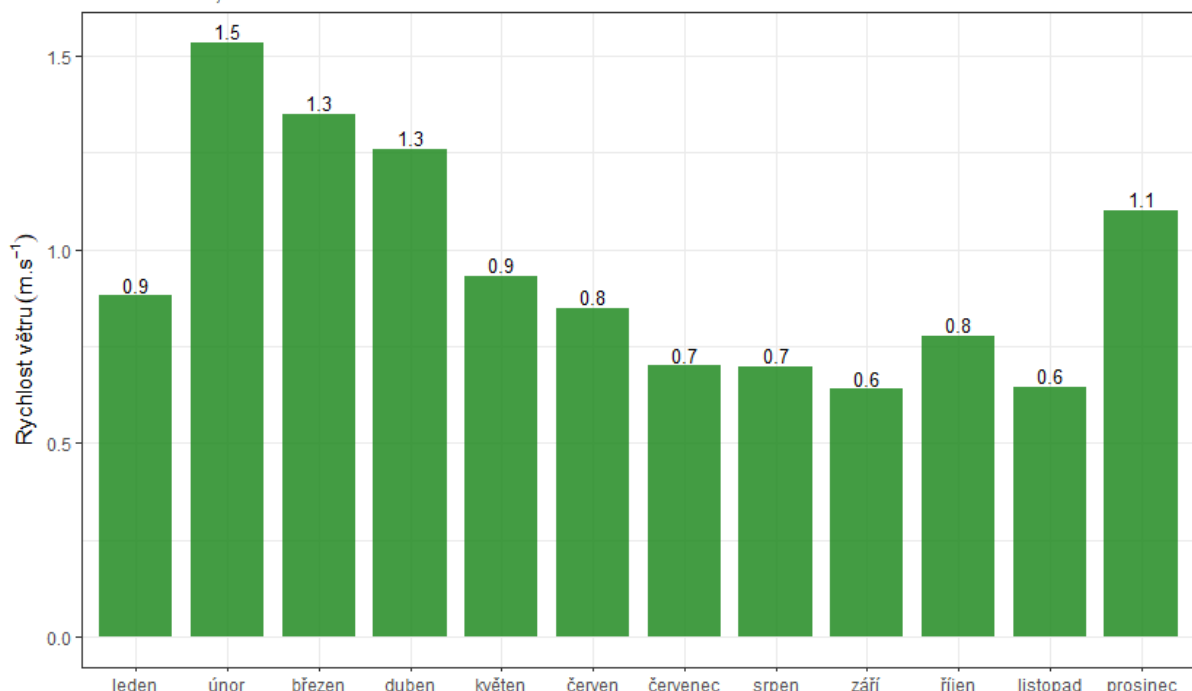
Zlín - Kvítková, rok 2020



Obr. 2 – Průměrné denní rychlosti větru, Zlín – Kvítková, rok 2020

### Vývoj průměrných měsíčních rychlostí větru

Zlín - Kvítková, rok 2020

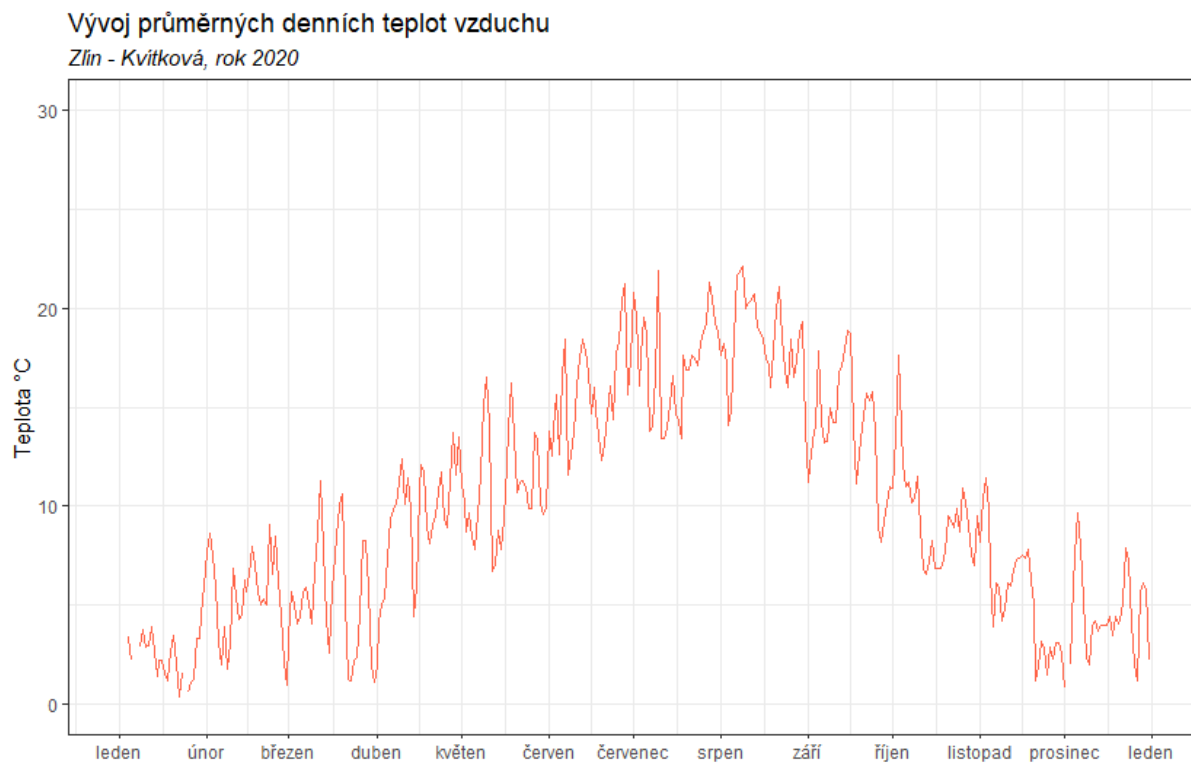


Obr. 3 – Průměrné měsíční rychlosti větru, Zlín – Kvítková, rok 2020

## 2.3 TEPLOTA VZDUCHU

Významným faktorem, ovlivňujícím koncentrace a distribuci velikostních frakcí je teplota vzduchu. V dlouhodobém trendu platí, že s klesající teplotou rostou koncentrace částic v ovzduší, přičemž je více zastoupená jemnější frakce, a naopak s rostoucí teplotou koncentrace klesají a je výrazněji zastoupená hrubší frakce částic. Teplota však spolu se slunečním zářením má vliv i na tvorbu částic z plynných prekurzorů tzv. nukleací. Působení teploty na tvorbu částic může být přímé (nukleace, růst a agregace) a nepřímé, kdy nízké teploty nutí k intenzivnějšímu vytápění, a tudíž k vyšším emisím tuhých látek z lokálních topeníšť. Pokud jsou během teplotních inverzí velmi nízké teploty a bezvětří, vedou tyto situace k nárůstu koncentrací všech škodlivin v ovzduší a pokud situace trvá déle i k vyhlášení smogových situací.

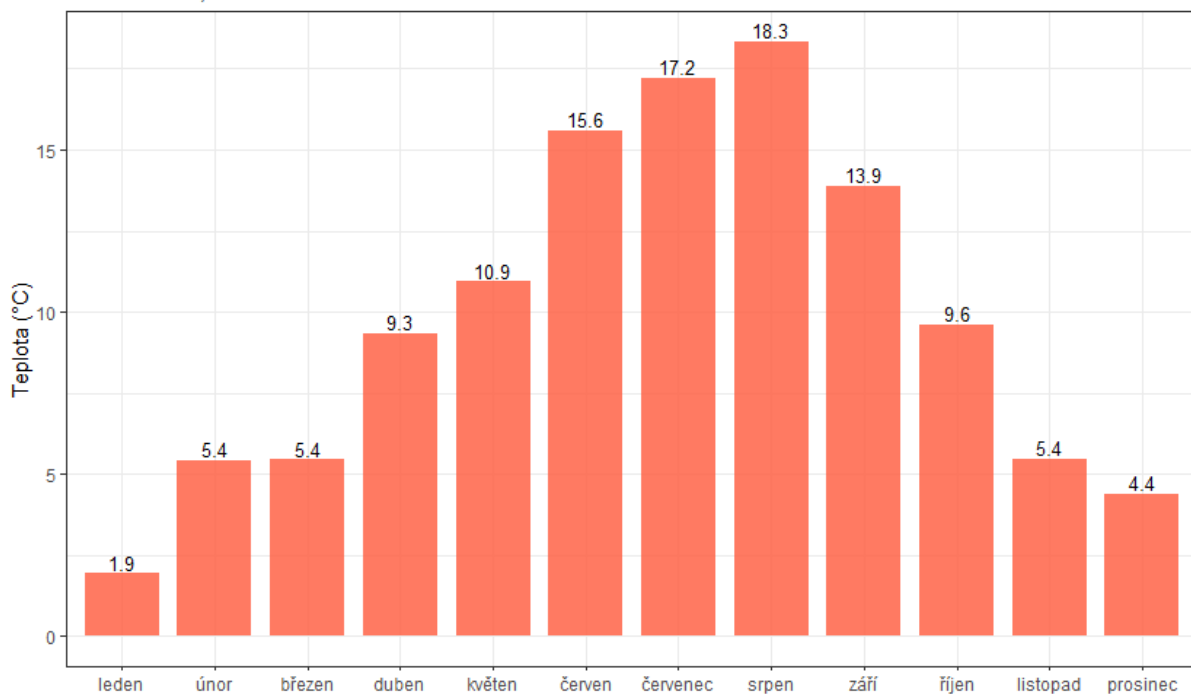
Následující Obr. 4 zobrazuje průměrné denní teploty vzduchu v lokalitě Zlín – Kvítková. Z grafu vyplývá, že maximální hodnoty byly v této lokalitě měřeny v srpnu a dále v červenci a červnu, poté docházelo k postupnému poklesu teplot. Minimální teploty pak byly měřeny v lednu a prosinci (Obr. 5).



Obr. 4 – Průměrné denní teploty vzduchu, Zlín – Kvítková, rok 2020

### Vývoj průměrných měsíčních teplot vzduchu

Zlín - Kvítková, rok 2020



Obr. 5 – Průměrné měsíční teploty, Zlín – Kvítková, rok 2020

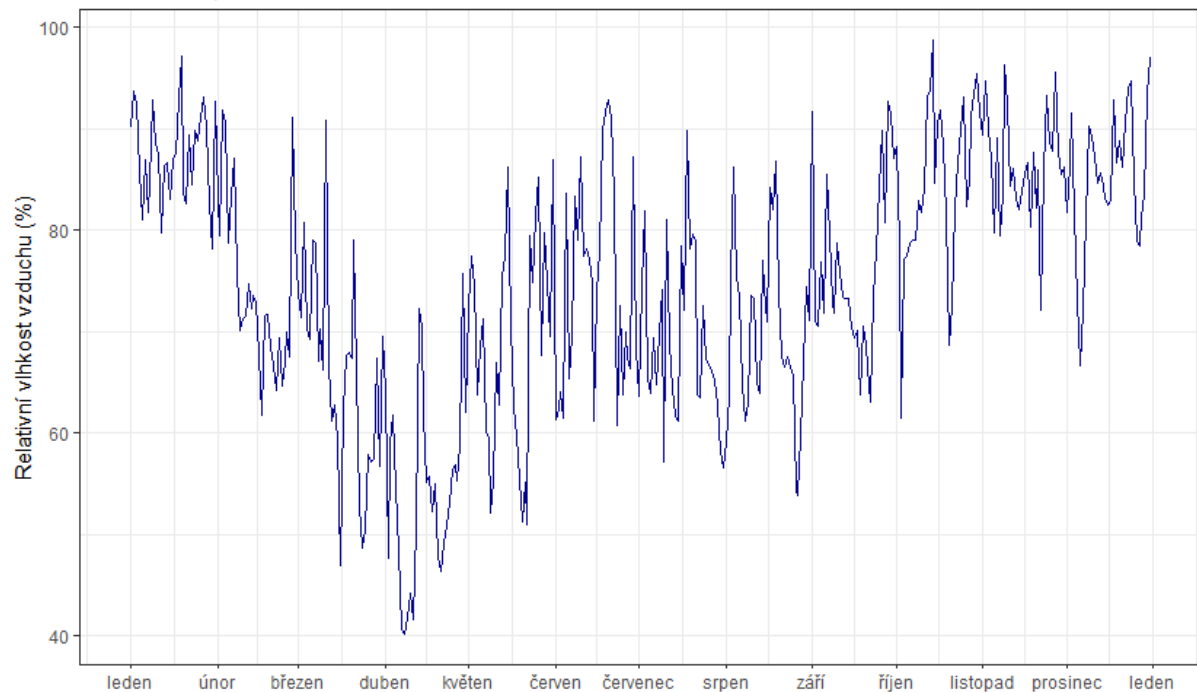
## 2.4 RELATIVNÍ VLHKOST VZDUCHU

Důležitým faktorem, ovlivňujícím koncentrace a distribuci velikostních frakcí je i relativní vlhkost vzduchu. V dlouhodobém trendu platí, že s rostoucí relativní vlhkostí rostou koncentrace částic v ovzduší, přičemž je více zastoupená jemnější frakce, a naopak s klesající relativní vlhkostí koncentrace klesají a je výrazněji zastoupená hrubší frakce částic.

Následující Obr. 6 zobrazuje průměrné denní relativní vlhkosti vzduchu v lokalitě Zlín – Kvítková. Z grafu vyplývá, že maximální hodnoty byly v této lokalitě měřeny v chladné části roku, naopak nejnižší hodnoty byly měřeny v létě. Průměrné měsíční hodnoty jsou uvedeny na Obr. 7

### Vývoj relativních denních vlhkostí vzduchu

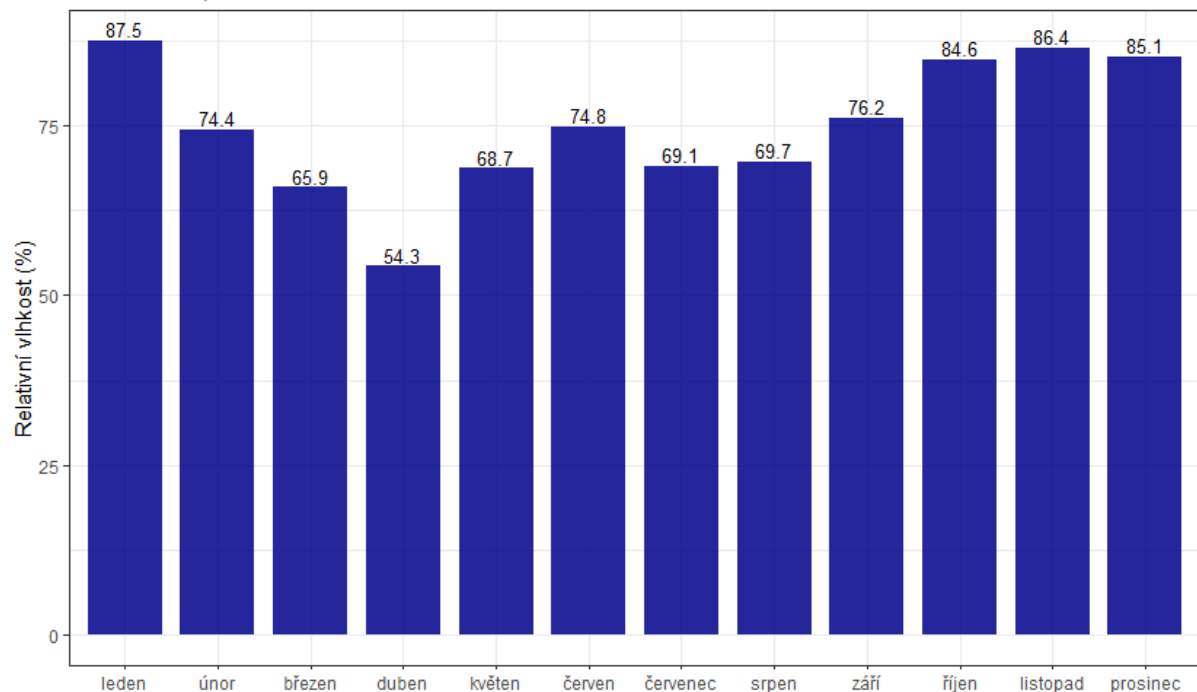
Zlín - Kvítková, rok 2020



Obr. 6 - Průměrné denní relativní vlhkosti vzduchu, Zlín – Kvítková, rok 2020

### Vývoj průměrných měsíčních relativních vlhkostí vzduchu

Zlín - Kvítková, rok 2020

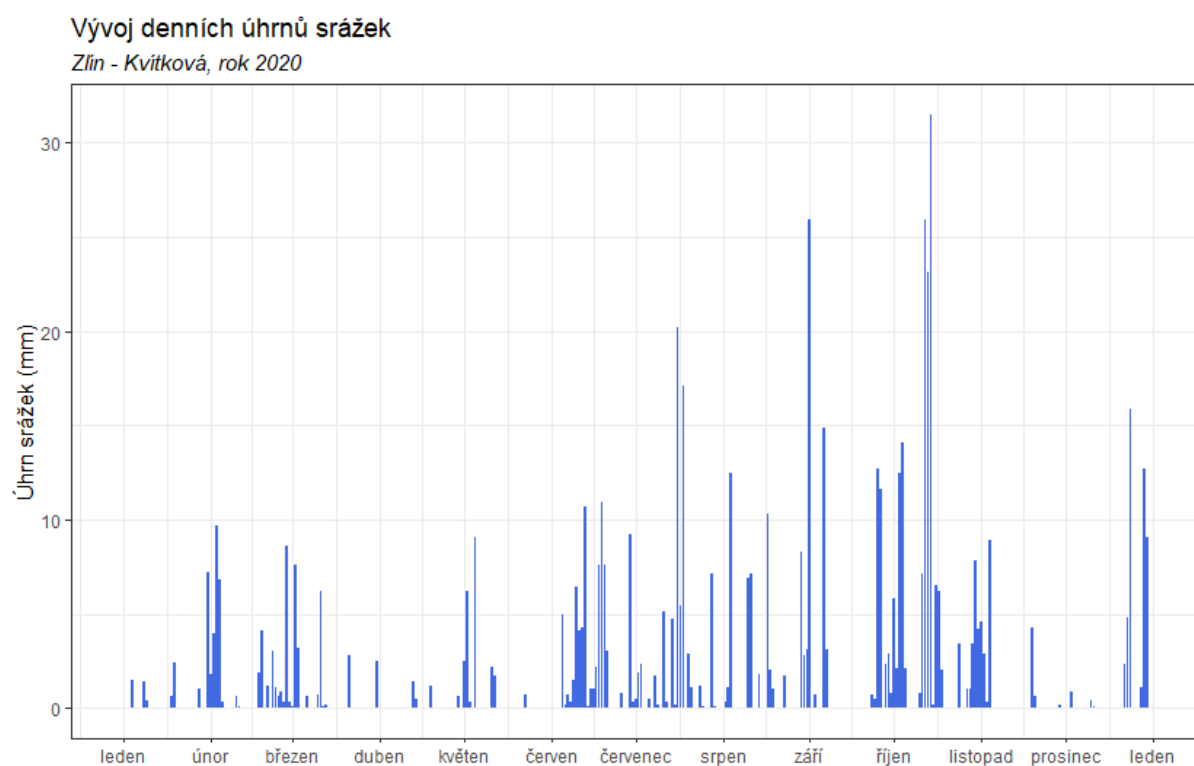


Obr. 7 – Průměrné měsíční relativní vlhkosti vzduchu, Zlín – Kvítková, rok 2020

## 2.5 ÚHRN SRÁŽEK

Koncentrace škodlivin může ovlivňovat rovněž úhrn srážek. Ten může znamenat přechod fronty, a tedy rozrušení teplotní inverze, v případě částic může díky srázkám docházet k tzv. vymývání částic z atmosféry, kdy dojde k výraznému poklesu koncentrací prašnosti v ovzduší. Naopak delší bezesrážková epizoda může v zimě značit delší epizodu s inverzním charakterem počasí, v teplé části roku pak může docházet k vysýchaní půdy a větrné erozi.

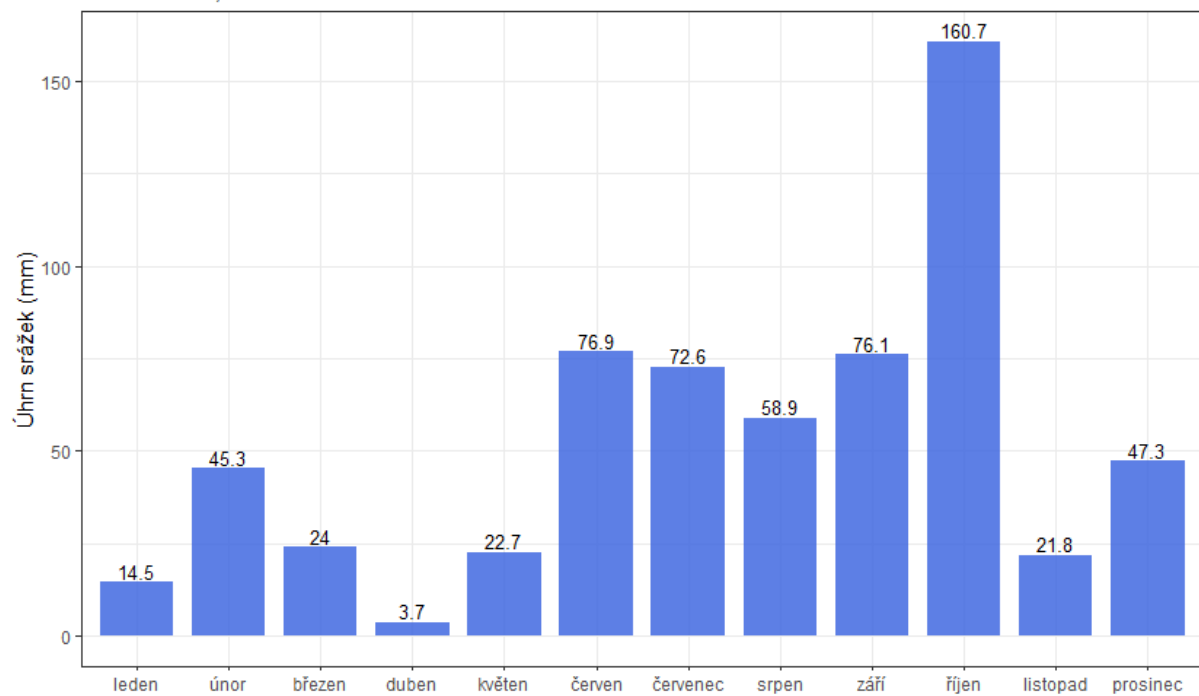
Následující Obr. 8 zobrazuje denní úhrn srážek v lokalitě Zlín – Kvítková. Následující graf na Obr. 9 zobrazuje měsíční úhrny srážek. Méně než 10 mm srážek v měsíčním úhrnu se vyskytlo pouze v dubnu, nejvyšší úhrn pak byl zaznamenán v říjnu.



Obr. 8 – Denní úhrn srážek, Zlín – Kvítková, rok 2020

### Vývoj měsíčních úhrnů srážek

Zlín - Kvítková, rok 2020



Obr. 9 – Měsíční úhrn srážek, Zlín – Kvítková, rok 2020

### 3 VYHODNOCENÍ KVALITY OVZDUŠÍ

#### 3.1 SUSPENDOVANÉ ČÁSTICE PM<sub>10</sub>, PM<sub>2,5</sub> A PM<sub>1</sub>

Suspendované částice jsou emitovány jak přírodními (např. sopky či prašné bouře), tak i antropogenními (např. elektrárny a průmyslové technologické procesy, doprava, spalování uhlí v domácnostech, spalování odpadu) zdroji. Většina těchto antropogenních emisních zdrojů je soustředěna v urbanizovaných oblastech, tj. v oblastech, ve kterých žije velká část populace.

Z hlediska platné legislativy [1] jsou v ovzduší sledovány dvě velikostní frakce suspendovaných částic. Jedná se o hrubší frakci PM<sub>10</sub> (suspendované částice venkovního ovzduší s aerodynamickým průměrem do 10 µm) a jemnější frakci PM<sub>2,5</sub> (suspendované částice venkovního ovzduší s aerodynamickým průměrem do 2,5 µm). Názorně jsou tyto částice velikostně srovnány s lidským vlasem na Obr. 10.

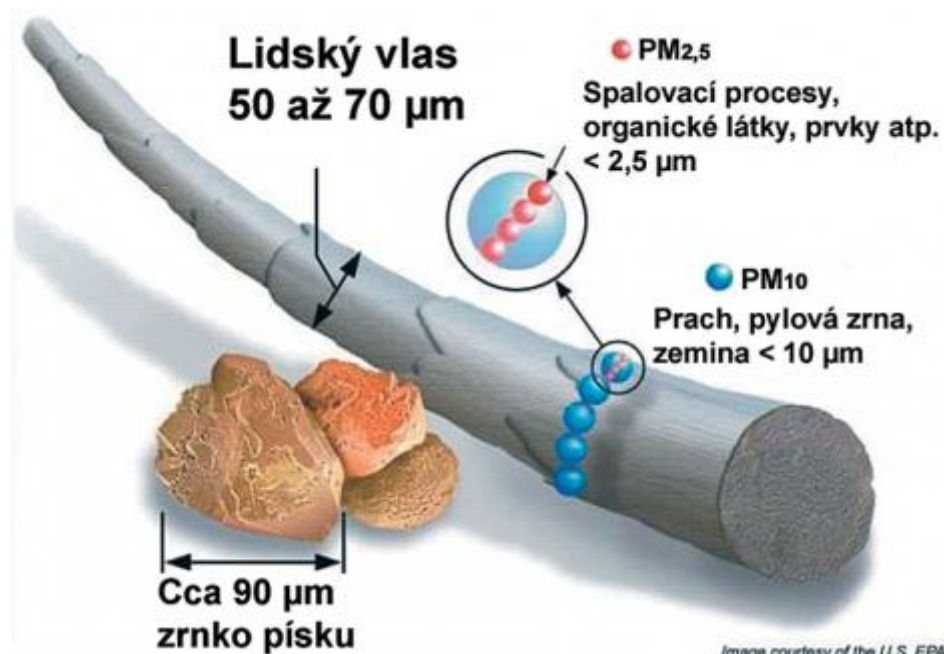


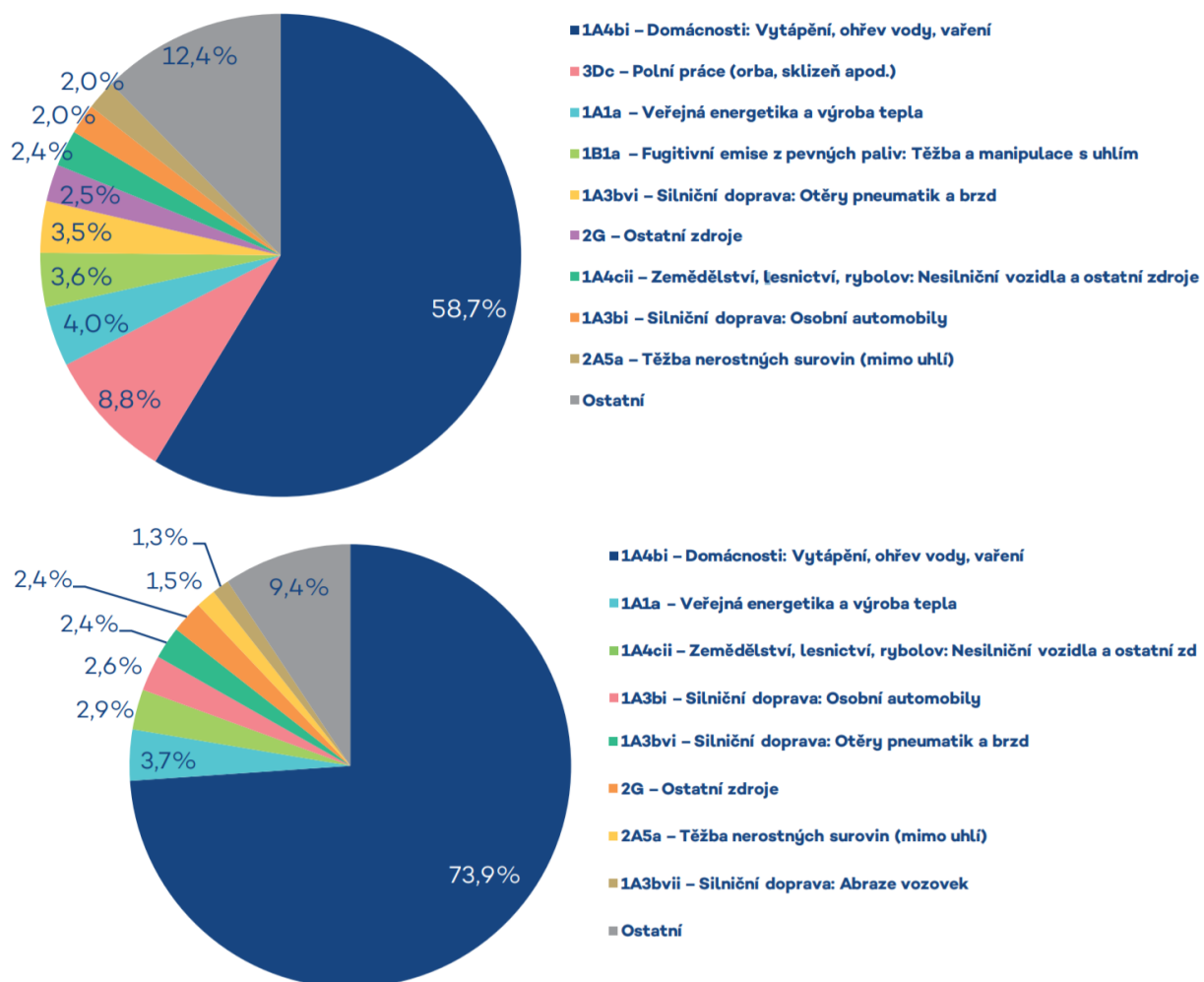
Image courtesy of the U.S. EPA

Obr. 10 – Srovnání velikostí částic PM<sub>10</sub> a PM<sub>2,5</sub> s lidským vlasem a zrnkem píska. Zdroj: US EPA

Emisní inventury částic PM<sub>10</sub> a PM<sub>2,5</sub> prováděné podle současných metodik zahrnují pouze emise produkované primárními zdroji. Ve srovnání s emisemi jiných znečišťujících látek jsou emise PM<sub>x</sub> vnášeny do ovzduší z velkého počtu významnějších skupin zdrojů. Kromě zdrojů, ze kterých jsou tyto látky vypouštěny řízeně komínem nebo výduchy (průmyslové zdroje, lokální toopeniště, doprava), pochází významné množství emisí PM ze zdrojů fugitivních (kamenolomy, skládky prašných materiálů, operace s prašnými materiály apod.). Zahrnutý jsou rovněž emise z otěrů pneumatik, brzdového obložení a abraze vozovek vypočítávané z dopravních výkonů. Kvalitu ovzduší ovlivňuje rovněž resuspenze částic (znovuzvýření), která do standardně prováděných emisních inventur není zahrnuta.

Mezi hlavní zdroje emisí částic v roce 2018 patřil v rámci celé ČR sektor 1A4bi – *Lokální vytápění domácností*, který se podílel na znečišťování ovzduší v celorepublikovém měřítku látkami PM<sub>10</sub> 58,7 % a PM<sub>2,5</sub> 73,9 %. Mezi další významné zdroje emisí PM<sub>10</sub> patřil sektor 3Dc – *Polní práce*, kde tyto emise

vznikají při obdělávání půdy, sklizni a čištění zemědělských plodin. Tento sektor představoval 8,8 % emisí PM<sub>10</sub>. Doprava se na emisích PM<sub>10</sub> podílela 11,2 % a na emisích PM<sub>2,5</sub> 11,1 % [5].



Obr. 11 – Podíl sektorů NFR na celkových emisích PM<sub>10</sub> (nahore) a PM<sub>2,5</sub> (dole) v ČR, rok 2018 [5]

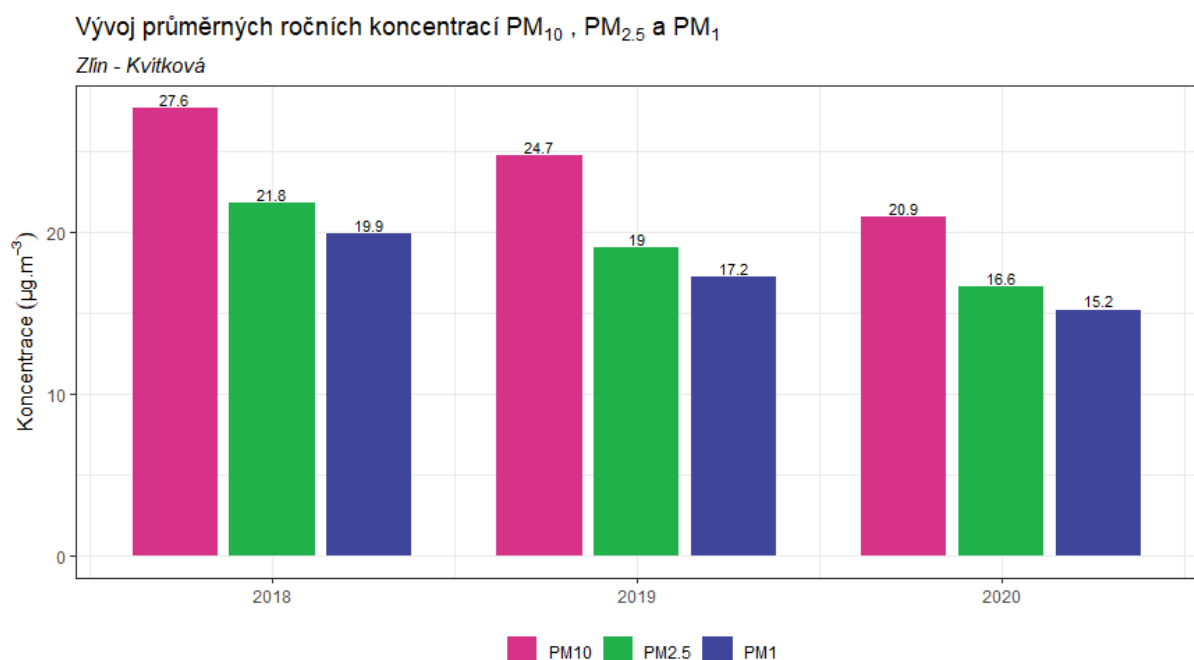
Suspendované částice mají významné zdravotní důsledky, které se projevují již při velmi nízkých koncentracích bez zřejmé spodní hranice bezpečné koncentrace. Zdravotní rizika částic ovlivňuje jejich koncentrace, velikost, tvar a chemické složení. Při akutním působení částic může dojít k podráždění sliznic dýchací soustavy, zvýšené produkci hlenu apod. Tyto změny mohou způsobit snížení imunity a zvýšení náchylnosti k onemocnění dýchací soustavy. Opakující se onemocnění mohou vést ke vzniku chronické bronchitidy a kardiovaskulárním potížím. Při akutním působení částic může dojít k zvýraznění symptomů u astmatiků a navýšení celkové nemocnosti a úmrtnosti populace. Dlouhodobé vystavení působení částic může vést ke vzniku onemocnění respiračního a kardiovaskulárního systému. Míra zdravotních důsledků je ovlivněna řadou faktorů, jako je například aktuální zdravotní stav jedince, alergická dispozice nebo kouření. Citlivou skupinou jsou děti, starší lidé a lidé trpící onemocněním dýchací a oběhové soustavy. Nejzávažnější zdravotní dopady, tj. kardiovaskulární a respirační účinky a navýšení úmrtnosti, mají jemné a ultra jemné částice s velikostí aerodynamického průměru pod 1 µm [6], [7].

### 3.1.1 Průměrné roční koncentrace

Průměrná roční koncentrace  $\text{PM}_{10}$  činila v roce 2020 v lokalitě Zlín – Kvítková  $20,9 \mu\text{g}\cdot\text{m}^{-3}$ . Imisní limit tedy překročen nebyl. Průměrná roční koncentrace  $\text{PM}_{2,5}$  činila v roce 2020 v lokalitě Zlín – Kvítková  $16,6 \mu\text{g}\cdot\text{m}^{-3}$ . Imisní limit tedy překročen nebyl, nebyla překročena ani hodnota zpřísněného imisního limitu platného po roce 2020.

Průměrná roční koncentrace  $\text{PM}_1$  činila v roce 2020 v lokalitě Zlín – Kvítková  $15,2 \mu\text{g}\cdot\text{m}^{-3}$ .

Následující Obr. 12 zobrazuje vývoj průměrných ročních koncentrací  $\text{PM}_{10}$ ,  $\text{PM}_{2,5}$  a  $\text{PM}_1$  v lokalitě Zlín – Kvítková. Z grafu je patrné, že proti roku 2019 došlo ve všech sledovaných frakcích prašnosti k poklesu průměrných ročních koncentrací.

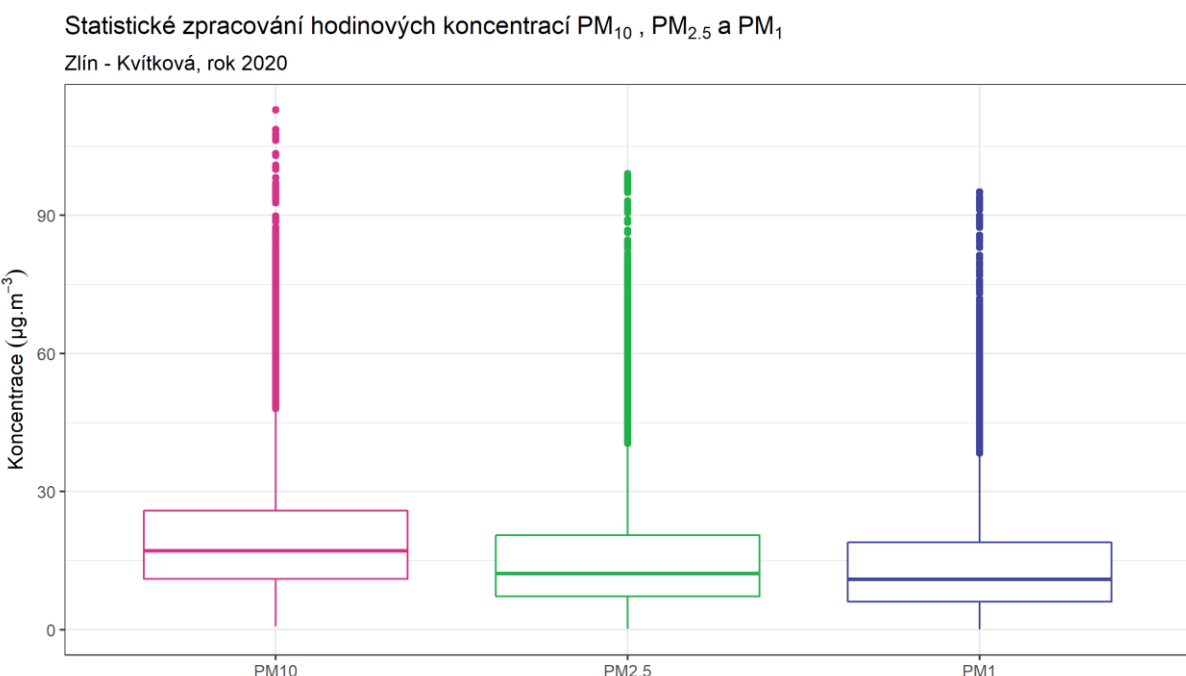


Obr. 12 -Vývoj průměrných ročních koncentrací PM, lokalita Zlín – Kvítková

Následující Tab. 2 pak zobrazuje statistické zpracování naměřených hodinových dat pro jednotlivé frakce PM. Grafické znázornění hodinových koncentrací pomocí krabicových grafů za rok 2020 pak zobrazuje Obr. 13.

Tab. 2 – Statistické charakteristiky hodinových koncentrací PM<sub>10</sub>, PM<sub>2,5</sub> a PM<sub>1</sub> v lokalitě Zlín – Kvítková, rok 2020

STATISTIKA	PM10	PM25	PM01
<b>PRŮMĚR</b>	20,9	16,6	15,2
<b>MAXIMUM</b>	112,9	99	95,1
<b>MEDIÁN</b>	17,1	12,2	10,9
<b>MINIMUM</b>	0,7	0,2	0,1



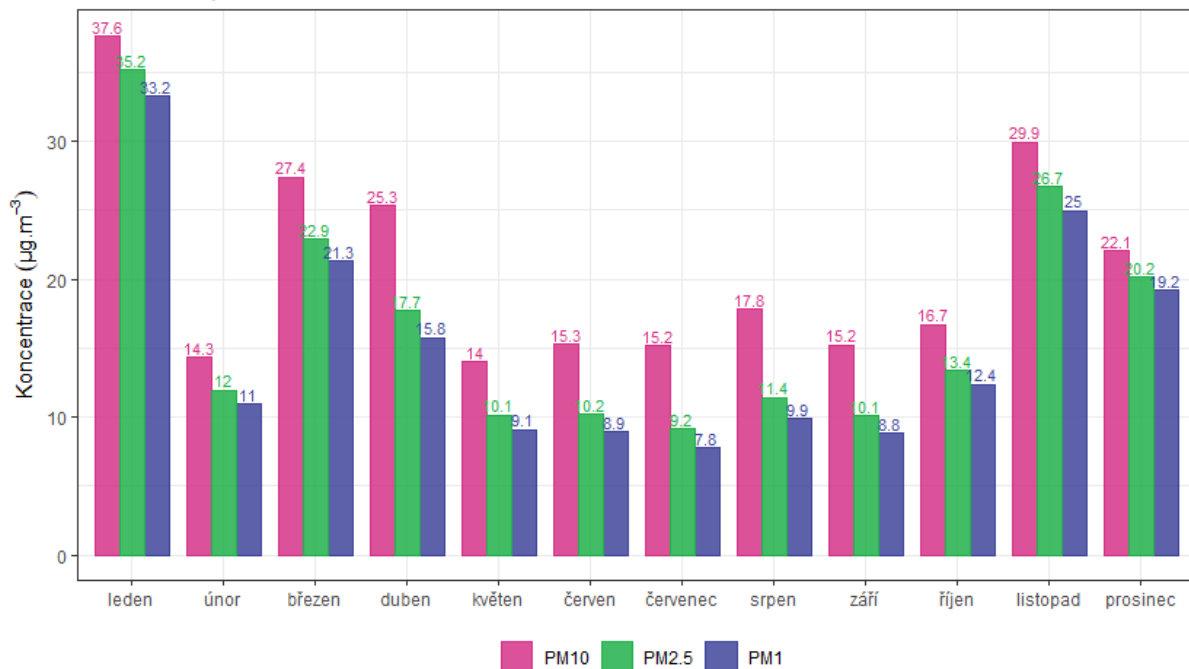
Obr. 13 – Statistické zpracování hodinových koncentrací PM<sub>10</sub>, PM<sub>2,5</sub> a PM<sub>1</sub> v lokalitě Zlín – Kvítková, rok 2020

### 3.1.2 Průměrné měsíční koncentrace

Na Obr. 14 jsou průměrné měsíční koncentrace PM<sub>10</sub>, PM<sub>2,5</sub> a PM<sub>1</sub>. Z obrázku je patrné, že v letních měsících jsou koncentrace nejnižší, naopak v chladné části roku jsou měřeny vyšší koncentrace. Nejvyšší průměrná měsíční koncentrace PM<sub>10</sub> byla naměřena v lednu a listopadu. Rovněž je patrné, že v letních měsících vzrostl podíl hrubší frakce PM<sub>10</sub>, což může být důsledek sucha a víření prašnosti včetně větrné eroze.

### Vývoj průměrných měsíčních koncentrací PM<sub>10</sub>, PM<sub>2,5</sub> a PM<sub>1</sub>

Zlín - Kvítková, rok 2020

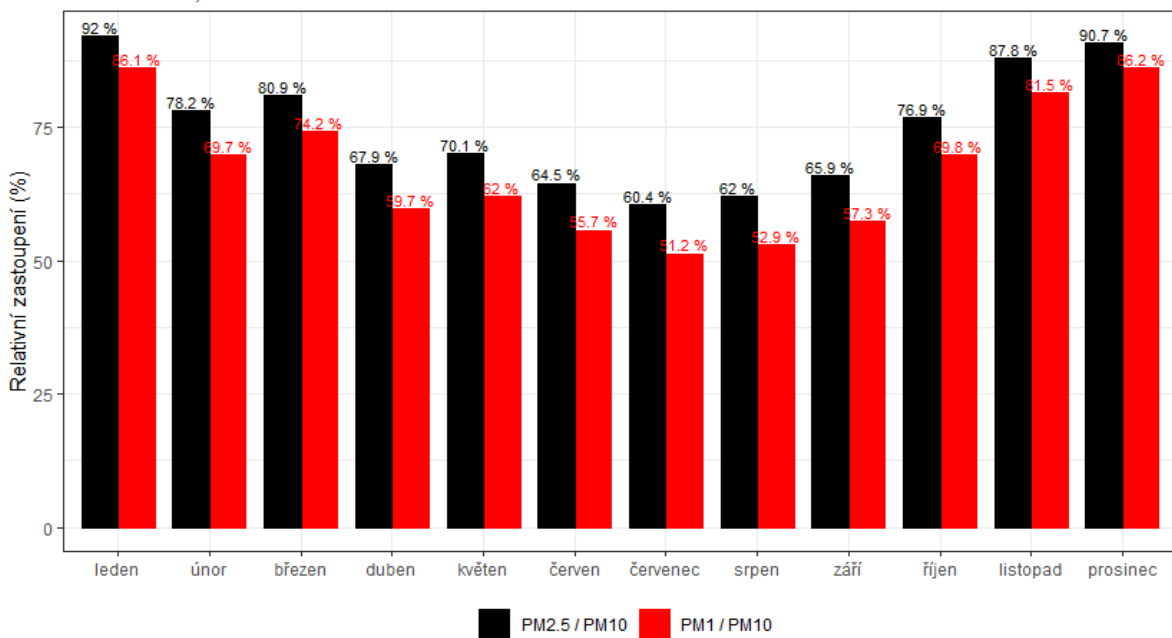


Obr. 14 - Průměrné měsíční koncentrace PM<sub>10</sub>, PM<sub>2,5</sub> a PM<sub>1</sub>, Zlín – Kvítková, rok 2020

Průměrné měsíční zastoupení jemnějších frakcí v PM<sub>10</sub> zobrazuje Obr. 15. Z něj je patrné, že v chladné části roku je jemnější a nebezpečnější frakce zastoupena podstatně více (až 90 %), než v létě.

### Průměrné měsíční relativní zastoupení PM<sub>2,5</sub> v PM<sub>10</sub> a PM<sub>1</sub> v PM<sub>10</sub>

Zlín - Kvítková, rok 2020



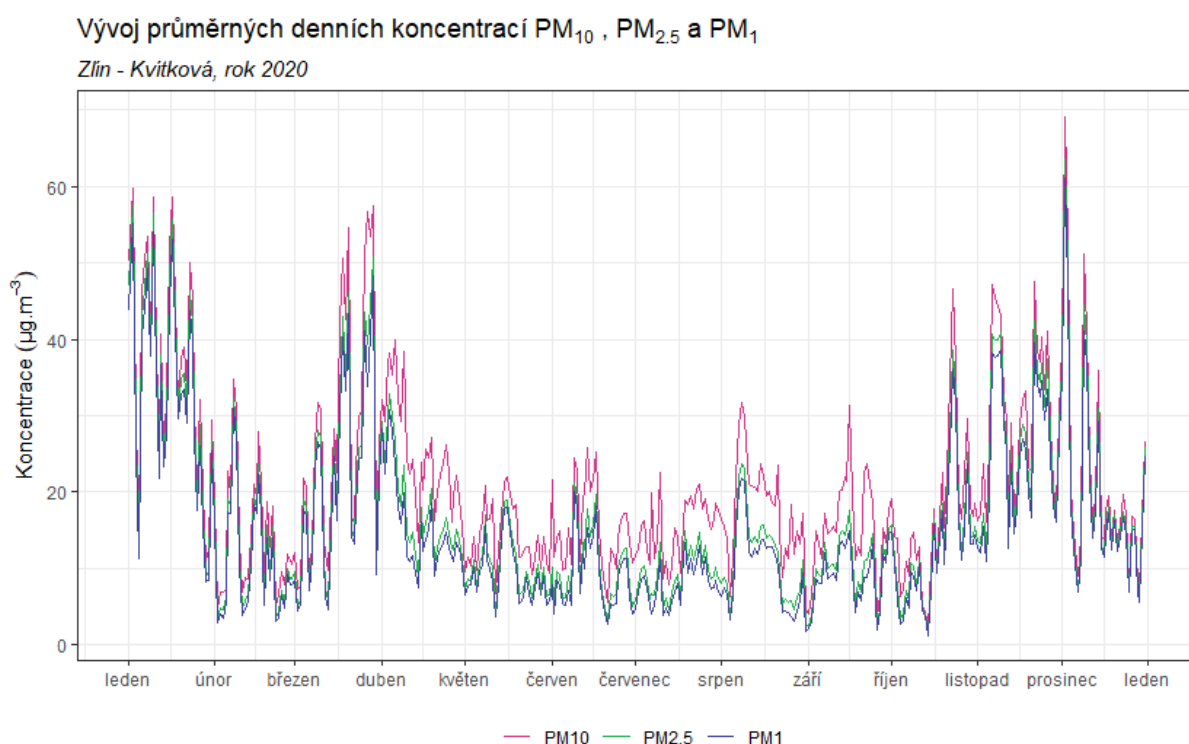
Obr. 15 – Průměrné měsíční zastoupení PM<sub>2,5</sub> v PM<sub>10</sub> a PM<sub>1</sub> v PM<sub>10</sub>, lokalita Zlín – Kvítková, rok 2020

### 3.1.3 Průměrné denní koncentrace PM

Vývoj průměrných denních koncentrací  $PM_{10}$ ,  $PM_{2,5}$  a  $PM_1$  v lokalitě Zlín – Kvítková zobrazuje následující Obr. 16. Z grafu je patrné, že koncentrace jemnějších frakcí  $PM_{2,5}$  a  $PM_1$  do značné míry kopírují hrubší frakci  $PM_{10}$  a z velmi velké části tak  $PM_{10}$  tvoří.

Průměrné denní koncentrace vyšší, než je hodnota imisního limitu pro průměrnou denní koncentraci  $PM_{10}$  ( $50 \mu\text{g}\cdot\text{m}^{-3}$ ) se vyskytují pouze v chladné části. V měsících květen–září, kdy nejsou v provozu lokální topeníště a jsou příznivější rozptylové podmínky, jsou koncentrace všech frakcí PM nízké a k překračování hodnoty limitu nedochází. Počet dní s překročenou hodnotou imisního limitu v jednotlivých měsících zobrazuje následující Obr. 17. Nejvíce překročení bylo naměřeno v lednu, kdy byly rovněž měřeny velmi nízké teploty a muselo se tedy intenzivněji topit (Obr. 4). Za rok 2020 došlo souhrnně k 18 překročením hodnoty imisního limitu pro průměrnou denní koncentraci  $PM_{10}$ , imisní limit tedy překročen nebyl (zákon umožňuje za kalendářní rok 35 překročení této hodnoty).

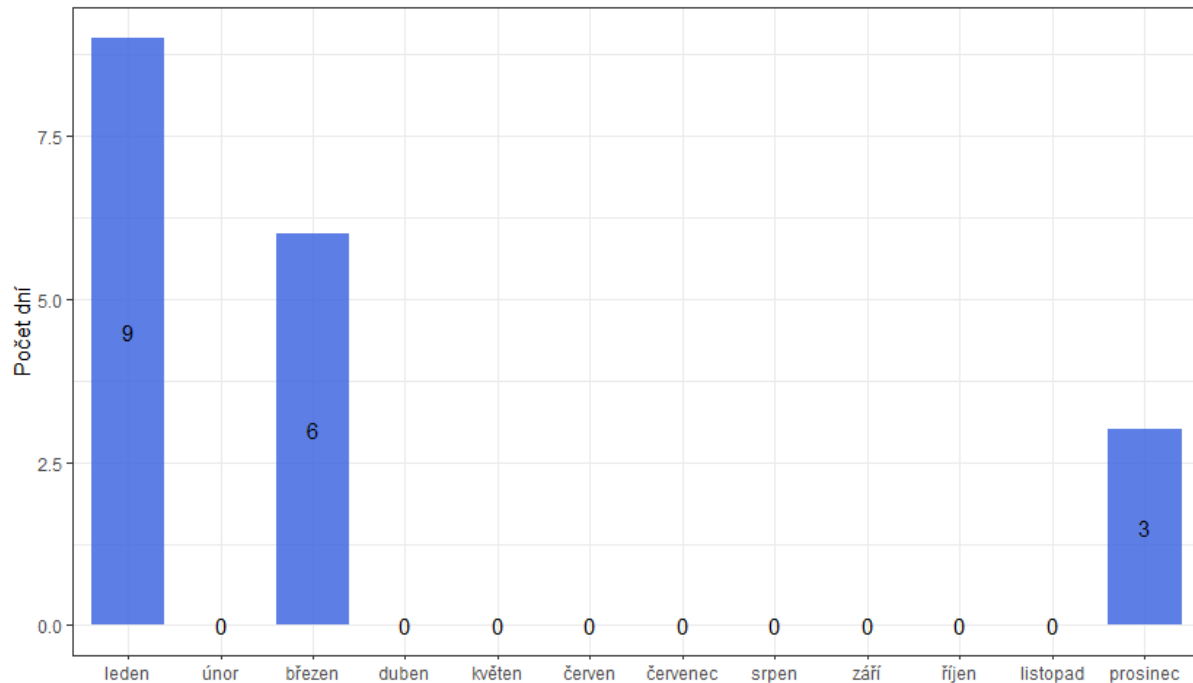
Vývoj charakteristik, vztahujících se k dennímu imisnímu limitu pro  $PM_{10}$  (36. nejvyšší koncentrace  $PM_{10}$  za kalendářní rok a počet dní s překročenou hodnotou imisního limitu) zobrazuje Obr. 18. Z grafu je patrné, že v roce 2020 došlo k poklesu obou sledovaných charakteristik proti roku 2018 i 2019.



Obr. 16 – Vývoj průměrných hodinových koncentrací  $PM_{10}$ ,  $PM_{2,5}$  a  $PM_1$ , Zlín – Kvítková, rok 2020

### Počet dní s překročením denního imisního limitu PM<sub>10</sub> v jednotlivých měsících

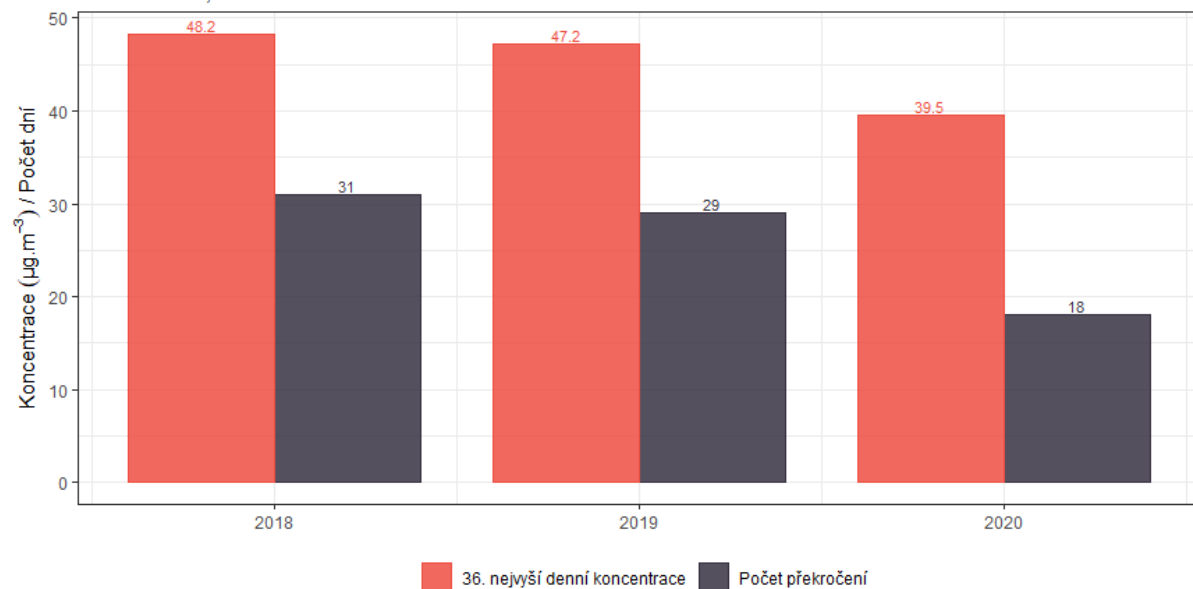
Zlín - Kvítková, rok 2020



Obr. 17 – Počet dní s překročenou hodnotou imisního limitu pro průměrnou denní koncentraci PM<sub>10</sub> v jednotlivých měsících, Zlín – Kvítková

### Vývoj 36. nejvyšší denní koncentrace PM<sub>10</sub> a překročení hodnoty imisního limitu

Zlín - Kvítková, rok 2020



Obr. 18 – Vývoj 36. nejvyšší denní koncentrace PM<sub>10</sub> a počtu dní s překročením hodnoty imisního limitu pro denní koncentraci PM<sub>10</sub>, lokalita Zlín – Kvítková

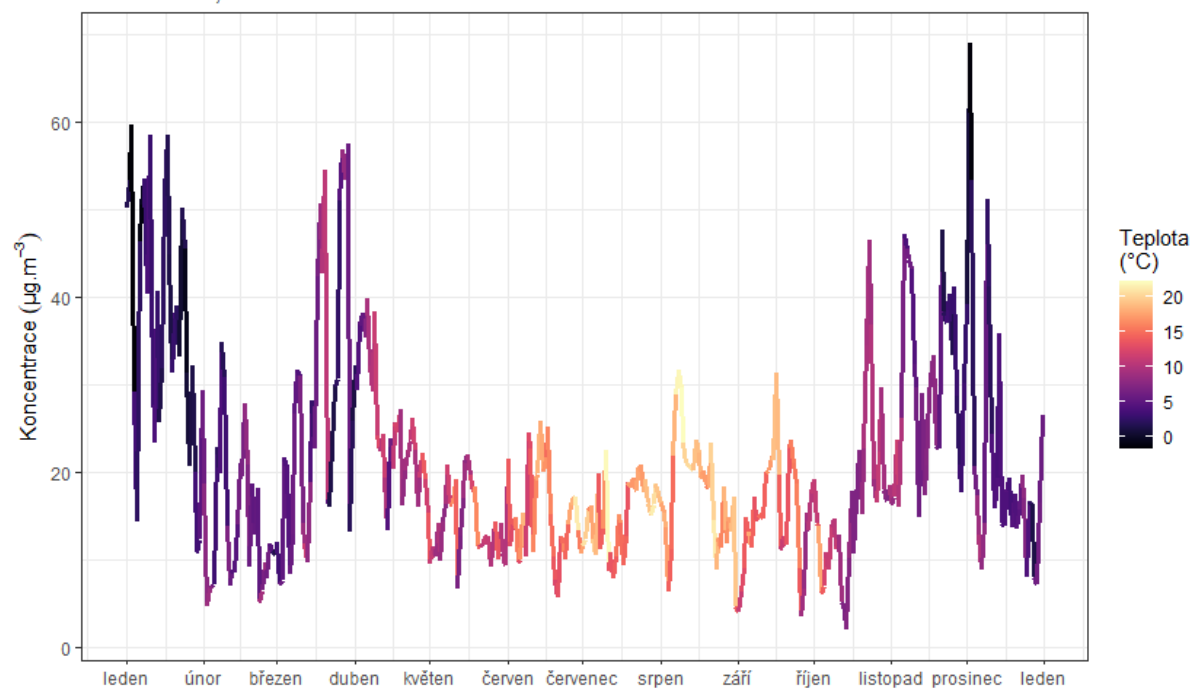
Vzhledem k tomu, že jsou trend a z velké části i hodnoty  $PM_{10}$ ,  $PM_{2,5}$  a  $PM_1$  téměř totožné (Obr. 16), bude vliv meteorologických podmínek zobrazen pouze pro  $PM_{10}$ , avšak totéž platí i pro jemnější frakce.

Na Obr. 19 jsou nad sebou zobrazeny dva grafy. Křivka vždy zobrazuje vývoj koncentrací  $PM_{10}$ , zábarvení křivky na horním grafu vždy zobrazuje aktuální teplotu vzduchu, ve spodním grafu pak rychlosť proudění větru.

Z grafů je pak patrné, že vyšší koncentrace  $PM_{10}$  jsou měřeny při nízkých teplotách a nízkých rychlostech větru. To jsou podmínky charakteristické pro teplotní inverzi. Nízké teploty se dále promítají do potřeby více topit, takže se i zvyšují emise z lokálních topení – v chladné části roku nejvýznamnější zdroj prašnosti. Nízké rychlosti větru pak zabraňují dostatečnému rozptylu škodlivin a koncentrace se tak neustále zvyšují.

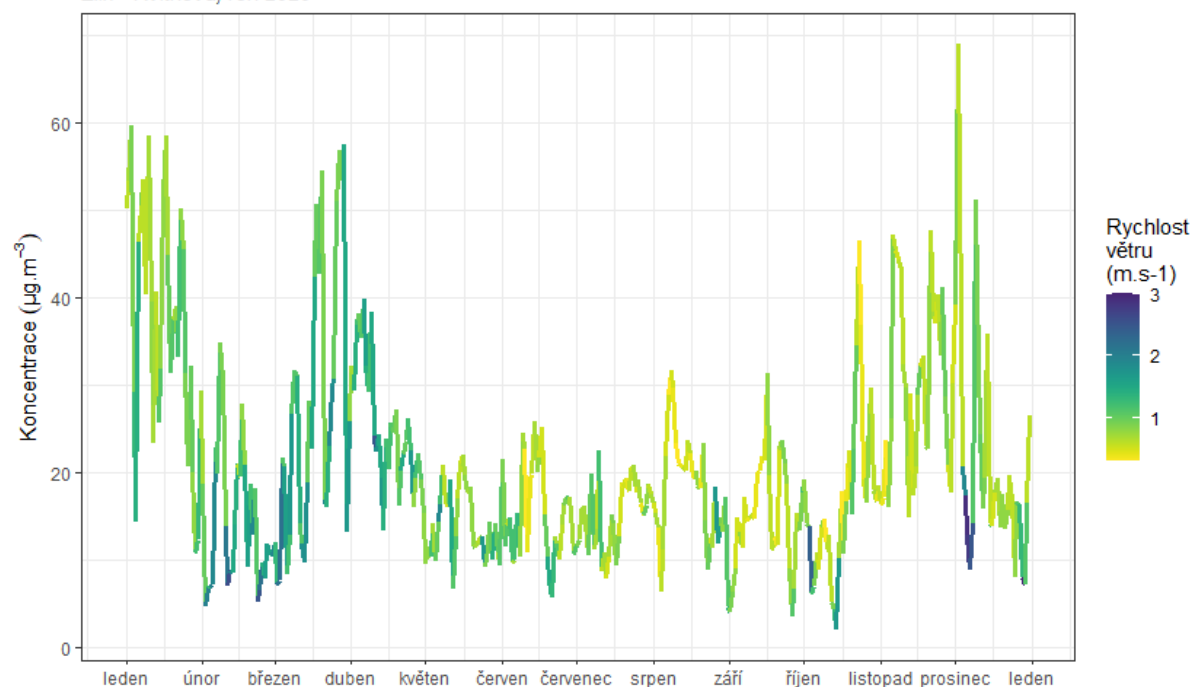
### Vývoj průměrných denních koncentrací PM<sub>10</sub> v závislosti na teplotě vzduchu

Zlín - Kvítková, rok 2020



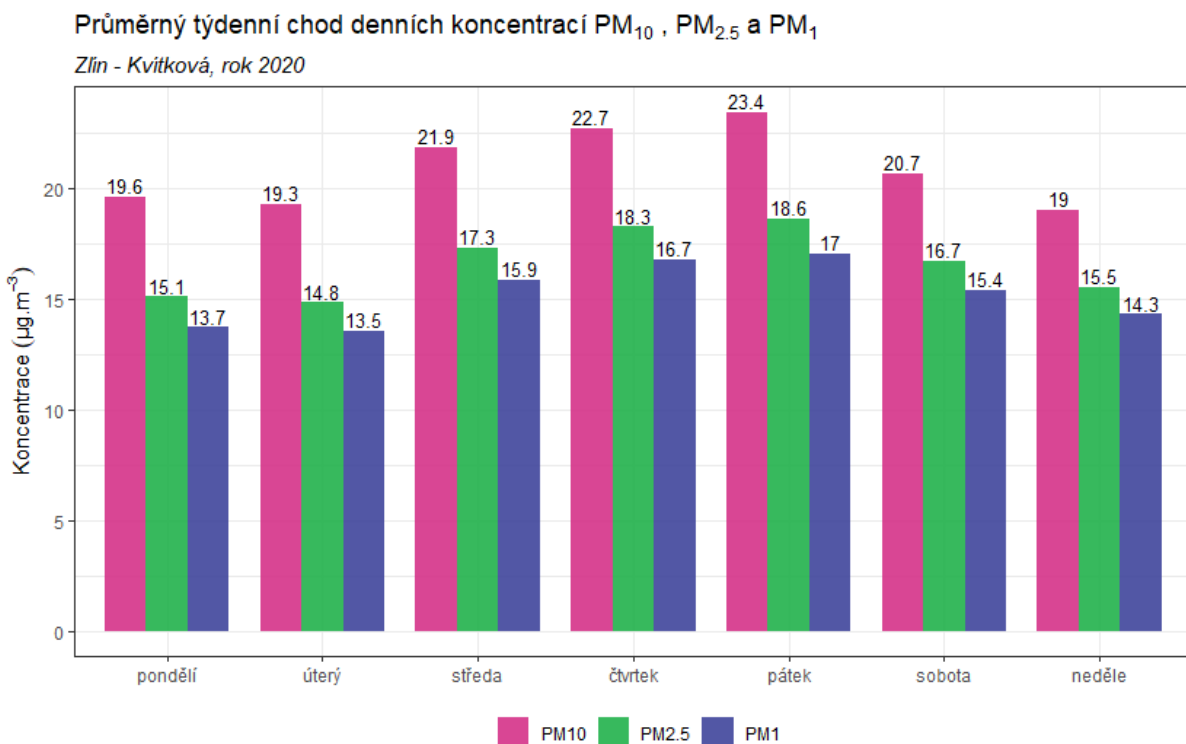
### Vývoj průměrných denních koncentrací PM<sub>10</sub> v závislosti na rychlosti větru

Zlín - Kvítková, rok 2020



Obr. 19 – Vliv teploty (nahoře) a rychlosti větru (dole) na koncentrace PM<sub>10</sub>, Zlín – Kvítková, rok 2020

Z hlediska týdenního chodu průměrných denních koncentrací  $PM_{10}$ ,  $PM_{2,5}$  a  $PM_1$  (Obr. 20) byl v roce 2020 nejhorším dnem pátek. Naopak nejnižší koncentrace jsou měřeny v neděli.



Obr. 20 – Průměrný týdenní chod denních koncentrací  $PM_{10}$ , Zlín – Kvítková, rok 2020

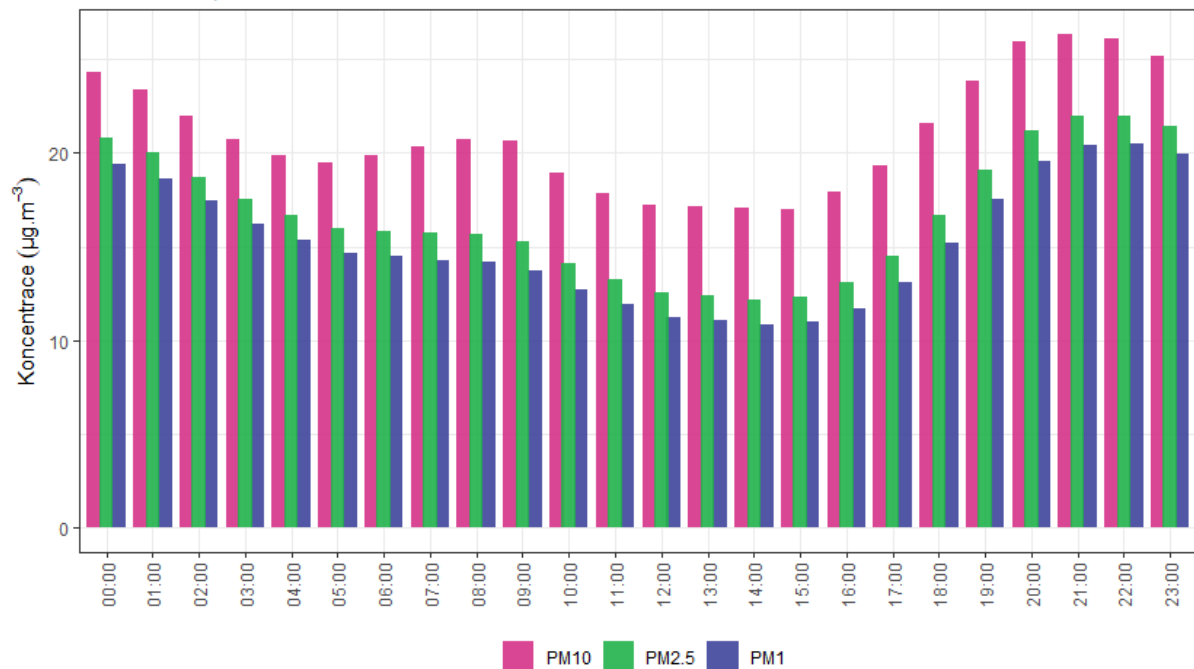
### 3.1.4 Analýza hodinových koncentrací – denní chod a koncentrační růžice

Zprůměrováním všech naměřených koncentrací v jednotlivé hodiny lze získat průměrný denní chod koncentrací  $PM_{10}$  (a v podstatě také  $PM_{2,5}$  a  $PM_1$ ) v lokalitě Zlín – Kvítková. Denní chod koncentrací  $PM_{10}$  zobrazuje Obr. 21.

Z grafů je patrné, že nejvyšší hodnoty koncentrací  $PM_{10}$  jsou dosahovány ve večerních a nočních hodinách. Je to velmi pravděpodobně důsledek návratu lidí z práce a zatopení v lokálních toopeništích, které plošně navýší hodnoty koncentrací prašnosti v celém území. Svůj vliv mají také rozptylové podmínky, které bývají v noci horší. Nárůst začíná kolem 17. hodiny a zůstává zvýšený zhruba do 21. hodiny. Poté dochází k postupnému poklesu koncentrací až do 6. hodiny ranní, kdy dochází k ranní špičce. Mírně zvýšené hodnoty jsou pak měřeny během dopoledne.

### Průměrný denní chod hodinových koncentrací PM<sub>10</sub>, PM<sub>2,5</sub> a PM<sub>1</sub>

Zlín - Kvítková, rok 2020

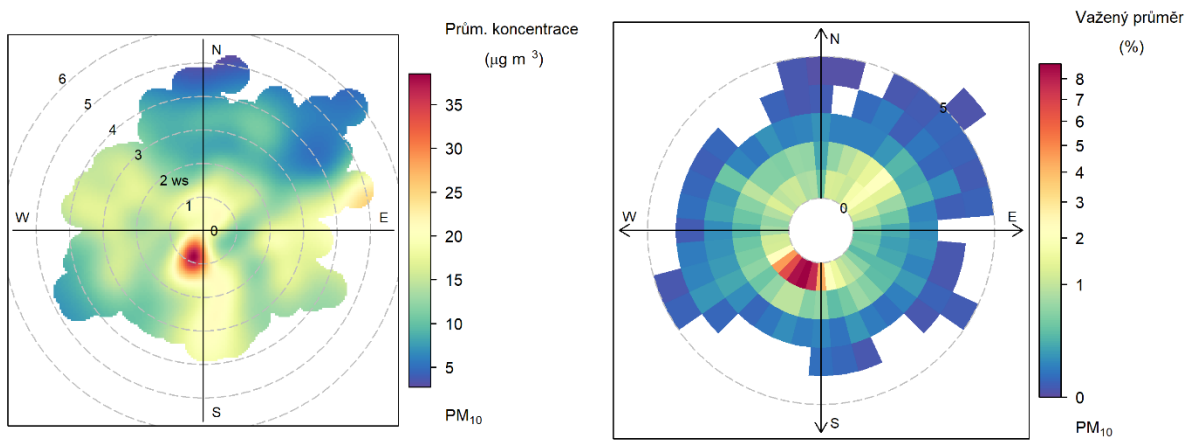


Obr. 21 – Denní chod hodinových koncentrací PM<sub>10</sub>, PM<sub>2,5</sub> a PM<sub>1</sub>, Zlín – Kvítková, rok 2020

Koncentrační růžice jsou nástroj pro analýzu znečištění ovzduší na základě meteorologických charakteristik. Pro jejich konstrukci jsou použita hodinová data meteorologických prvků a koncentrací škodlivin. Vychází se z větrné růžice, do polárních souřadnic se ukládá jednak směr větru jako u klasické větrné růžice, a dále pak rychlosť větru – ve středu růžice je bezvětří, s rostoucí vzdáleností od středu roste rychlosť větru. Pro jednotlivé rychlosťi a směry větru je pak v koncentrační růžici zprůměrována koncentrace dané škodliviny, naměřená vždy při daných rychlostech a směrech větru.

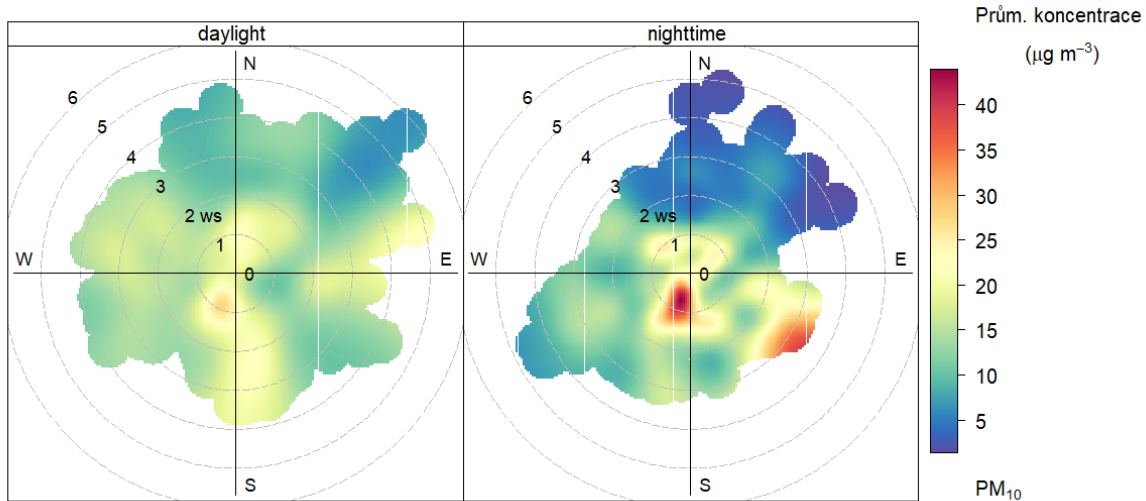
Základní koncentrační růžice tak ukazuje, při jakých rychlostech a směrech větru jsou v průměru dosahovány (nejvyšší) koncentrace. Vážená koncentrační růžice pak vypočte vážený průměr (tzn. že je vzata v úvahu také četnost výskytu), a dává tak informaci, jakým procentem se jednotlivé směry větru podílí na měřených koncentracích dané škodliviny.

Následující Obr. 22 zobrazuje tyto dva typy koncentračních růžic pro lokalitu Zlín – Kvítková.



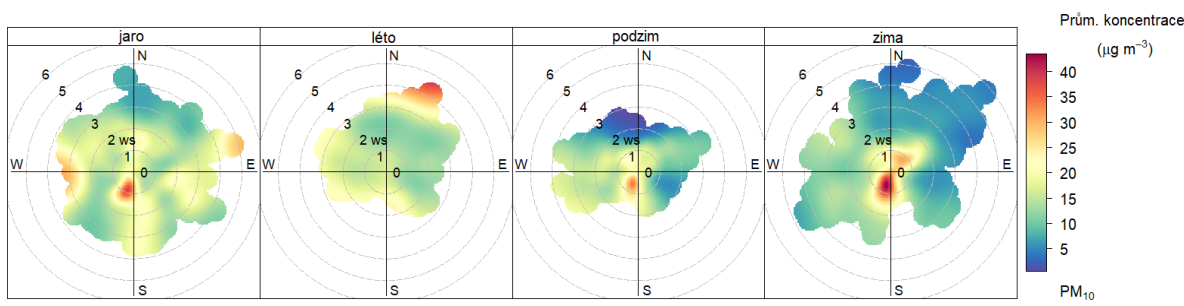
Obr. 22 – Koncentrační růžice (vlevo) a vážená koncentrační růžice (vpravo) pro  $\text{PM}_{10}$ , Zlín – Kvítková, rok 2020

Z Obr. 22 vyplývá, že v průměru jsou nejvyšší koncentrace měřeny při jižním až jihovýchodním proudění. Co se týče relativního příspěvku k měřeným koncentracím, převládají jihozápadní směry větru (z těchto směrů fouká nejčastěji) a nízké rychlosti větru. Na následujícím Obr. 23 je koncentrační růžice rozdělená na den a noc. Vysoké koncentrace  $\text{PM}_{10}$  z jižních směrů jsou měřeny zejména v nočních hodinách.



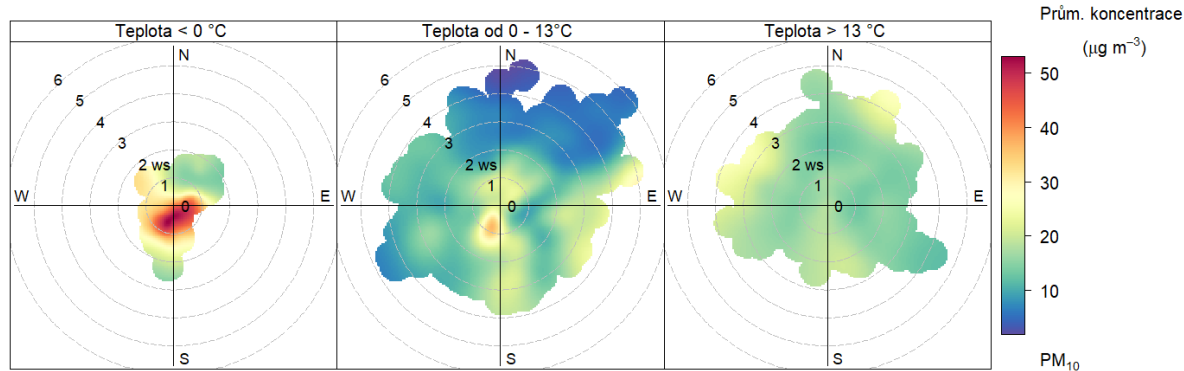
Obr. 23 – Koncentrační růžice ve dne (daytime) a v noci (nighttime), Zlín – Kvítková, rok 2020

Následující Obr. 24 zobrazuje koncentrační růžice v jednotlivých ročních obdobích. Vysoké koncentrace jsou měřeny zejména v zimních měsících z jižních směrů při nižších rychlostech větru. V létě jsou pak maxima při severozápadním proudění a vyšších rychlostech větru.



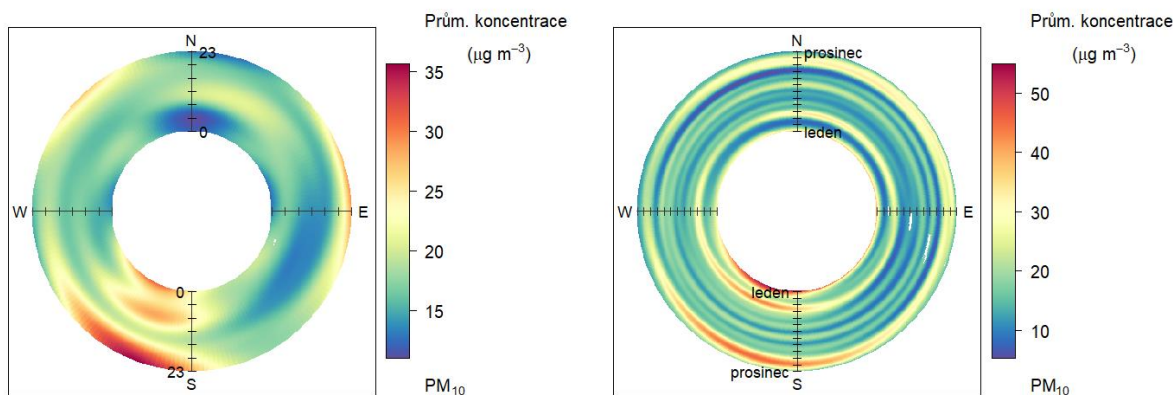
Obr. 24 – Koncentrační růžice jednotlivých ročních období, Zlín – Kvítková, rok 2020

Dále lze rozdělit koncentrační růžice na základě teplot vzduchu. Z Obr. 25 je pak patrné, že nejvyšší koncentrace jsou měřeny při teplotách vzduchu nižších než  $0^{\circ}\text{C}$  a nízkých rychlostech větru při proudění z jihozápadu až jihu. Při vyšších teplotách jsou již pouze mírně zvýšené, při teplotách nad  $13^{\circ}\text{C}$  jsou zaznamenány vysoké koncentrace při vyšších rychlostech větru ze západu. To nahrává teorii o větrné erozi – při vyšších teplotách může docházet k vysychání půdy a jejímu vznosu při vyšších rychlostech větru.



Obr. 25 – Koncentrační růžice členěná dle teplot, Zlín – Kvítková, rok 2020

Cenné informace poskytuje rovněž průměrný denní a roční chod, členěný dle směru větru. V případě denního chodu je uprostřed první hodina po půlnoci a na okraji pak 23. hodina. V případě ročního chodu je pak uprostřed 1. 1. a na okraji 31. 12. Směry větru jsou totožné jako v případě růžic.



Obr. 26 – Průměrný denní chod (vlevo) a roční chod (vpravo) koncentrací dle směru větru, Zlín – Kvítková, rok 2020

Z Obr. 26 pak vyplývá, že v případě lokality Zlín – Kvítková v roce 2020 byly nejvyšší koncentrace  $\text{PM}_{10}$  měřeny ve večerních a nočních hodinách, a to zejména z jihozápadních směrů. V případě ročního chodu jsou významné zejména zimní měsíce, v roce 2020 pak dominoval zejména začátek roku.

### 3.1.5 Srovnání s lokalitami státní sítě imisního monitoringu

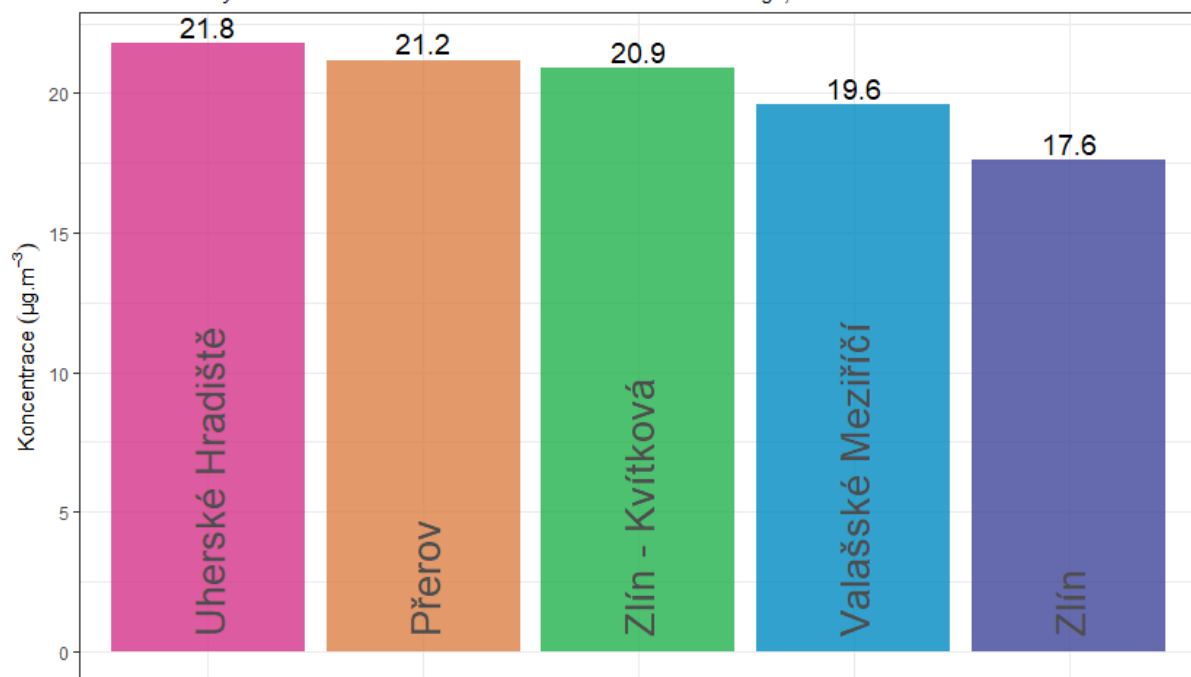
V této podkapitole budou koncentrace, naměřené v lokalitě Zlín – Kvítková, srovnány s hodnotami naměřenými ve státní síti imisního monitoringu Českého hydrometeorologického ústavu (ČHMÚ).

Na následujícím Obr. 27 jsou zobrazeny průměrné roční koncentrace částic  $\text{PM}_{10}$  na blízkých lokalitách v roce 2020 a srovnány s lokalitou Zlín – Kvítková. Z grafu vyplývá, že v lokalitě Zlín – Kvítková jsou měřeny průměrné koncentrace  $\text{PM}_{10}$ . Nejnižší hodnotu naměřila předměstská pozadová lokalita Zlín. Nejvyšší koncentrace  $\text{PM}_{10}$  byly naměřeny v dopravní lokalitě Uherské Hradiště. Žádná z uvedených lokalit nepřekročila imisní limit pro průměrnou roční koncentraci  $\text{PM}_{10}$ .

Na následujícím grafu na Obr. 28 jsou obdobně zobrazeny hodnoty průměrných ročních koncentrací  $\text{PM}_{2,5}$  na vybraných lokalitách. Z grafu je patrné, že lokalita Zlín – Kvítková dosahuje nejvyšších hodnot (v lokalitě Uherské Hradiště měření  $\text{PM}_{2,5}$  neprobíhá). Žádná z lokalit nepřekročila imisní limit pro průměrnou roční koncentraci  $\text{PM}_{2,5}$ . Od roku 2020 platí zpřísněný imisní limit ( $20 \mu\text{g} \cdot \text{m}^{-3}$ ). Lokalita Zlín – Kvítková však ani tento zpřísněný imisní limit nepřekročila.

### Průměrné roční koncentrace PM<sub>10</sub>

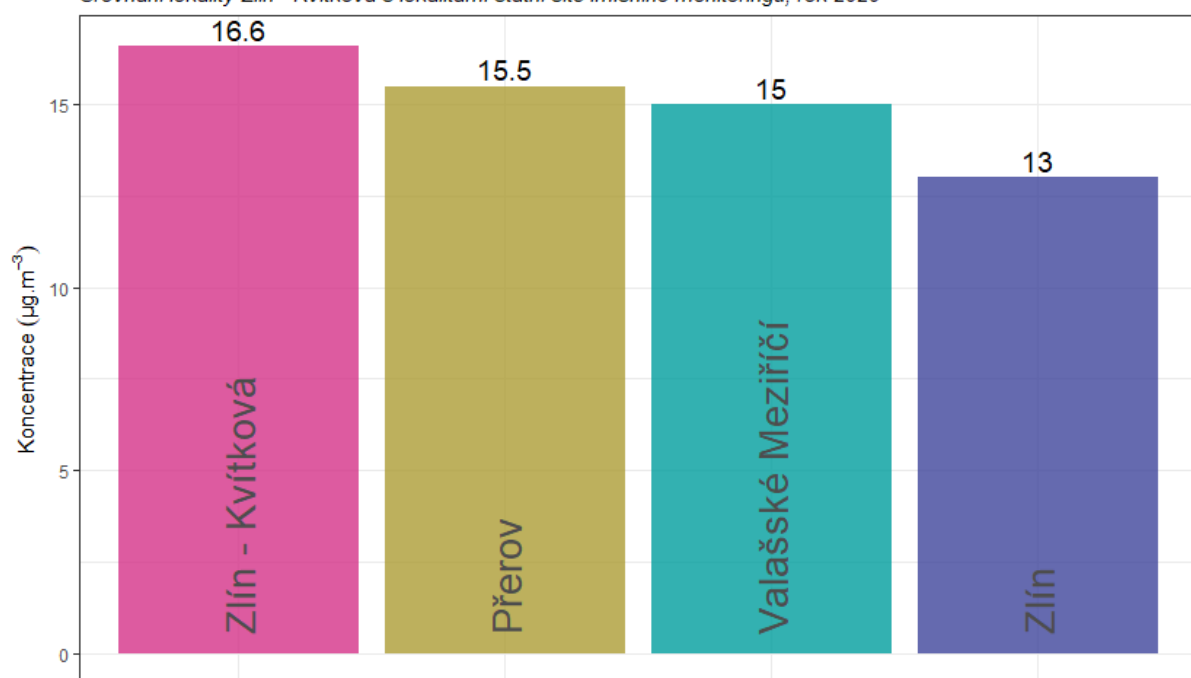
Srovnání lokality Zlín - Kvítková s lokalitami státní sítě imisního monitoringu, rok 2020



Obr. 27 – Srovnání průměrné roční koncentrace PM<sub>10</sub> lokality Zlín – Kvítková s okolními stanicemi státní sítě imisního monitoringu, rok 2020

### Průměrné roční koncentrace PM<sub>2,5</sub>

Srovnání lokality Zlín - Kvítková s lokalitami státní sítě imisního monitoringu, rok 2020



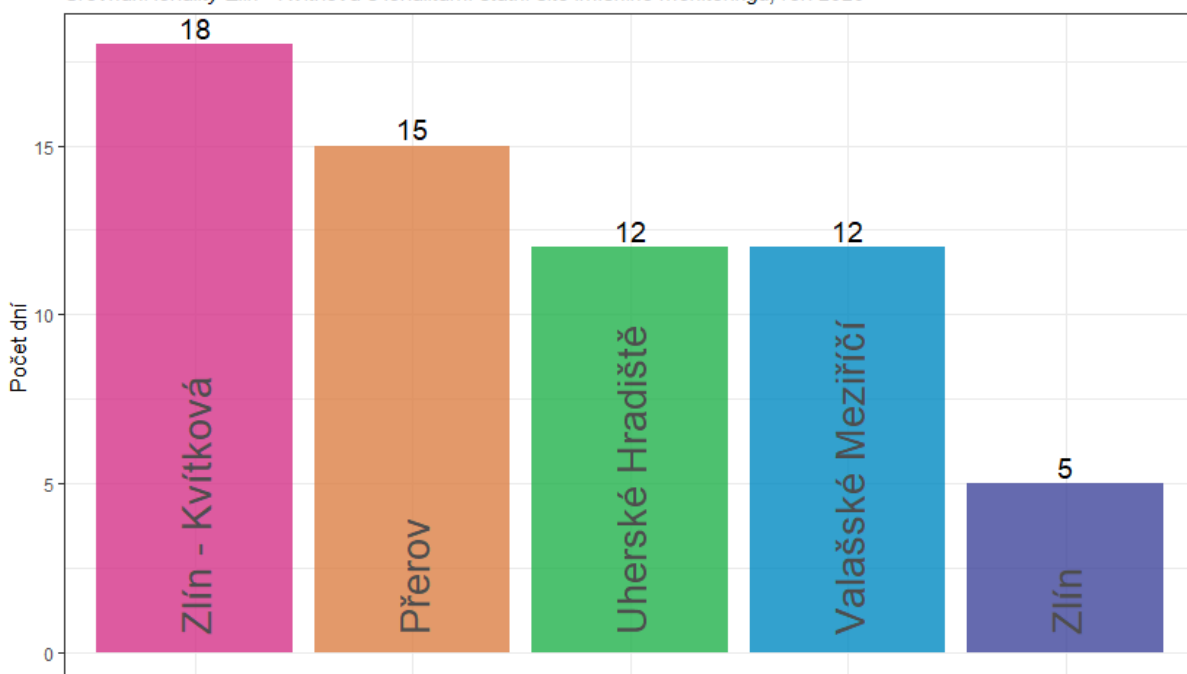
Obr. 28 – Srovnání průměrné roční koncentrace PM<sub>2,5</sub> lokality Zlín – Kvítková s okolními stanicemi státní sítě imisního monitoringu, rok 2020

Graf na následujícím Obr. 29 zobrazuje poslední legislativou sledovanou charakteristiku pro suspendované částice  $PM_{10}$ . Jedná se o imisní limit pro průměrnou denní koncentraci  $PM_{10}$ , jehož hodnota může být z kalendářní rok 35x překročena. V grafu je zobrazen právě počet dní s překročenou hodnotou imisního limitu pro průměrnou denní koncentraci  $PM_{10}$ . V případě překročení limitu je číslo v popisku zobrazeno červeně.

Z grafu je patrné, že k překročení imisního limitu na žádné z vybraných lokalit nedošlo. Lokalita Zlín – Kvítková plnila imisní limit v roce 2020, došlo k 18 překročením. Nejméně překročení zaznamenala opět předměstská lokalita Zlín.

**Počet dní s koncentracemi  $PM_{10}$  vyššími, než je hodnota denního imisního limitu**

*Srovnání lokality Zlín - Kvítková s lokalitami státní sítě imisního monitoringu, rok 2020*

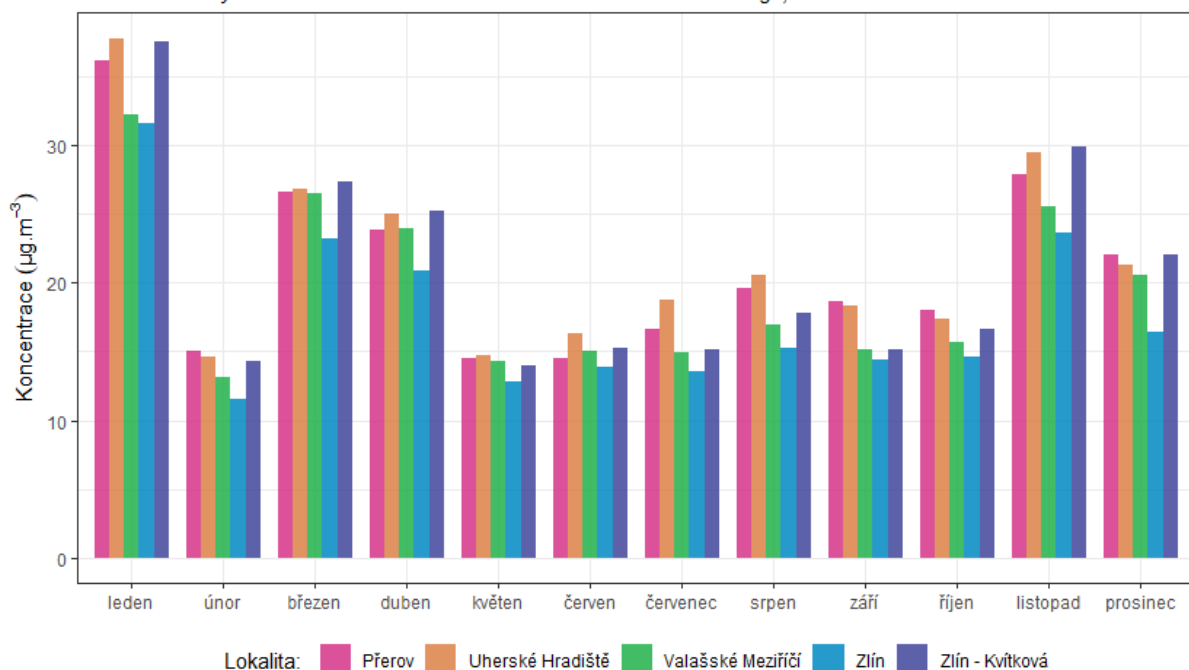


*Obr. 29 – Počet dní s průměrnými denními koncentracemi  $PM_{10}$  vyššími, než je hodnota imisního limitu pro průměrnou denní koncentraci  $PM_{10}$ , vybrané lokality Olomouckého kraje, rok 2020*

Následující grafy zobrazují průměrné měsíční koncentrace  $PM_{10}$  a  $PM_{2,5}$  naměřené ve vybraných lokalitách. Z obou grafů je patrné, že vývoj koncentrací v jednotlivých měsících byl na všech lokalitách podobný. Rovněž je patrné, že obdobně jako v lokalitě Zlín – Kvítková byly i v ostatních lokalitách měsíce s nejvyššími koncentracemi stejné – zejména leden a únor. Je tedy zřejmé, že vliv na zvýšené koncentrace neměly lokální zdroje, ale ovlivnění bylo regionální, resp. nadregionální.

### Průměrné měsíční koncentrace PM<sub>10</sub>

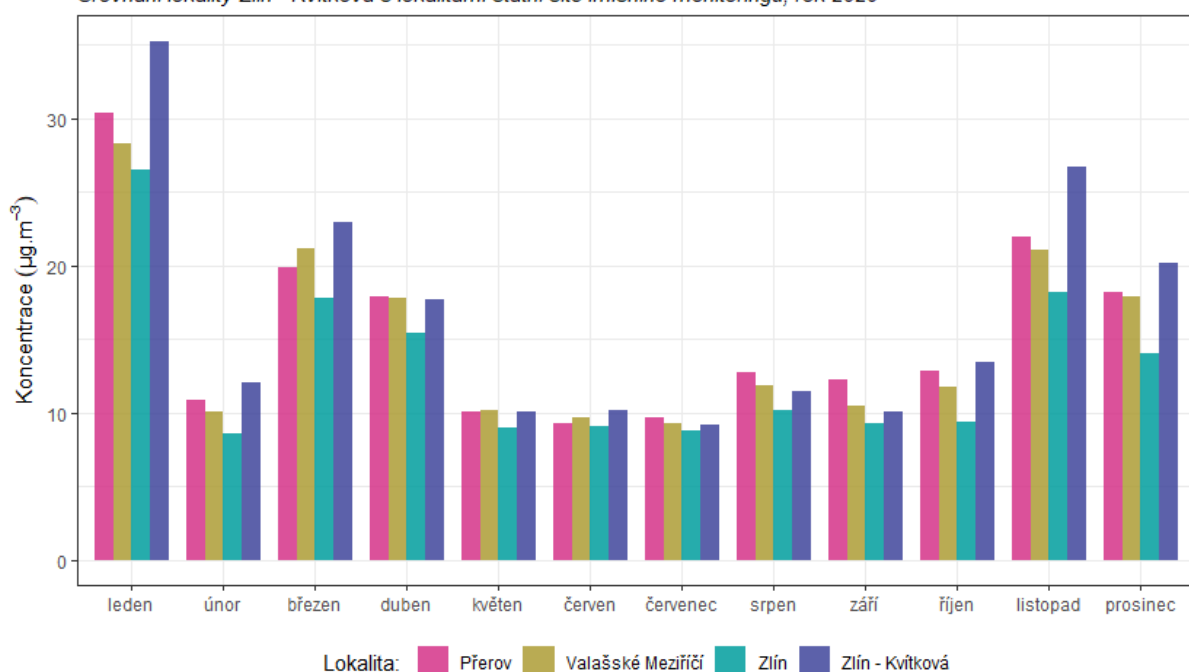
Srovnání lokality Zlín - Kvítková s lokalitami státní sítě imisního monitoringu, rok 2020



Obr. 30 – Srovnání průměrných měsíčních koncentrací PM<sub>10</sub> lokality Zlín – Kvítková s okolními stanicemi státní sítě imisního monitoringu, rok 2020

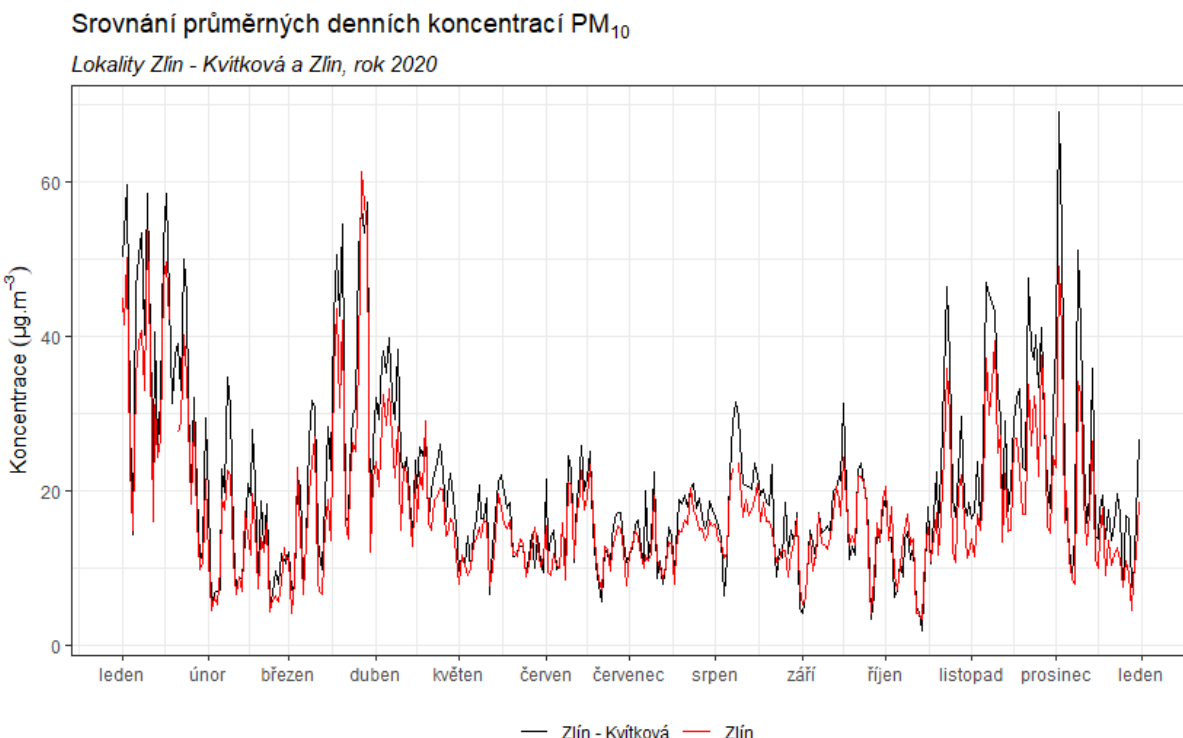
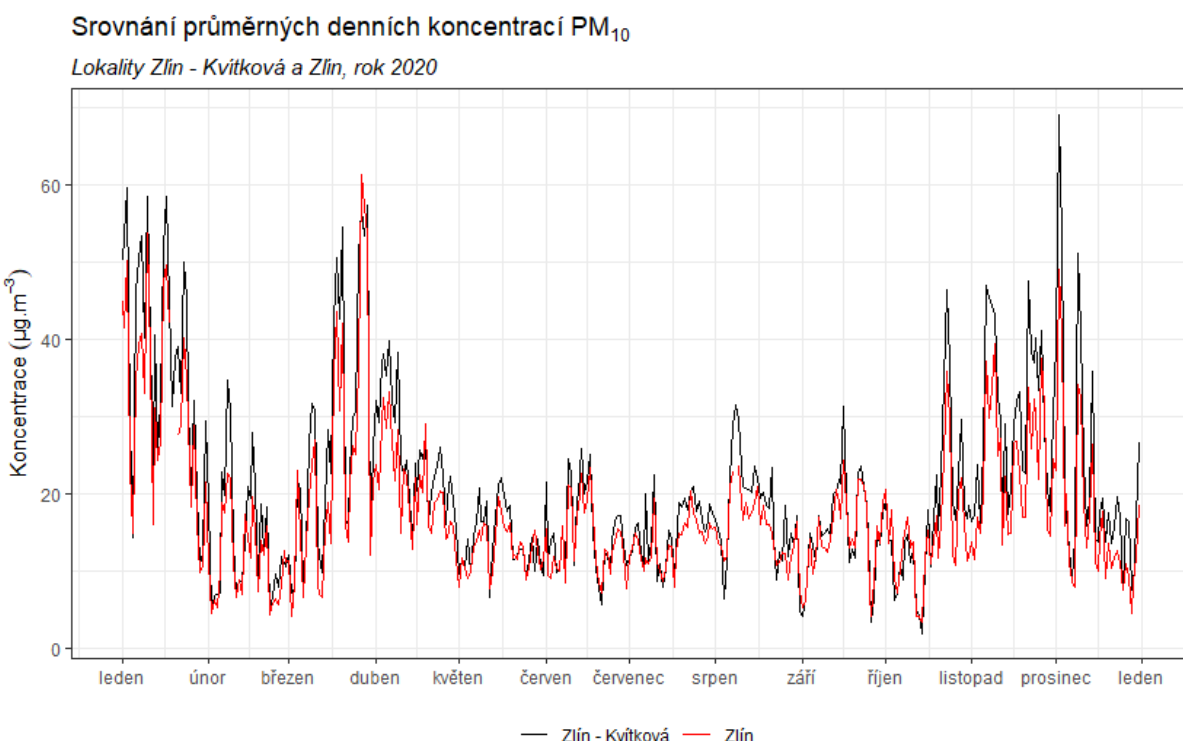
### Průměrné měsíční koncentrace PM<sub>2,5</sub>

Srovnání lokality Zlín - Kvítková s lokalitami státní sítě imisního monitoringu, rok 2020



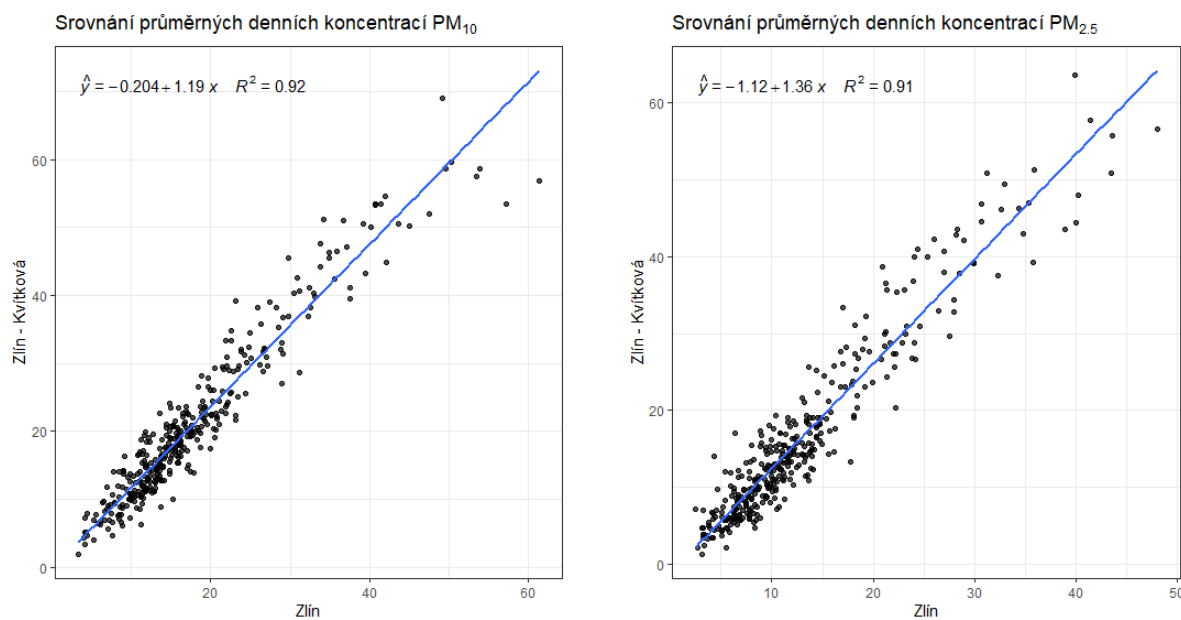
Obr. 31 – Srovnání průměrných měsíčních koncentrací PM<sub>2,5</sub> lokality Zlín – Kvítková s okolními stanicemi státní sítě imisního monitoringu, rok 2020

Následující graf na Obr. 32 srovnání průměrných denních koncentrací PM<sub>10</sub> (nahoře) a PM<sub>2,5</sub> (dole)s lokalitou státní sítě imisního monitoringu Zlín.



Obr. 32 – Srovnání průměrných denních koncentrací PM<sub>10</sub>, lokality Zlín – Kvítková a Zlín, rok 2020

Z grafu je dobře patrné, že vývoj průměrných denních koncentrací je v obou lokalitách velmi podobný. Rozdíl lze pozorovat ve špičkách, kdy se koncentrace v lokalitě Zlín – Kvítková pohybují mírně nad hodnotami koncentrací měřenými v lokalitě Zlín. Mezi stanicemi existuje velmi dobrá korelace jak pro PM<sub>10</sub>, tak pro PM<sub>2,5</sub>, jak ukazují grafy na Obr. 33. Výšší koncentrace v lokalitě Zlín – Kvítková jsou zřejmě způsobeny rozdílnou orografií terénu.



Obr. 33 – Srovnání průměrných denních koncentrací v lokalitě Zlín a Zlín – Kvítková, rok 2020

## 3.2 OXIDY DUSÍKU NO<sub>2</sub>, NO A NO<sub>x</sub>

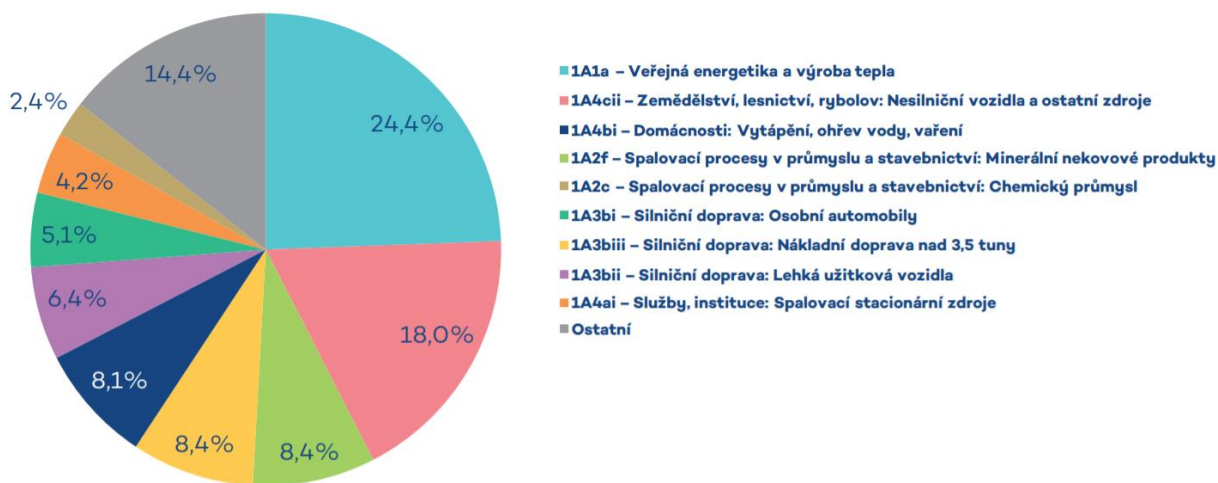
Při sledování a hodnocení kvality venkovního ovzduší se pod termínem oxidy dusíku (NO<sub>x</sub>) rozumí směs oxidu dusnatého (NO) a oxidu dusičitého (NO<sub>2</sub>) [8].

Pro oxid dusičitý jsou v příloze 1 zákona o ochraně ovzduší [1] uvedeny dva imisní limity. Pro průměrnou roční koncentraci a pro hodinovou koncentraci, která může být za kalendářní rok 18 x překročena (Tab. 1).

Z hlediska imisních limit je na území ČR důležitý pouze imisní limit pro průměrnou roční koncentraci NO<sub>2</sub>. Imisní limit pro hodinovou koncentraci není v současnosti na žádné lokalitě v ČR překračován, a to ani na dopravně nejzatíženějších lokalitách, jako je Praha-Legerova.

Více než 90 % z celkových oxidů dusíku ve venkovním ovzduší je emitováno ve formě NO. NO<sub>2</sub> vzniká relativně rychle reakcí NO s přízemním ozonem nebo s radikály typu HO<sub>2</sub>, popř. RO<sub>2</sub> [9]. Řadou chemických reakcí se část NO<sub>x</sub> přemění na HNO<sub>3</sub>/NO<sub>3</sub><sup>-</sup>, které jsou z atmosféry odstraňovány suchou a mokrou atmosférickou depozicí. Pozornost je věnována NO<sub>2</sub> z důvodu jeho negativního vlivu na lidské zdraví. Hraje také klíčovou roli při tvorbě fotochemických oxidantů.

V Evropě vznikají emise NO<sub>x</sub> převážně z antropogenních spalovacích procesů, kde NO vzniká reakcí mezi dusíkem a kyslíkem ve spalovaném vzduchu a částečně i oxidací dusíku z paliva. Hlavní antropogenní zdroje představuje především silniční doprava (významný podíl má ovšem i doprava letecká a vodní) a dále spalovací procesy ve stacionárních zdrojích. Méně než 10 % celkových emisí NO<sub>x</sub> vzniká ze spalování přímo ve formě NO<sub>2</sub>. Přírodní emise NO<sub>x</sub> vznikají převážně z půdy, vulkanickou činností a při vzniku blesků. Jsou poměrně významné z globálního pohledu, z pohledu Evropy však představují méně než 10 % celkových emisí [10].



Obr. 34 – Podíl sektorů NFR na celkových emisích NO<sub>x</sub> v ČR, rok 2018 [5]

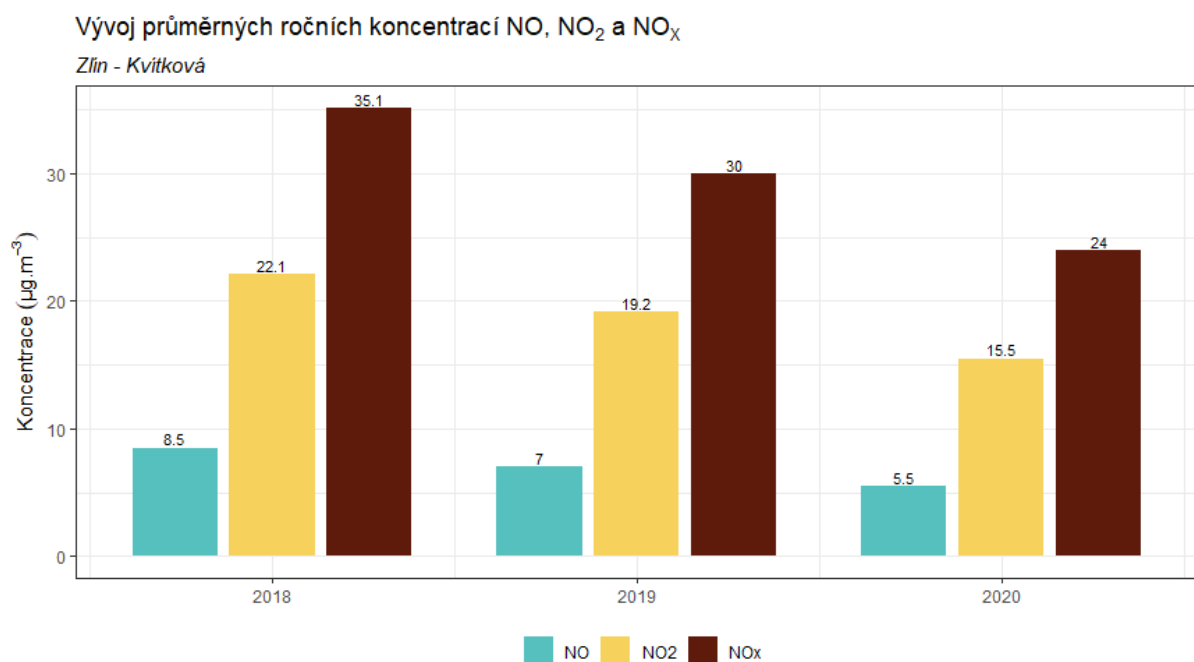
Největší množství emisí NO<sub>x</sub> pochází z dopravy. Sektory 1A3bi – *Silniční doprava: Osobní automobily*, 1A3biii – *Silniční doprava: Nákladní doprava nad 3,5 t*, 1A3bii – *Lehká užitková vozidla* a 1A4cii – *Zemědělství, lesnictví, rybolov: Nesilniční vozidla a ostatní stroje* se na celorepublikových emisích NO<sub>x</sub> v roce 2018 podílely 41,3 %. Ze sektoru 1A1a – *Veřejná energetika a výroba tepla* bylo do ovzduší vneseno 24,4 % emisí NO<sub>x</sub> [5].

### 3.2.1 Průměrné roční koncentrace

Průměrná roční koncentrace NO<sub>2</sub> činila v roce 2020 v lokalitě Zlín – Kvítková 15,5  $\mu\text{g}\cdot\text{m}^{-3}$ . Imisní limit tedy překročen nebyl.

Průměrná roční koncentrace NO činila v roce 2020 v lokalitě Zlín – Kvítková 5,5  $\mu\text{g}\cdot\text{m}^{-3}$ . Průměrná roční koncentrace NO<sub>x</sub> činila v roce 2020 v lokalitě Zlín – Kvítková 24  $\mu\text{g}\cdot\text{m}^{-3}$ .

Následující Obr. 35 zobrazuje vývoj průměrných ročních koncentrací NO, NO<sub>2</sub> a NO<sub>x</sub> v lokalitě Zlín – Kvítková. Z grafu je patrné, že hodnoty všech oxidů dusíku proti roku 2018 i 2019 poklesly.

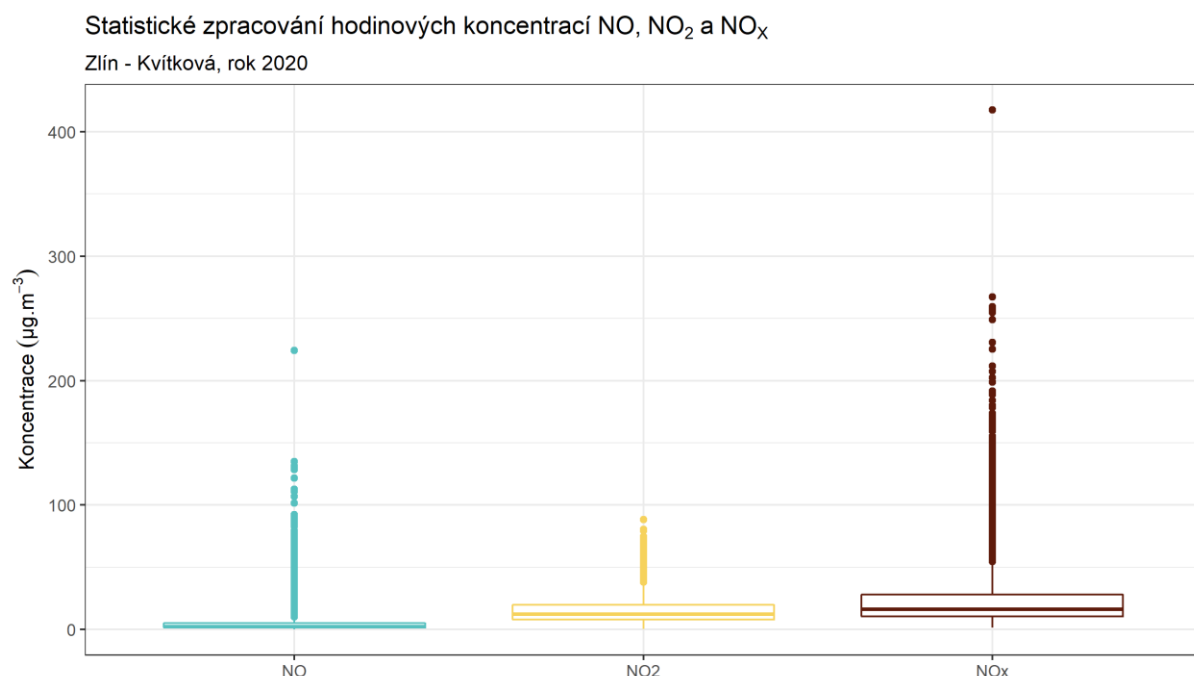


Obr. 35 -Vývoj průměrných ročních koncentrací NO, NO<sub>2</sub> a NO<sub>x</sub>, lokalita Zlín – Kvítková

Následující Tab. 3 pak zobrazuje statistické zpracování naměřených hodinových dat pro jednotlivé oxidy dusíku. Grafické znázornění hodinových koncentrací pomocí krabicových grafů za rok 2020 pak zobrazuje Obr. 36. Z tabulky i grafického znázornění je patrné, že maximální hodnota hodinové koncentrace NO<sub>2</sub> se pohybovala na úrovni  $\frac{1}{2}$  hodnoty imisního limitu pro hodinové koncentrace NO<sub>2</sub> (200  $\mu\text{g}\cdot\text{m}^{-3}$ ). Tato hodnota může být navíc 18x za kalendářní rok překročena. Imisní limit pro hodinové koncentrace NO<sub>2</sub> je tedy v lokalitě Zlín – Kvítková s velmi velkou rezervou plněn.

Tab. 3 – Statistické charakteristiky hodinových koncentrací NO, NO<sub>2</sub> a NO<sub>x</sub> v lokalitě Zlín – Kvítková, rok 2020

STATISTIKA	NO	NO <sub>2</sub>	NO <sub>x</sub>
<b>PRŮMĚR</b>	5,5	15,5	24
<b>MAXIMUM</b>	224,4	88,4	417,6
<b>MEDIÁN</b>	2,2	12,2	16,3
<b>MINIMUM</b>	0,1	0,4	1,3



Obr. 36 – Statistické zpracování hodinových koncentrací NO, NO<sub>2</sub> a NO<sub>x</sub> v lokalitě Zlín – Kvítková, rok 2020

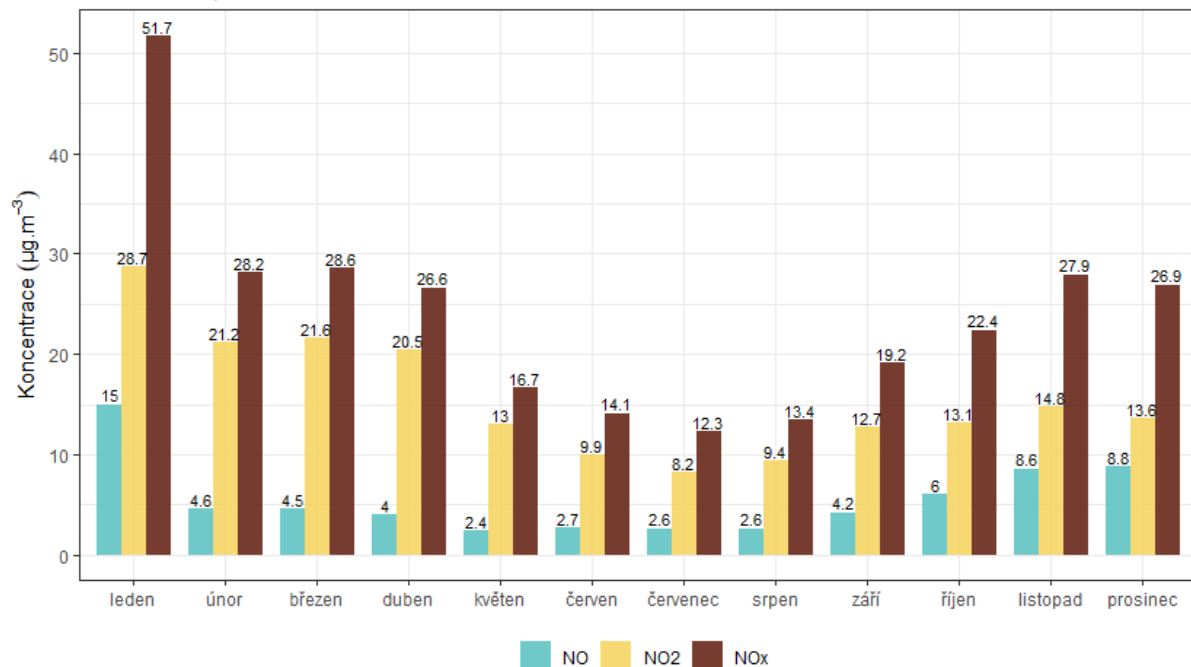
### 3.2.2 Průměrné měsíční koncentrace

Na Obr. 37 jsou průměrné měsíční koncentrace NO, NO<sub>2</sub> a NO<sub>x</sub>. Z obrázku je patrné, že v letních měsících jsou koncentrace nejnižší, naopak v chladné části roku jsou měřeny vyšší koncentrace. Výrazně nejvyšší průměrná měsíční koncentrace NO<sub>2</sub> byla naměřena v lednu.

Poměr měsíčních koncentrací NO / NO<sub>2</sub> zobrazuje Obr. 38. Poměr je celoročně nízký, dokumentující malý vliv dopravy na měřicí lokalitu. Nejvyšší hodnoty tohoto poměru byly naměřeny v lednu, listopadu a prosinci. Svůj vliv na tom mohly mít také meteorologické podmínky.

### Vývoj průměrných měsíčních koncentrací NO, NO<sub>2</sub> a NO<sub>x</sub>

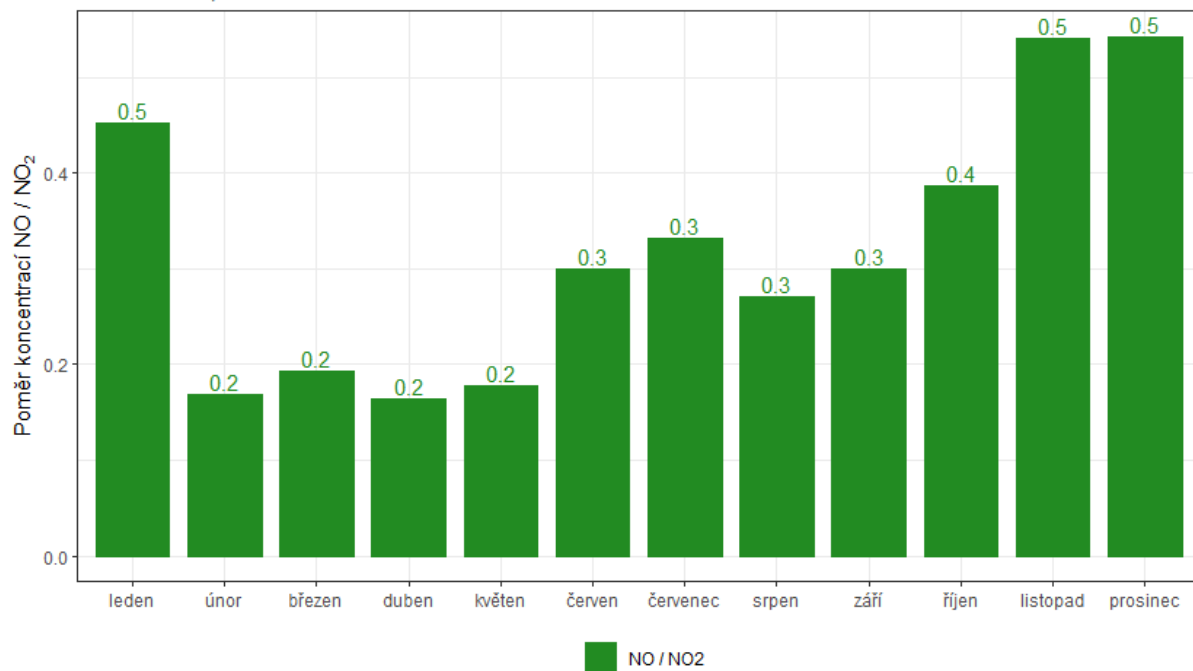
Zlín - Kvítková, rok 2020



Obr. 37 - Průměrné měsíční koncentrace NO, NO<sub>2</sub> a NO<sub>x</sub>, Zlín – Kvítková, rok 2020

### Průměrný měsíční poměr koncentrací NO / NO<sub>2</sub>

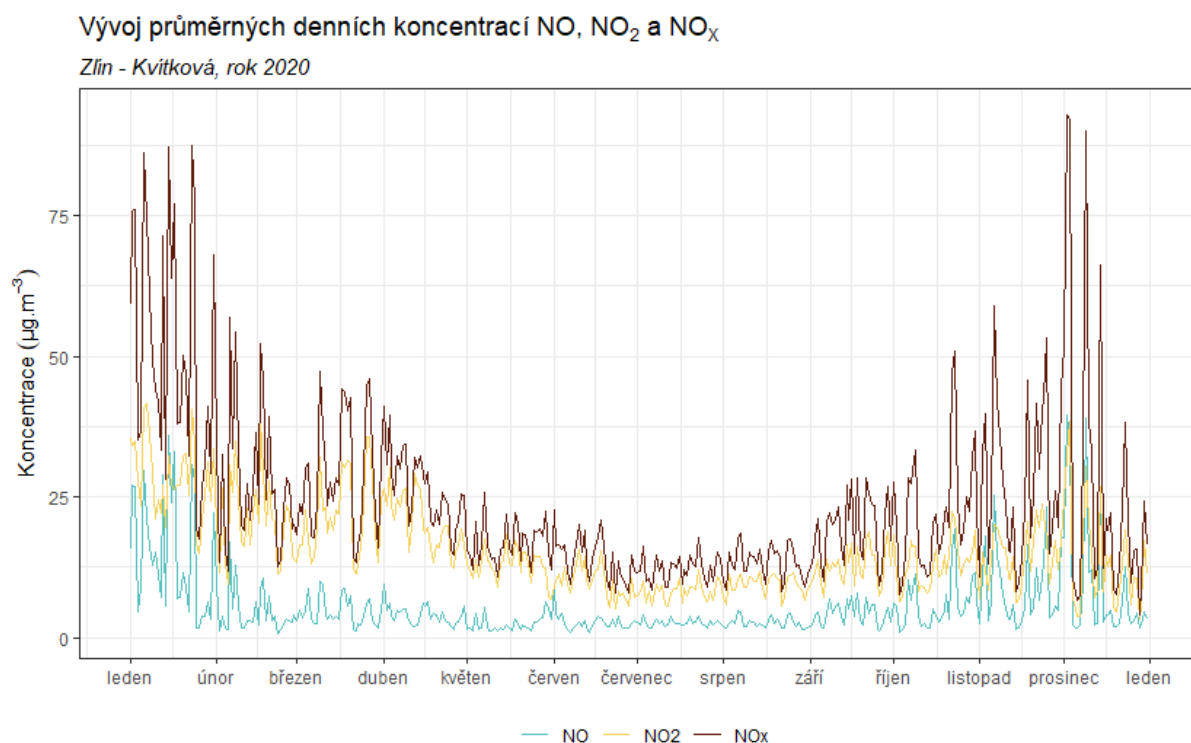
Zlín - Kvítková, rok 2020



Obr. 38 – Poměr měsíčních koncentrací NO / NO<sub>2</sub>, lokalita Zlín – Kvítková, rok 2020

### 3.2.3 Průměrné denní koncentrace NO, NO<sub>2</sub> a NO<sub>x</sub>

Vývoj průměrných denních koncentrací NO, NO<sub>2</sub> a NO<sub>x</sub> v lokalitě Zlín – Kvítková zobrazuje následující Obr. 39.



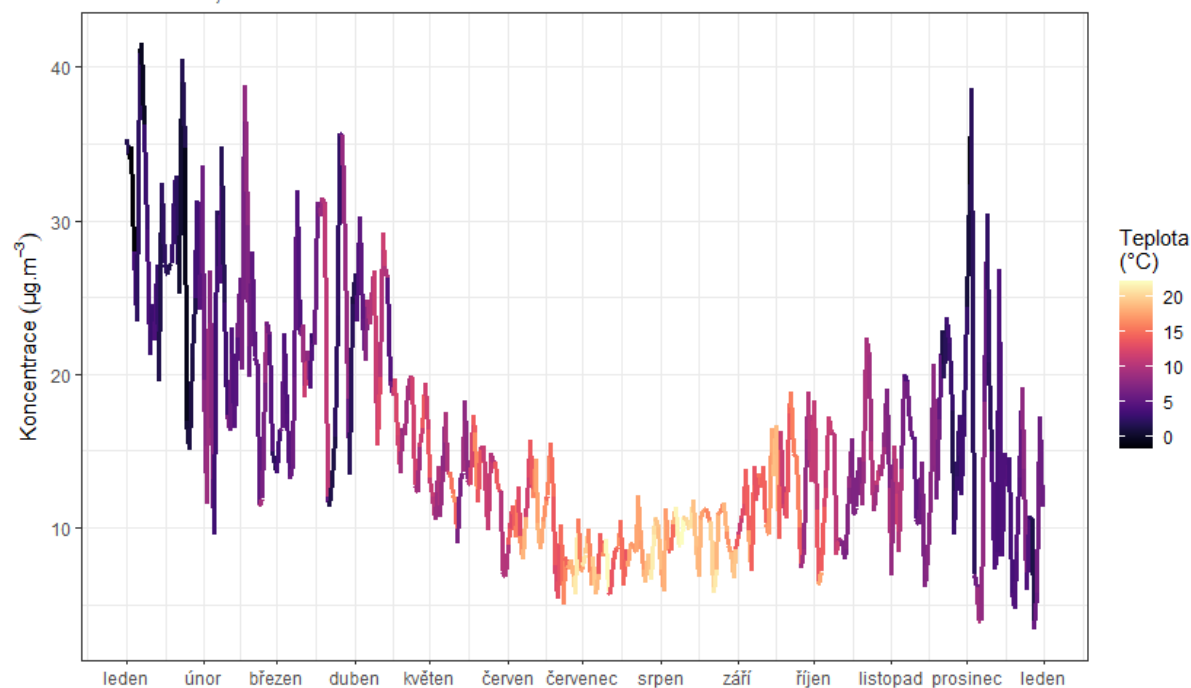
Obr. 39 – Vývoj průměrných hodinových koncentrací NO, NO<sub>2</sub> a NO<sub>x</sub>, Zlín – Kvítková, rok 2020

Z grafu je patrné, že nejnižší hodnoty jsou měřeny v letních měsících a směrem k zimním měsícům hodnoty postupně narůstají.

Vzhledem k tomu, že imisní limit je stanoven pouze pro koncentrace NO<sub>2</sub>, bude vliv meteorologických podmínek zobrazen pouze pro tuto látku. Na Obr. 40 jsou nad sebou zobrazeny dva grafy. Křivka vždy zobrazuje vývoj koncentrací NO<sub>2</sub> v dané lokalitě. Zabarvení křivky na horním grafu vždy zobrazuje aktuální teplotu vzduchu, ve spodním grafu pak rychlosť proudění větru. Z grafů je patrné, že na koncentrace NO<sub>2</sub> má vliv jak teplota, tak rychlosť větru. Nejvyšší koncentrace jsou pak měřeny při velmi nízkých rychlostech větru, resp. při nízkých teplotách.

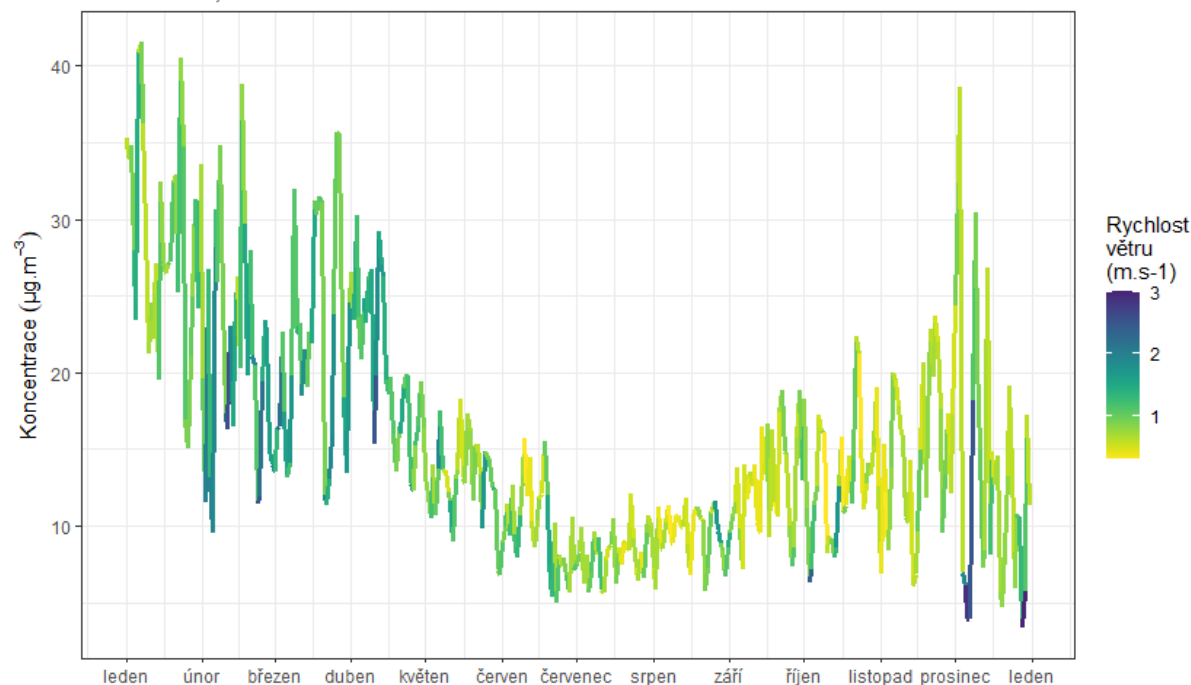
### Vývoj průměrných denních koncentrací NO<sub>2</sub> v závislosti na teplotě vzduchu

Zlín - Kvítková, rok 2020



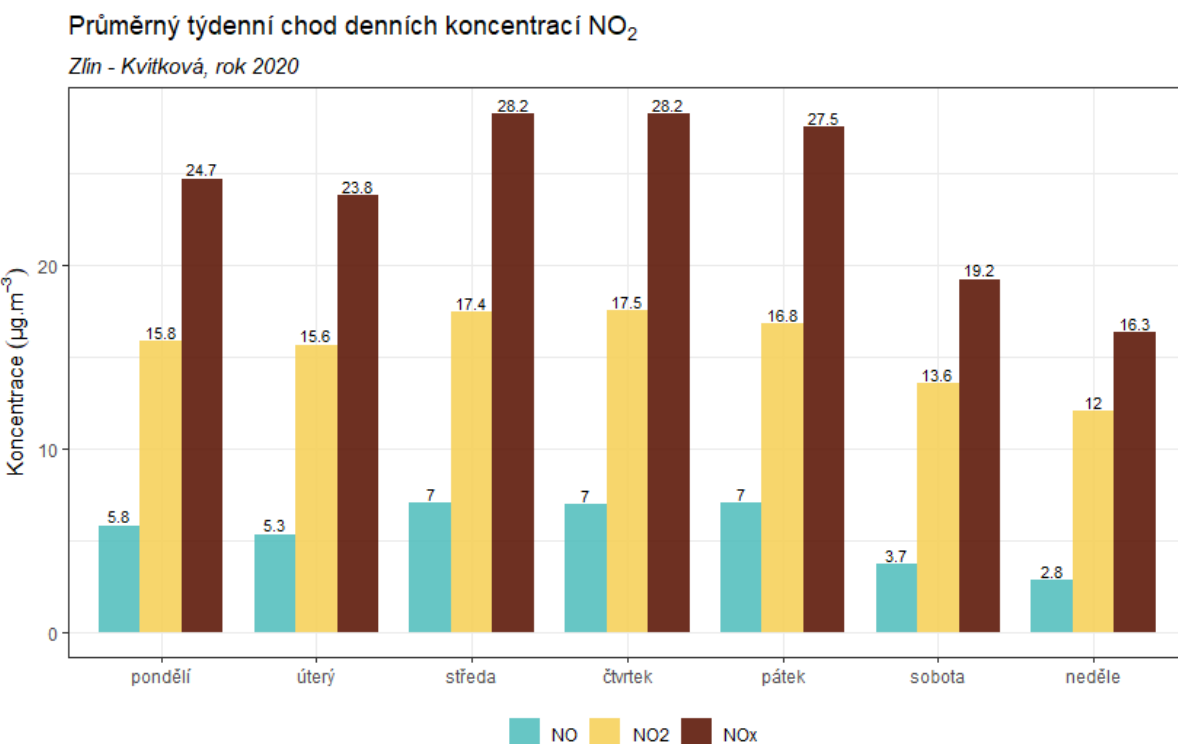
### Vývoj průměrných denních koncentrací NO<sub>2</sub> v závislosti na rychlosti větru

Zlín - Kvítková, rok 2020



Obr. 40 – Vliv teploty (nahoře) a rychlosti větru (dole) na koncentrace NO<sub>2</sub>, Zlín – Kvítková, rok 2020

Z hlediska týdenního chodu denních koncentrací NO, NO<sub>2</sub> a NO<sub>x</sub> (Obr. 41) je velmi dobře patrný vliv vyššího dopravního zatížení v pracovní dny, který se projeví také ve vyšších koncentracích NO<sub>2</sub> v pracovní dny. Nejnižší hodnoty jsou měřeny v neděli.



Obr. 41 – Průměrný týdenní chod denních koncentrací NO<sub>2</sub>, Zlín – Kvítková, rok 2020

### 3.2.4 Analýza hodinových koncentrací – denní chod a koncentrační růžice

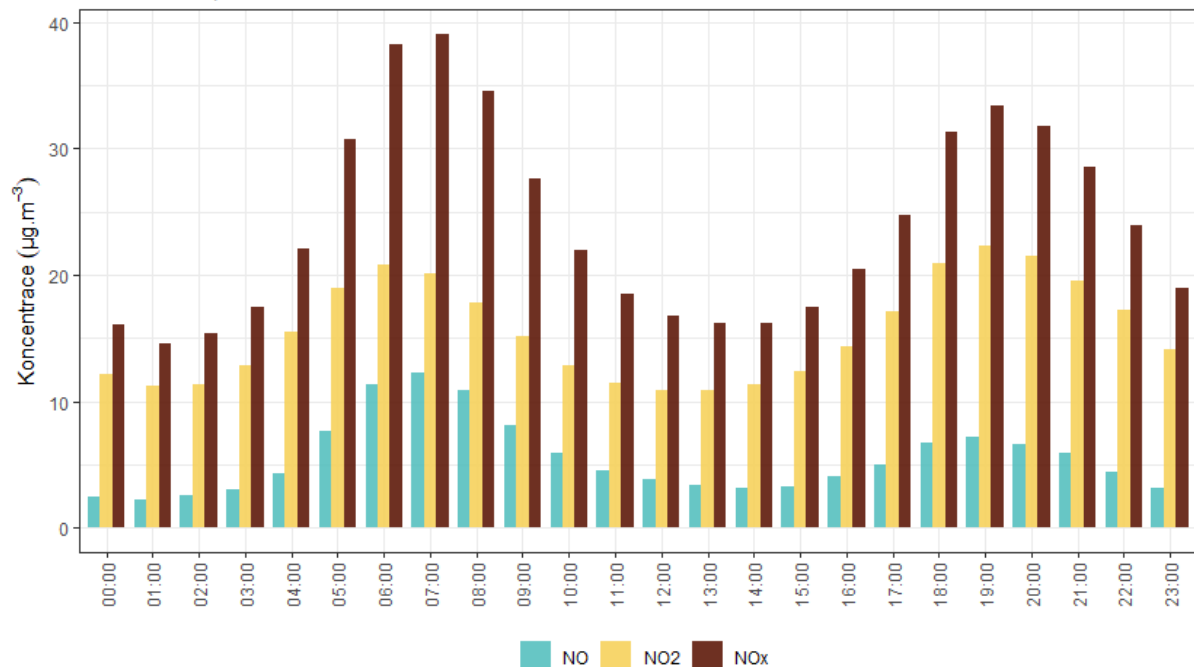
Zprůměrováním všech naměřených koncentrací v jednotlivé hodiny lze získat průměrný denní chod koncentrací NO, NO<sub>2</sub> a NO<sub>x</sub> v lokalitě Zlín – Kvítková. Denní chod zobrazuje následující Obr. 42.

Z grafů je patrné, že nejvyšší hodnoty koncentrací NO<sub>2</sub> dosahovány v době ranní a odpolední dopravní špičky. Večerní hodnoty mohou být také navýšeny o vliv lokálních topení a vytápění. Přesto jsou koncentrace NO<sub>2</sub> nízké, typické pro pozadové lokality. Přes den dochází k mírnému poklesu koncentrací, což může být částečně způsobeno spotřebováním NO<sub>2</sub> na tvorbu přízemního ozónu. Tato reakce probíhá pouze díky slunečního záření, proto lze největší úbytek koncentrací NO<sub>2</sub> očekávat okolo poledne.

Z grafu je rovněž patrné, že v době ranní špičky se koncentrace NO přibližují hodnotám NO<sub>2</sub>, což indikuje významnější vliv dopravy. Odpoledne a zejména večer jsou naopak koncentrace NO<sub>2</sub> významně vyšší než NO, pravděpodobně se tak projevil vliv lokálních topení.

### Průměrný denní chod hodinových koncentrací NO<sub>2</sub>

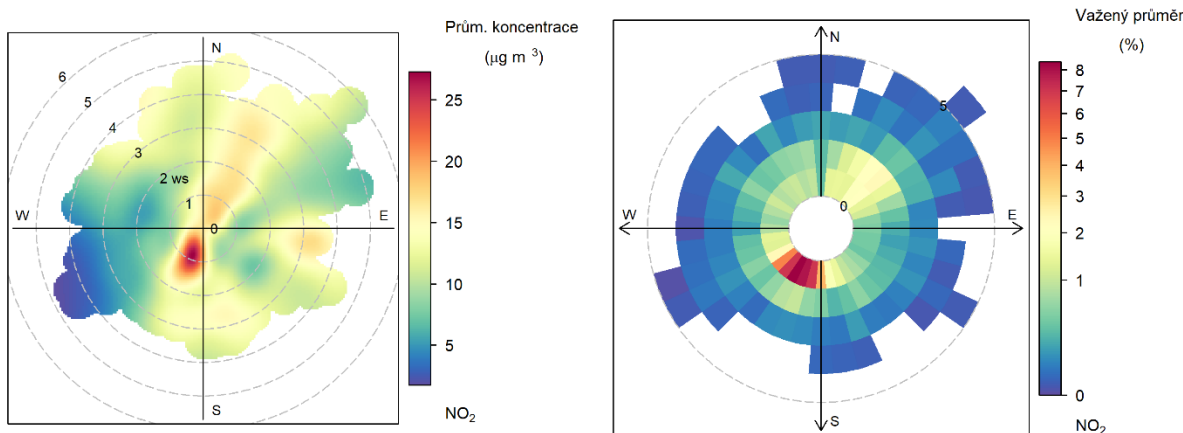
Zlín - Kvítková, rok 2020



Obr. 42 – Denní chod hodinových koncentrací NO<sub>2</sub>, Zlín – Kvítková, rok 2020

Vysvětlení podstaty koncentračních růžic je uvedeno v kapitole 3.1.4.

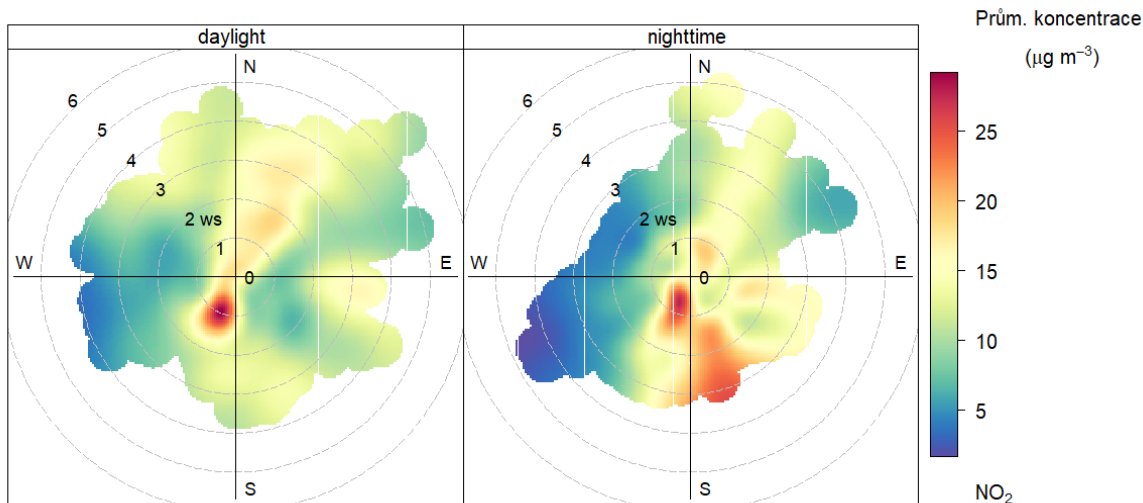
Následující Obr. 43 zobrazuje dva typy koncentrační a váženou koncentrační růžici pro lokalitu Zlín – Kvítková.



Obr. 43 – Koncentrační růžice (vlevo) a vážená koncentrační růžice (vpravo) pro NO<sub>2</sub>, Zlín – Kvítková, rok 2020

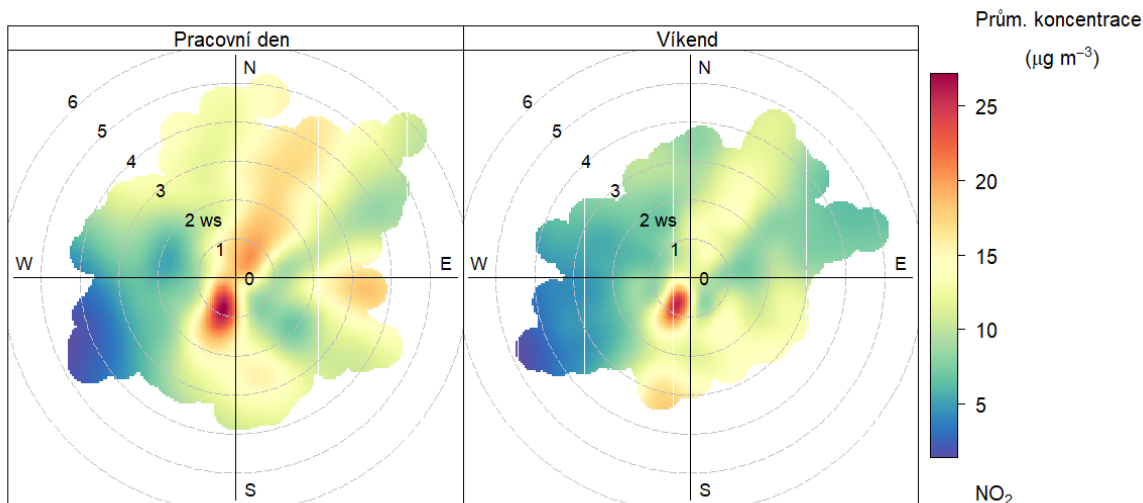
Z Obr. 43 vyplývá, že v průměru jsou nejvyšší koncentrace měřeny při bezvětrí a při jižním až jihozápadním proudění a velmi nízkých rychlostech větru. Nízké rychlosti větru a jihozápadní proudění

(nejčastější směr proudění dle větrné růžice) pak nejvíce přispívaly k měřeným koncentracím NO<sub>2</sub>. Následující Obr. 44 zobrazuje koncentrační růžici ve dne a v noci. V obou případech jsou nejvyšší koncentrace měřeny při bezvětrí, popř. proudění z jihozápadu až jihu. V nočních hodinách jsou měřeny mírně vyšší hodnoty i při vyšších rychlostech větru z jižních směrů.



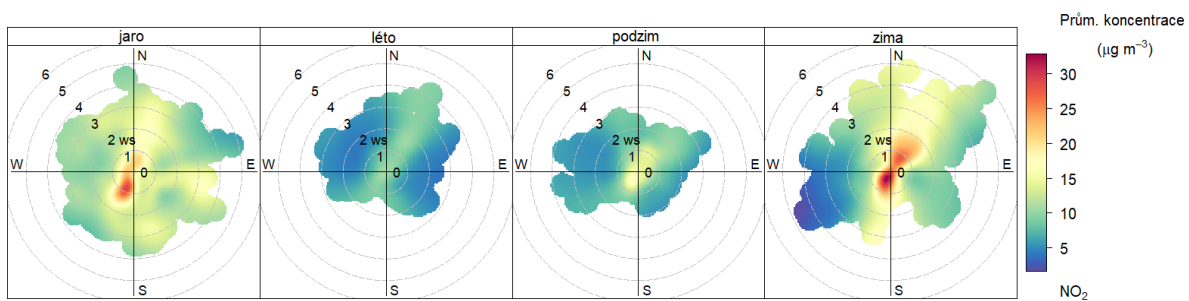
Obr. 44 - Koncentrační růžice ve dne (daytime) a v noci (nighttime), Zlín – Kvítková, rok 2020

Obdobně lze koncentrační růžici rozlišit na pracovní dny a víkend (Obr. 45). Z obrázku je patrné, že vyšší koncentrace jsou měřeny v pracovní dny, což může být důsledek většího provozu ve městě.



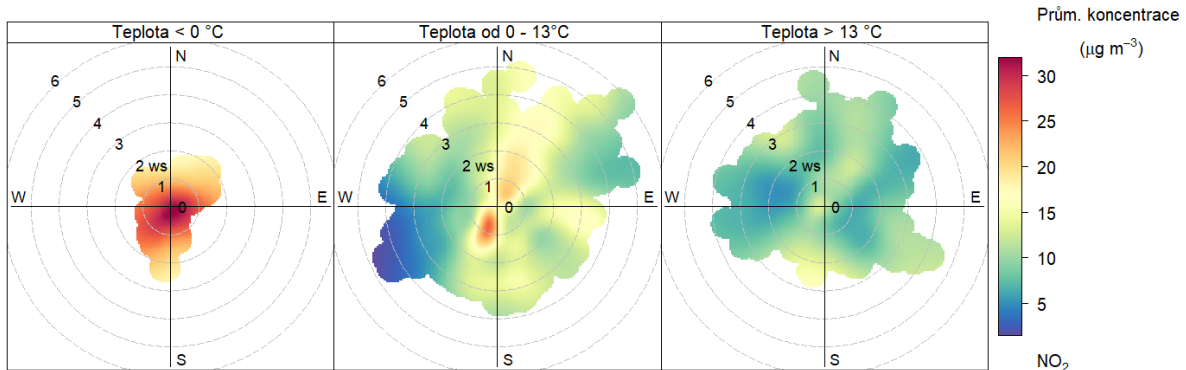
Obr. 45 – Koncentrační růžice NO<sub>2</sub> v pracovní dny a o víkendu, lokalita Zlín – Kvítková, rok 2020

Následující Obr. 46 zobrazuje koncentrační růžice v jednotlivých ročních obdobích. Vysoké koncentrace se vyskytují zejména v zimě a na jaře. V létě jsou koncentrace jen velmi nízké.



Obr. 46 – Koncentrační růžice jednotlivých ročních období, Zlín – Kvítková, rok 2020

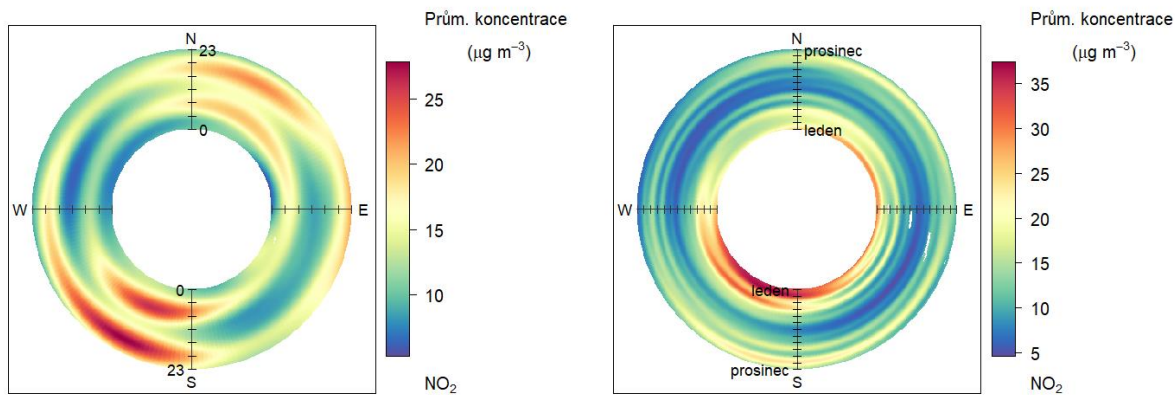
Zajímavé je také rozdělit koncentrační růžice na základě teplot vzduchu. Z Obr. 47 je pak patrné, že nejvyšší koncentrace jsou takřka výhradně měřeny při teplotách vzduchu nižších než  $0\text{ }^{\circ}\text{C}$ . Při vyšších teplotách jsou již pouze mírně zvýšené, především při bezvětří.



Obr. 47 – Koncentrační růžice členěná dle teplot, Zlín – Kvítková, rok 2020

Cenné informace poskytuje rovněž průměrný denní a roční chod, členěný dle směru větru. V případě denního chodu je uprostřed první hodina po půlnoci a na okraji pak 23. hodina. V případě ročního chodu je pak uprostřed 1. 1. a na okraji 31. 12. Směry větru jsou totožné jako v případě růžic.

Z Obr. 48 pak vyplývá, že v případě lokality Zlín – Kvítková v roce 2020 byly nejvyšší koncentrace  $\text{NO}_2$  měřeny zejména ve večerních hodinách a dále během ranní dopravní špičky, vždy při proudění z jihozápadu. V případě ročního chodu jsou významné zejména zimní měsíce. Z hlediska maximu převládají jihozápadní až západní směry.



Obr. 48 – Průměrný denní chod (vlevo) a roční chod (vpravo) koncentrací dle směru větru, Zlín – Kvítková, rok 2020

### 3.2.5 Srovnání s lokalitami státní sítě imisního monitoringu

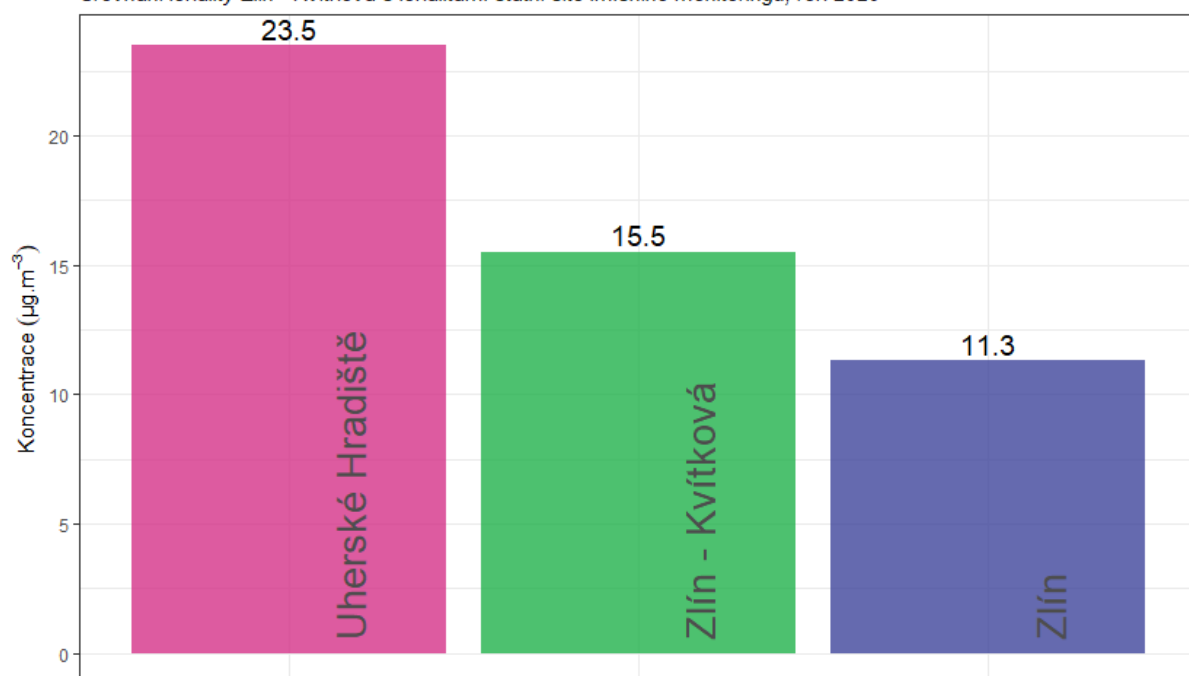
V této podkapitole budou koncentrace, naměřené v lokalitě Zlín – Kvítková, srovnány s hodnotami naměřenými ve státní síti imisního monitoringu Českého hydrometeorologického ústavu (ČHMÚ).

Na následujícím Obr. 49 jsou zobrazeny průměrné roční koncentrace legislativou sledovaného oxidu dusičitého  $\text{NO}_2$  na blízkých lokalitách sítě imisního monitoringu v roce 2020. Ty jsou srovnány s lokalitou Zlín – Kvítková. Z grafu vyplývá, že v lokalitě Zlín – Kvítková jsou měřeny koncentrace typické pro městské pozadí. Koncentrace jsou nižší, než v dopravní lokalitě Uherské Hradiště a mírně vyšší než v předměstské pozadové lokalitě Zlín. Žádná z uvedených lokalit nepřekročila imisní limit pro průměrnou roční koncentraci  $\text{NO}_2$ .

Následující graf na Obr. 50 zobrazuje průměrné měsíční koncentrace  $\text{NO}_2$  naměřené ve vybraných lokalitách. Z grafu je patrné, že jsou vyšší v chladné části roku. O absolutní hodnotě pak rozhoduje míra zatížení dopravou.

### Průměrné roční koncentrace NO<sub>2</sub>

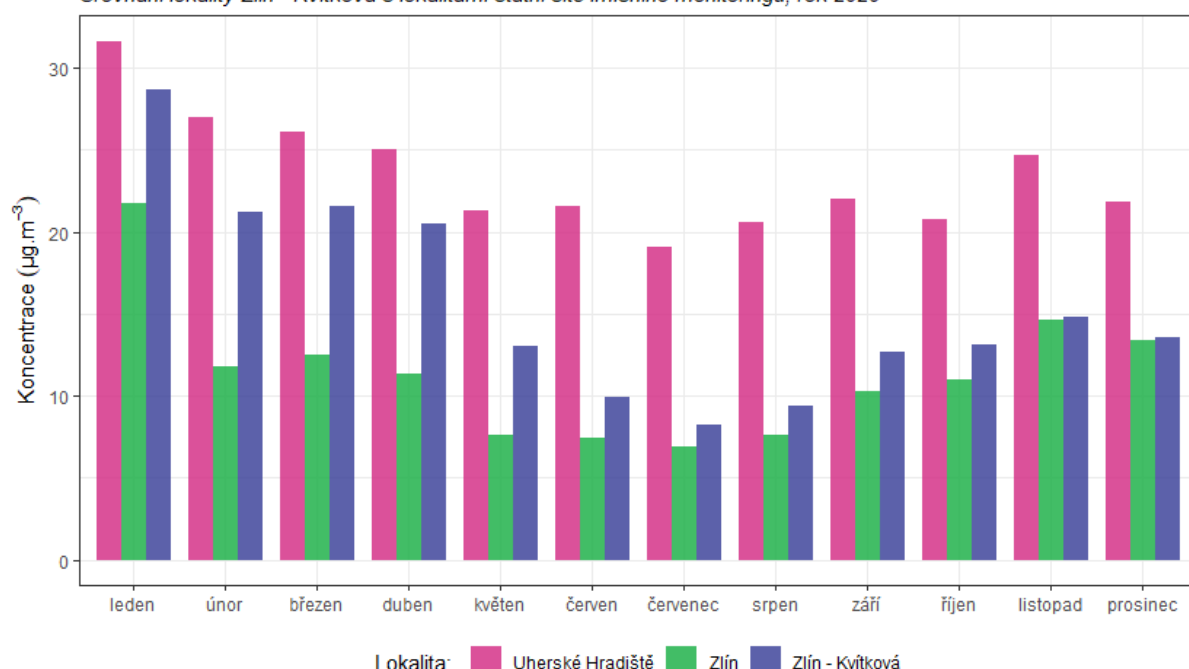
Srovnání lokality Zlín - Kvítková s lokalitami státní sítě imisního monitoringu, rok 2020



Obr. 49 – Srovnání průměrné roční koncentrace NO<sub>2</sub> lokality Zlín – Kvítková s okolními stanicemi státní sítě imisního monitoringu, rok 2020

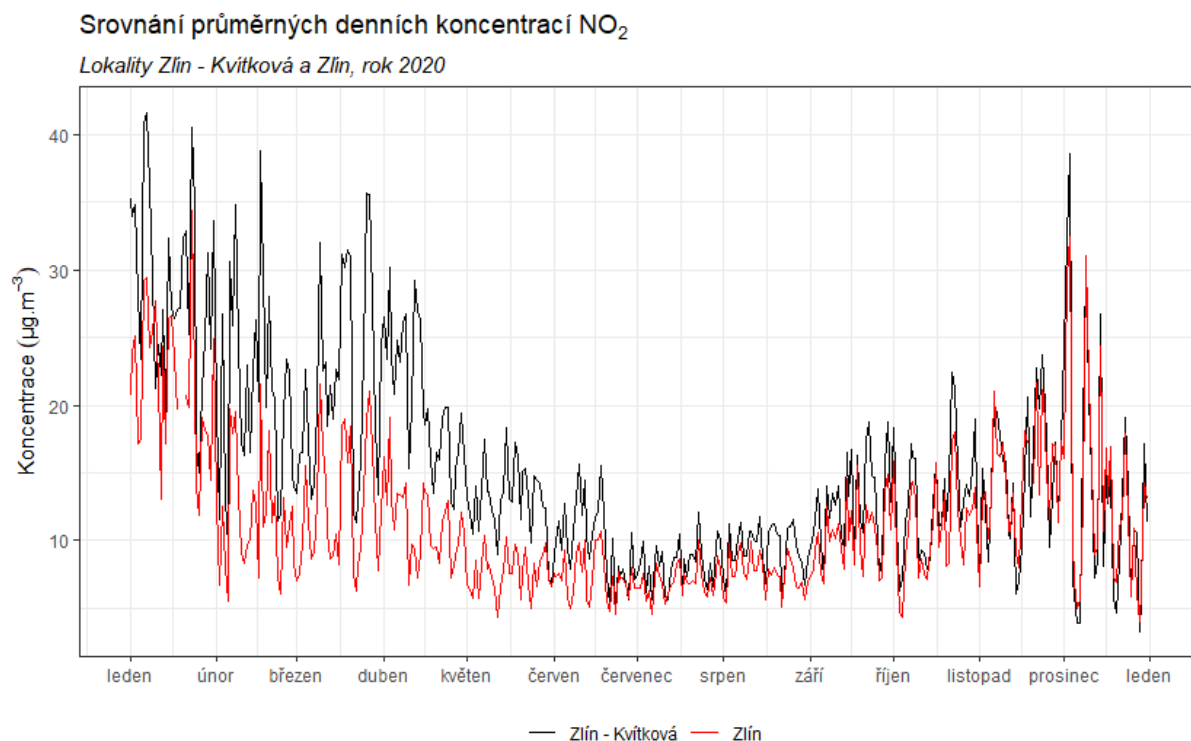
### Průměrné měsíční koncentrace NO<sub>2</sub>

Srovnání lokality Zlín - Kvítková s lokalitami státní sítě imisního monitoringu, rok 2020



Obr. 50 – Srovnání průměrných měsíčních koncentrací NO<sub>2</sub> lokality Zlín – Kvítková s okolními stanicemi státní sítě imisního monitoringu, rok 2020

Následující graf na Obr. 51 srovnání průměrných denních koncentrací NO<sub>2</sub> s nejbližší lokalitou státní sítě imisního monitoringu Zlín.



Obr. 51 – Srovnání průměrných denních koncentrací NO<sub>2</sub>, lokality Zlín – Kvítková a Zlín, rok 2020

Z grafu je patrné, že koncentrace v lokalitě Zlín – Kvítková jsou vyšší než v lokalitě Zlín. Největší rozdíly byly zaznamenány mezi březnem a červencem. Rozdíl je pravděpodobně způsoben různým ovlivněním dopravou, vliv mají také meteorologické podmínky a provětrávatelnost lokality ve spojení s orografií.

### 3.3 PŘÍZEMNÍ OZÓN

$O_3$  nemá vlastní významný zdroj. Jedná se o tzv. sekundární látku vznikající v celé řadě velmi komplikovaných nelineárních fotochemických reakcí [11]. Prekurzory  $O_3$  jsou oxidy dusíku ( $NO_x$ ) a nemetanické těkavé organické látky (NMVOC), v globálním měřítku hrají roli i metan ( $CH_4$ ) a oxid uhelnatý (CO). Důležitou reakcí je fotolýza  $NO_2$  zářením o vlnové délce 280–430 nm, při které vzniká NO a atomární kyslík. Reakcí atomárního a molekulárního kyslíku pak za přítomnosti katalyzátoru dochází ke vzniku molekuly  $O_3$ . Současně probíhá titrace  $O_3$  oxidem dusnatým za vzniku  $NO_2$  a  $O_2$ . Pokud je při této reakci  $O_3$  nahrazen radikály, jeho koncentrace v atmosféře rostou. Důležitou úlohu při těchto reakcích hraje zejména radikál OH.

$NO_x$  vznikají při veškerých spalovacích procesech. NMVOC jsou emitovány z celé řady zdrojů antropogenních (doprava, manipulace s ropou a jejími deriváty, rafinerie, použití barev a rozpouštědel atd.), ale i přirozených (např. biogenní emise z vegetace).

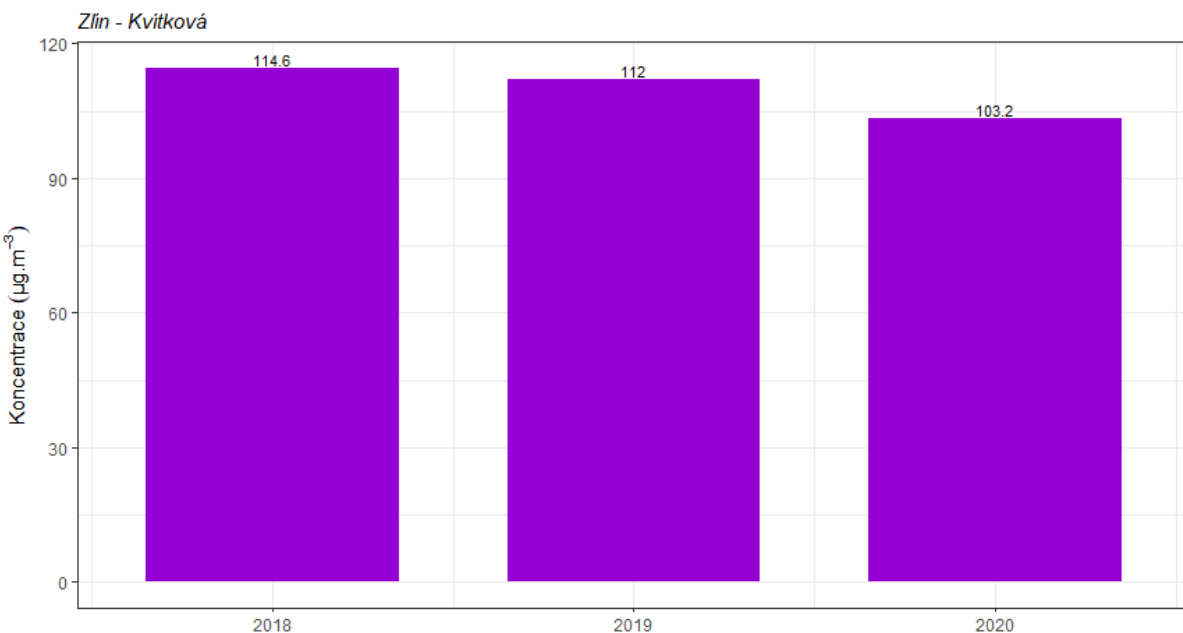
Při vzniku  $O_3$  z prekurzorů nezáleží pouze na absolutním množství prekurzorů, ale i na jejich vzájemném poměru [12]. V oblastech, kde je režim limitovaný  $NO_x$ , charakterizovaný relativně nízkými koncentracemi  $NO_x$  a vysokými koncentracemi VOC, narůstají koncentrace  $O_3$  s rostoucími koncentracemi  $NO_x$ , zatímco se vzrůstajícími koncentracemi VOC se mění jen málo. Naopak v oblastech s režimem limitovaným VOC dochází k poklesu koncentrací  $O_3$  s rostoucími koncentracemi  $NO_x$  a nárůstu koncentrací  $O_3$  s rostoucími koncentracemi VOC. Oblasti s vysokým poměrem  $NO_x/VOC$  jsou typicky znečištěné oblasti okolo center velkých měst. Závislost vzniku  $O_3$  na počátečních koncentracích VOC a  $NO_x$  se často vyjadřuje na diagramech ozonových isoplet. Jedná se o zobrazení maximální dosažené koncentrace ozonu jako funkce počáteční koncentrace  $NO_x$  a VOC. Významnou roli při vzniku  $O_3$  hrají nejen koncentrace prekurzorů, ale i meteorologické podmínky [13]. Imisní koncentrace  $O_3$  rostou s rostoucím ultrafialovým zářením a teplotou, naopak klesají s rostoucí relativní vlhkostí vzduchu. Vysoké koncentrace bývají spojeny s déletrvající anticyklonální situací. Kromě výše popsaného fotochemického mechanismu se koncentrace  $O_3$  mohou zvyšovat i epizodicky v důsledku průniku stratosférického  $O_3$  do troposféry a též při bouřkách. V poslední době se též zvyšuje význam dálkového přenosu  $O_3$  v rámci proudění na severní polokouli do Evropy a Severní Ameriky ze zdrojových oblastí jihovýchodní Asie.  $O_3$  je z atmosféry odstraňován reakcí s NO a suchou depozicí.

#### 3.3.1 Vývoj 26. nejvyšších 8hodinových klouzavých průměrů za den v roce

Z hlediska ochrany kvality ovzduší stanovuje příloha 1, bod 4 zákona o ochraně ovzduší [14] imisní limit pro troposférický ozón. Pro ochranu zdraví lidí platí imisní limit pro maximální denní 8hodinový klouzavý průměr  $O_3$ . Hodnota imisního limitu je  $120 \mu\text{g}\cdot\text{m}^{-3}$ , tato hodnota může být 25x za kalendářní rok překročena. **Plnění imisního limitu se vyhodnocuje na základě průměru za 3 kalendářní roky.**

Jelikož se lokalitě Zlín – Kvítková měří pouze tři roky, uvádí následující Obr. 52 hodnoty 26. nejvyšších 8hodinových klouzavých průměrů koncentrací  $O_3$  za den v lokalitě Zlín – Kvítková pro každý rok. **Průměrná hodnota za tři roky pak činí  $110 \mu\text{g}\cdot\text{m}^{-3}$ , imisní limit tedy překročen nebyl.** Z uvedeného grafu je patrné, že koncentrace proti roku 2018 i 2019 mírně klesly, k překročení imisního limitu nedošlo ani v jednom z roků.

### Vývoj 26. nejvyšších 8h klouzavých průměrů O<sub>3</sub>



Obr. 52 – Vývoj 26. nejvyššího 8hodinového klouzavého průměru O<sub>3</sub> za den, lokalita Zlín – Kvítková

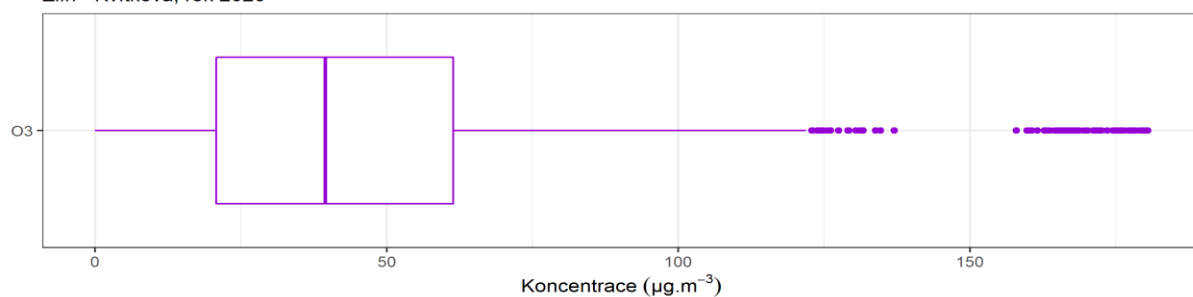
Následující Tab. 4 pak zobrazuje statistické zpracování naměřených hodinových dat pro přízemní ozón. Grafické znázornění hodinových koncentrací pomocí krabicových grafů za rok 2020 pak zobrazuje Obr. 53. Maximální naměřená hodinová koncentrace O<sub>3</sub> měla hodnotu 180,5 µg·m<sup>-3</sup>.

Tab. 4 – Statistické charakteristiky hodinových koncentrací O<sub>3</sub> v lokalitě Zlín – Kvítková, rok 2020

STATISTIKA	O3
PRŮMĚR	43,7
MAXIMUM	180,5
MEDIÁN	39,5
MINIMUM	0

### Statistické zpracování hodinových koncentrací O<sub>3</sub>

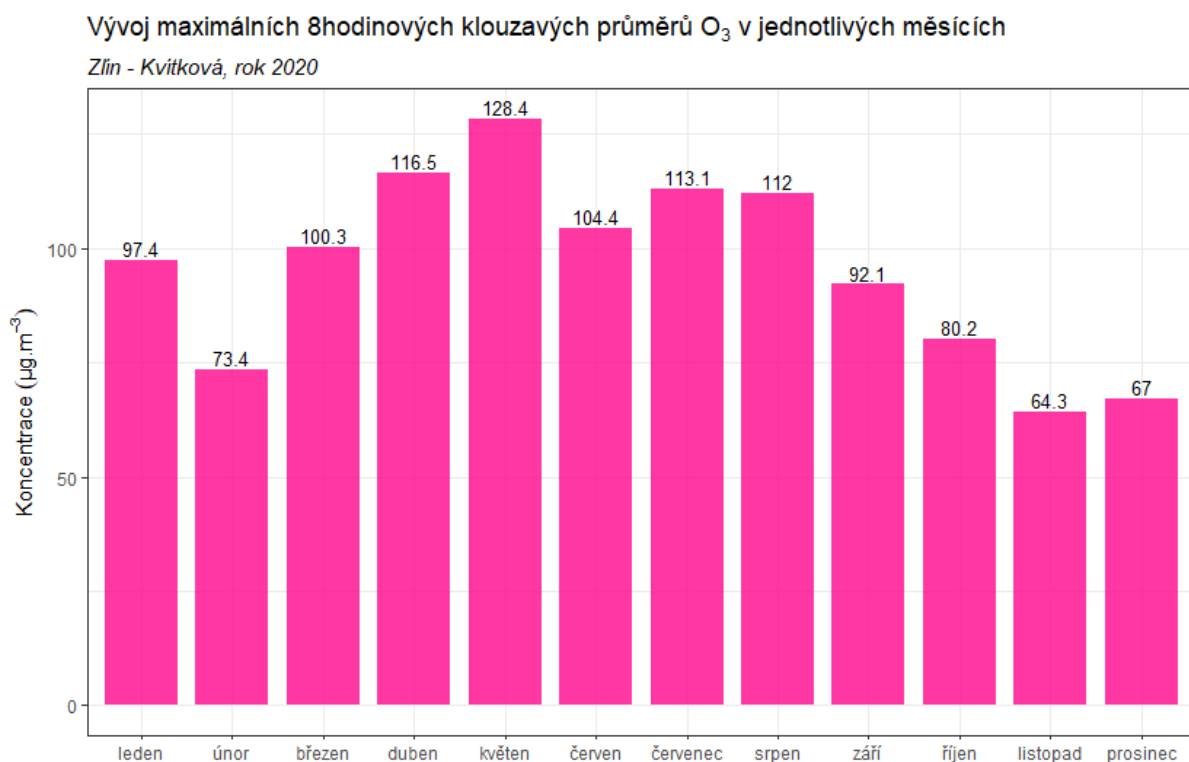
Zlín - Kvítková, rok 2020



Obr. 53 – Statistické zpracování hodinových koncentrací O<sub>3</sub> v lokalitě Zlín – Kvítková, rok 2020

### 3.3.2 Průměrné měsíční koncentrace

Na Obr. 56 jsou zobrazeny maximální 8h klouzavé průměry  $O_3$  za den v jednotlivých měsících. Z obrázku je patrné, že v nejvyšší jsou hodnoty v teplé části roku, kdy je dostatek slunečního svitu pro fotochemické reakce vedoucí ke vzniku přízemního ozónu. Naopak v chladné části roku jsou měřeny koncentrace nižší. Nejvyšší průměrná měsíční koncentrace  $O_3$  byla naměřena v květnu a dále pak v dubnu a červenci.



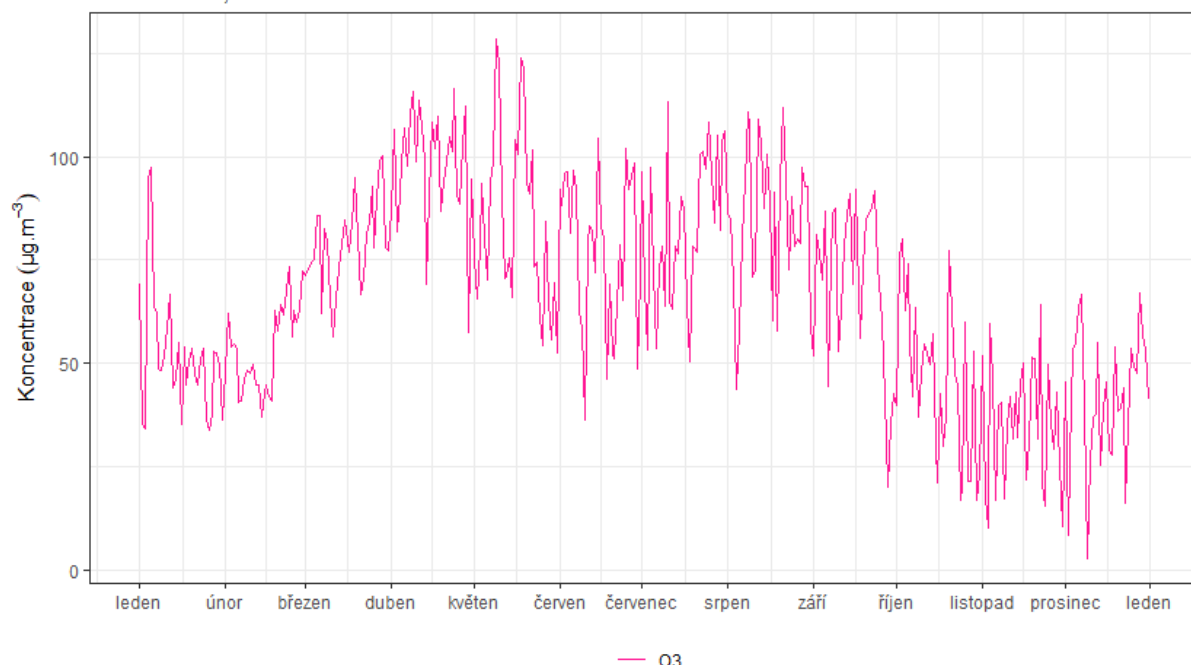
Obr. 54 – Maximální 8h klouzavé průměry  $O_3$  za den v jednotlivých měsících, Zlín – Kvítková, rok 2020

### 3.3.3 Vývoj průměrných denních koncentrací $O_3$

Vývoj maximálních 8h klouzavých průměrů  $O_3$  za den v lokalitě Zlín – Kvítková zobrazuje následující Obr. 55.

### Vývoj maximálních 8h klouzavých průměrů koncentrací O<sub>3</sub> za den

Zlín - Kvítková, rok 2020



Obr. 55 – Vývoj maximálních 8h klouzavých průměrů O<sub>3</sub> za den, Zlín – Kvítková, rok 2020

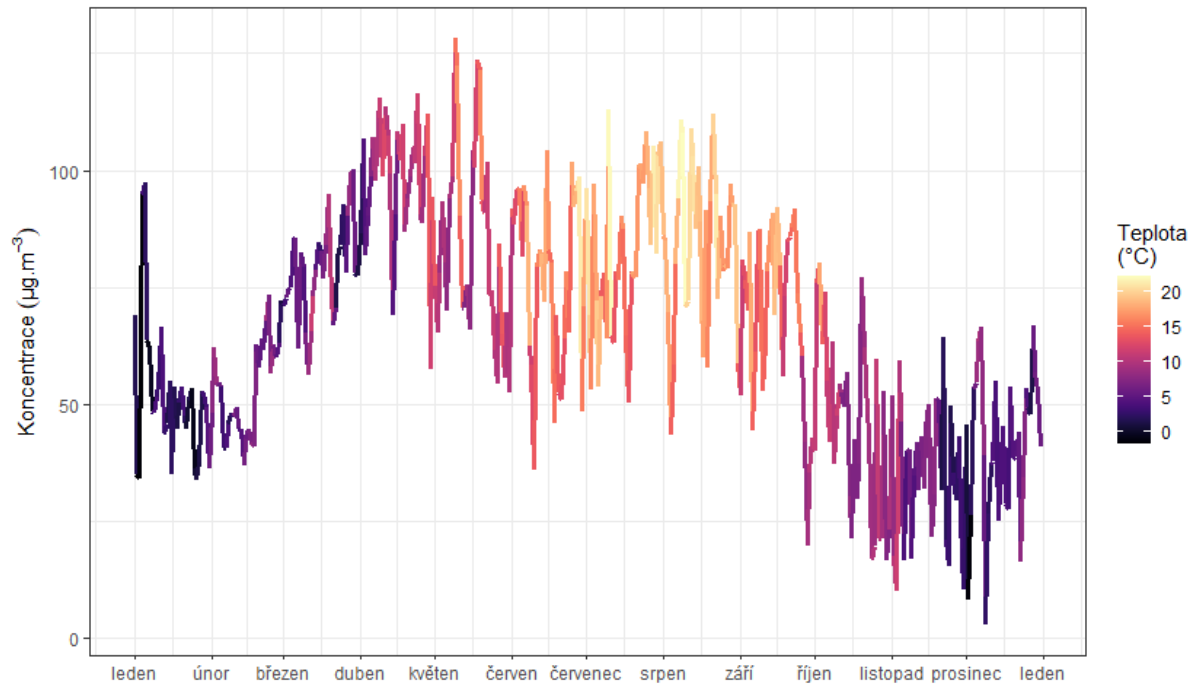
Z grafů je patrné, že v případě vývoje koncentrací O<sub>3</sub> dochází ke kulminaci mezi květnem a srpnem. To souvisí s mechanismem tvorby přízemního ozónu.

Na Obr. 56 jsou nad sebou zobrazeny dva grafy. Křivka vždy zobrazuje vývoj koncentrací O<sub>3</sub> v dané lokalitě. Zabarvení křivky na horním grafu vždy zobrazuje aktuální teplotu vzduchu, ve spodním grafu pak rychlosť proudění větru.

Z uvedených grafů vyplývá, že meteorologické podmínky mají na koncentrace O<sub>3</sub> významný vliv, zejména pak teplota a sluneční záření. S rostoucím slunečním zářením a teplotou rostou rovněž koncentrace O<sub>3</sub>. Rychlosť větru tolik koncentraci neovlivňuje, přesto vyšší rychlosťi větru zřejmě mírně přispívají k vyšším koncentracím O<sub>3</sub>.

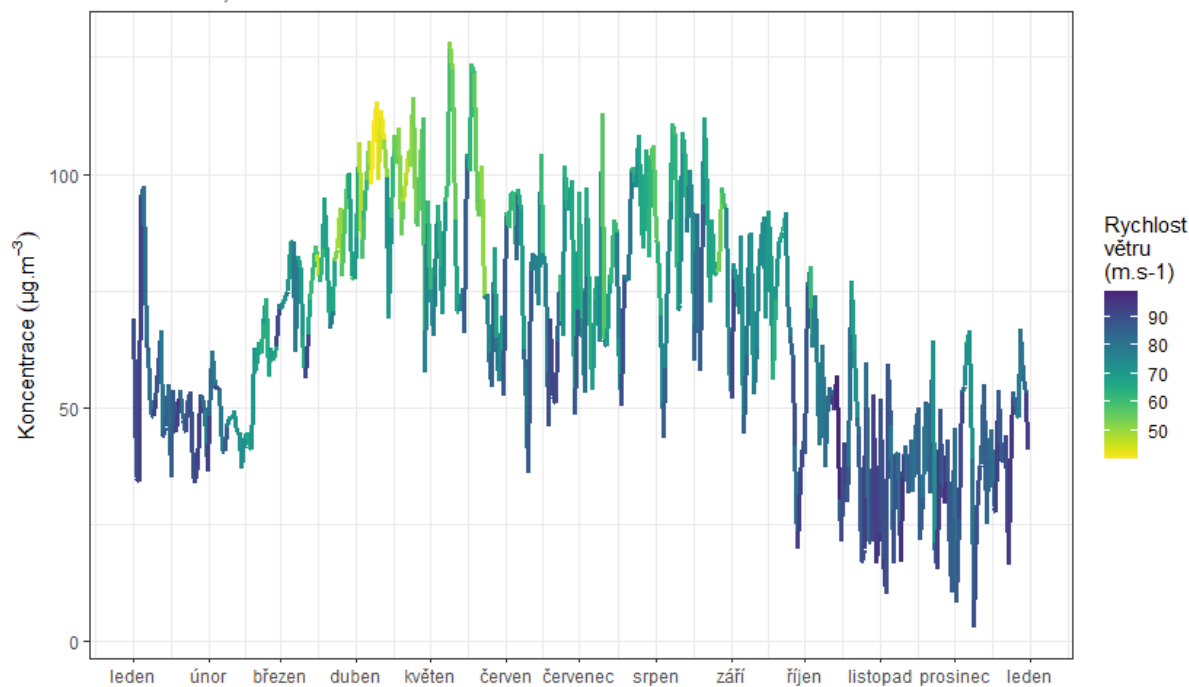
### Vývoj maximálních 8h koncentrací O<sub>3</sub> za den v závislosti na teplotě vzduchu

Zlín - Kvítková, rok 2020



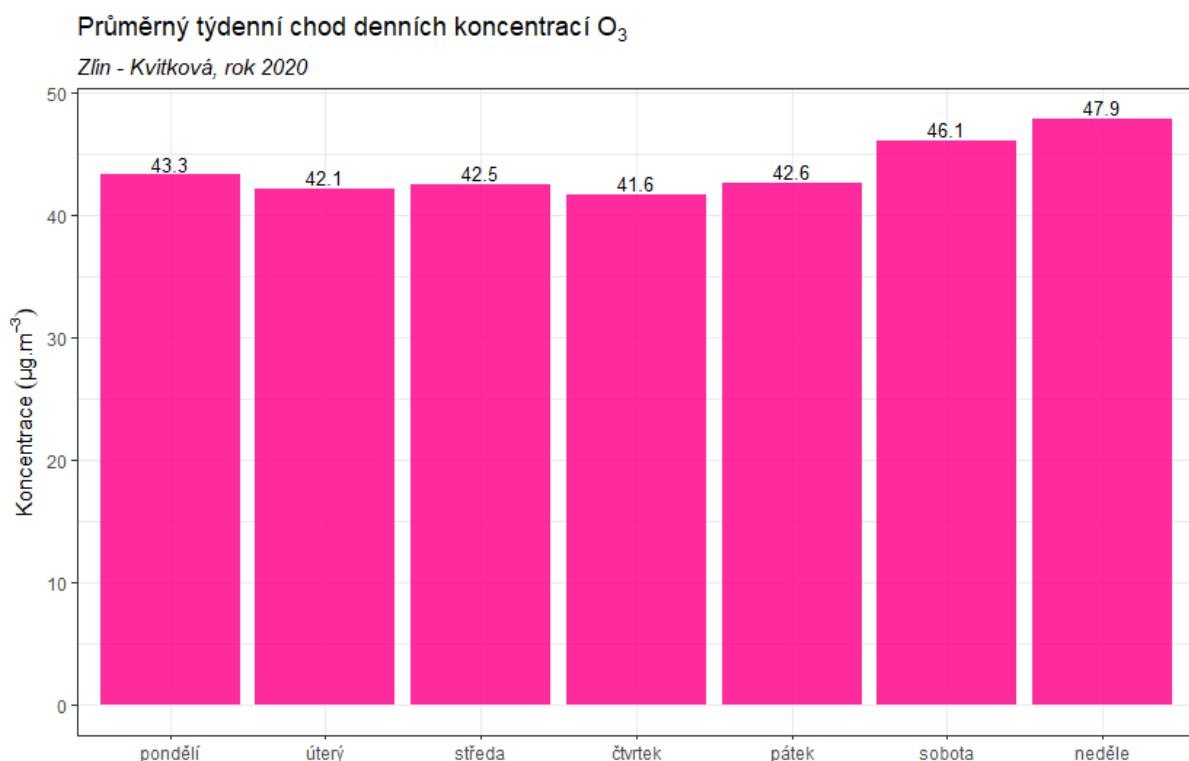
### Vývoj maximálních 8h koncentrací O<sub>3</sub> za den v závislosti na rychlosti větru

Zlín - Kvítková, rok 2020



Obr. 56 – Vliv teploty (nahoře) a rychlosti větru (dole) na koncentrace O<sub>3</sub>, Zlín – Kvítková, rok 2020

Naopak z týdenního chodu průměrných denních koncentrací O<sub>3</sub> není patrný výrazný rozdíl mezi jednotlivými dny. Důležitějším faktorem jsou meteorologické podmínky (sluneční záření, teplota).



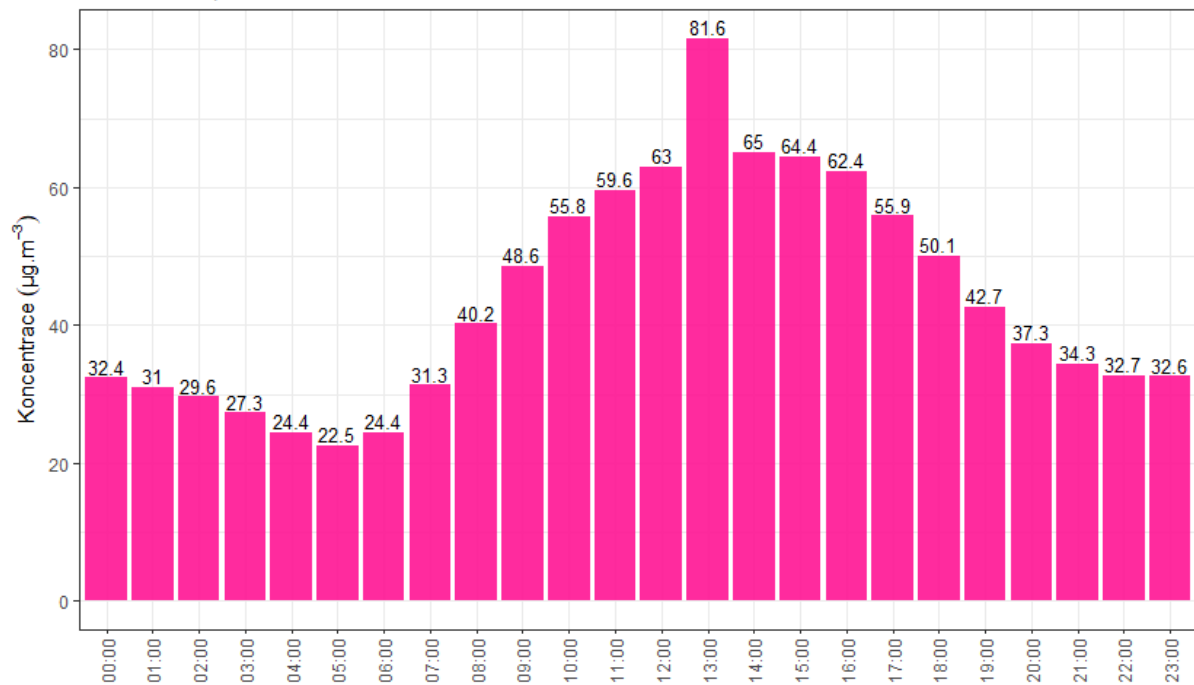
Obr. 57 - Průměrný týdenní chod denních koncentrací O<sub>3</sub>, Zlín – Kvítková, rok 2020

### 3.3.4 Analýza hodinových koncentrací – denní chod a koncentrační růžice

Zprůměrováním všech naměřených koncentrací v jednotlivé hodiny lze získat průměrný denní chod O<sub>3</sub> v lokalitě Zlín – Kvítková. Denní chod O<sub>3</sub> zobrazuje následující Obr. 58. Z grafu je patrné, že nejvyšší hodnoty koncentrací O<sub>3</sub> jsou dosahovány okolo poledne a po poledni – v době s nejvyšším slunečním svitem a s nejvyššími teplotami a slunečním svitem. Výrazně vyšší koncentrace jsou měřeny 13:00 hodin UTC.

### Průměrný denní chod hodinových koncentrací O<sub>3</sub>

Zlín - Kvítková, rok 2020



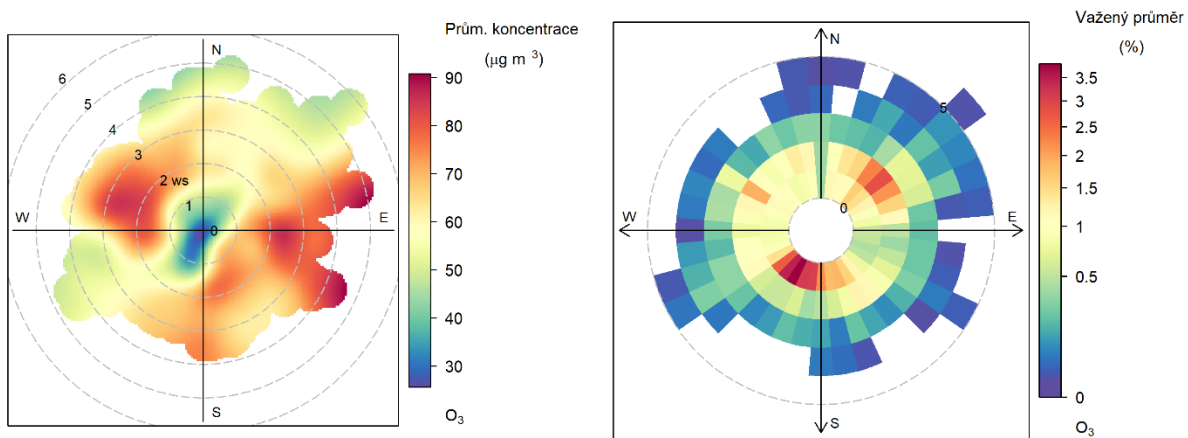
Obr. 58 – Denní chod hodinových koncentrací O<sub>3</sub>, Zlín – Kvítková, rok 2020

Vysvětlení podstaty koncentračních růžic je uvedeno v kapitole 3.1.4.

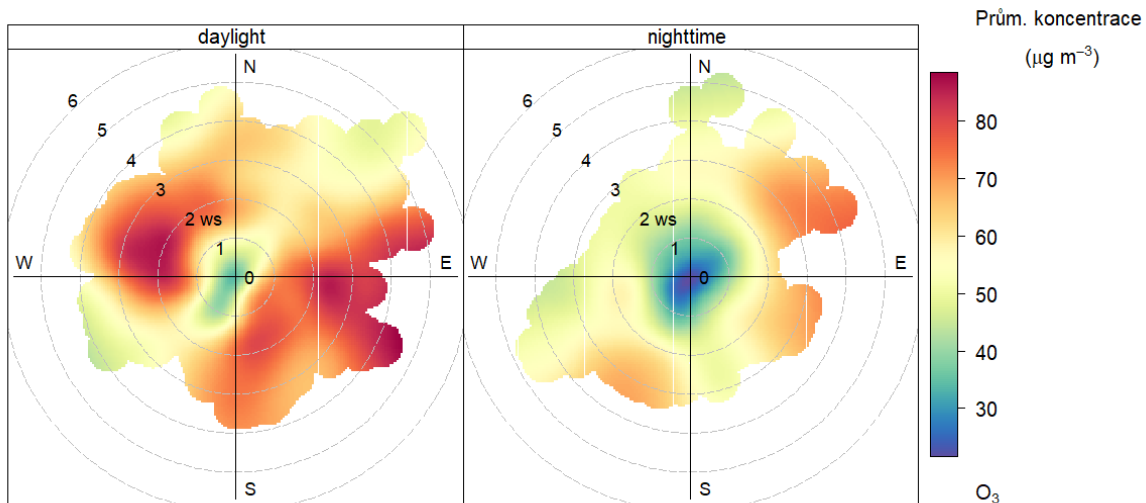
Následující Obr. 59 zobrazuje dva typy koncentrační a váženou koncentrační růžici O<sub>3</sub> pro lokalitu Zlín – Kvítková.

Z Obr. 59 vyplývá, že v průměru jsou nejvyšší koncentrace měřeny při západním až severozápadním proudění a vyšších rychlostech větru a dále při východním proudění a vyšších rychlostech větru. Jihozápadní směry proudění se pak nejvíce podílely na měřených koncentracích O<sub>3</sub> v roce 2020.

Pokud se koncentrační růžice rozdělí na den a noc (Obr. 60), je velmi dobře patrné, že vysoké koncentrace O<sub>3</sub> se vyskytují převážně ve dne.

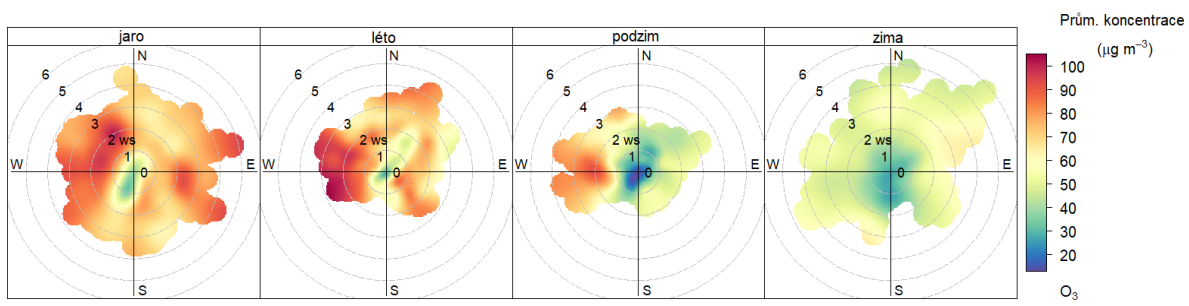


Obr. 59 – Koncentrační růžice (vlevo) a vážená koncentrační růžice (vpravo) pro  $O_3$ , Zlín – Kvítková, rok 2020



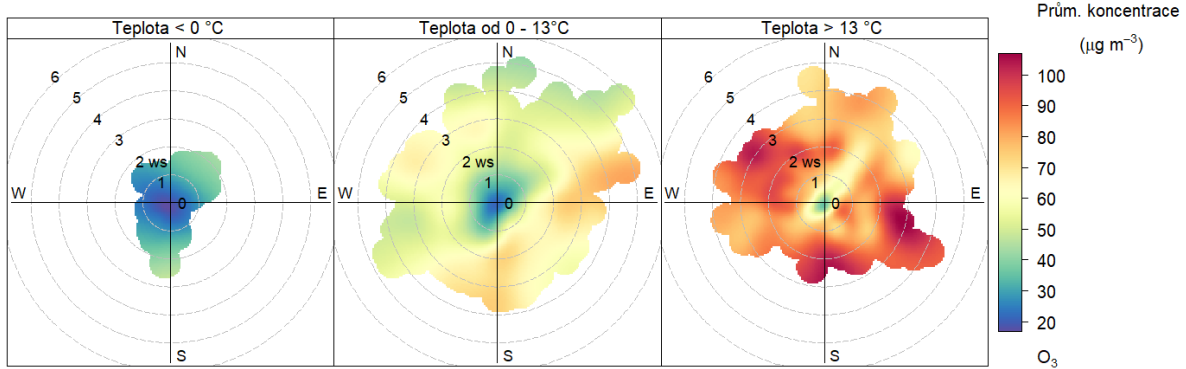
Obr. 60 - Koncentrační růžice ve dne (daytime) a v noci (nighttime), Zlín – Kvítková, rok 2020

Následující Obr. 61 zobrazuje koncentrační růžice v jednotlivých ročních obdobích. Nízké koncentrace lze sledovat převážně v zimě a také na podzim, v ostatních měsících jsou koncentrace výrazně vyšší.



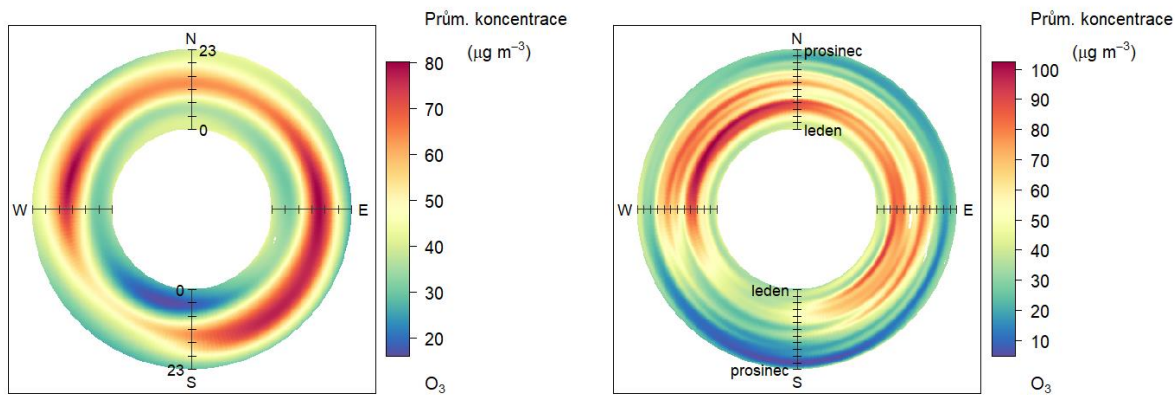
Obr. 61 – Koncentrační růžice jednotlivých ročních období, Zlín – Kvítková, rok 2020

Zajímavé je také rozdělit koncentrační růžice na základě teplot vzduchu. Z Obr. 62 je pak patrné, že nejvyšší koncentrace jsou výhradně měřeny při teplotách vzduchu vyšších než  $13^{\circ}\text{C}$ . Při nižších teplotách jsou naopak nízké.



Obr. 62 – Koncentrační růžice členěná dle teplot, Zlín – Kvítková, rok 2020

Cenné informace poskytuje rovněž průměrný denní a roční chod, členěný dle směru větru. V případě denního chodu je uprostřed první hodina po půlnoci a na okraji pak 23. hodina. V případě ročního chodu je pak uprostřed 1. 1. a na okraji 31. 12. Směry větru jsou totožné jako v případě růžic.



Obr. 63 – Průměrný denní chod (vlevo) a roční chod (vpravo) koncentrací dle směru větru, Zlín – Kvítková, rok 2020

Z Obr. 63 pak vyplývá, že v případě lokality Zlín – Kvítková v roce 2020 byly nejvyšší koncentrace O<sub>3</sub> měřeny v denních hodinách, zejména kolem poledne. Z ročního chodu pak vyplývá, že koncentrace kulminovaly v teplé části roku.

### 3.3.5 Srovnání s lokalitami státní sítě imisního monitoringu

V této podkapitole budou koncentrace, naměřené v lokalitě Zlín – Kvítková, srovnány s hodnotami naměřenými ve státní síti imisního monitoringu Českého hydrometeorologického ústavu (ČHMÚ).

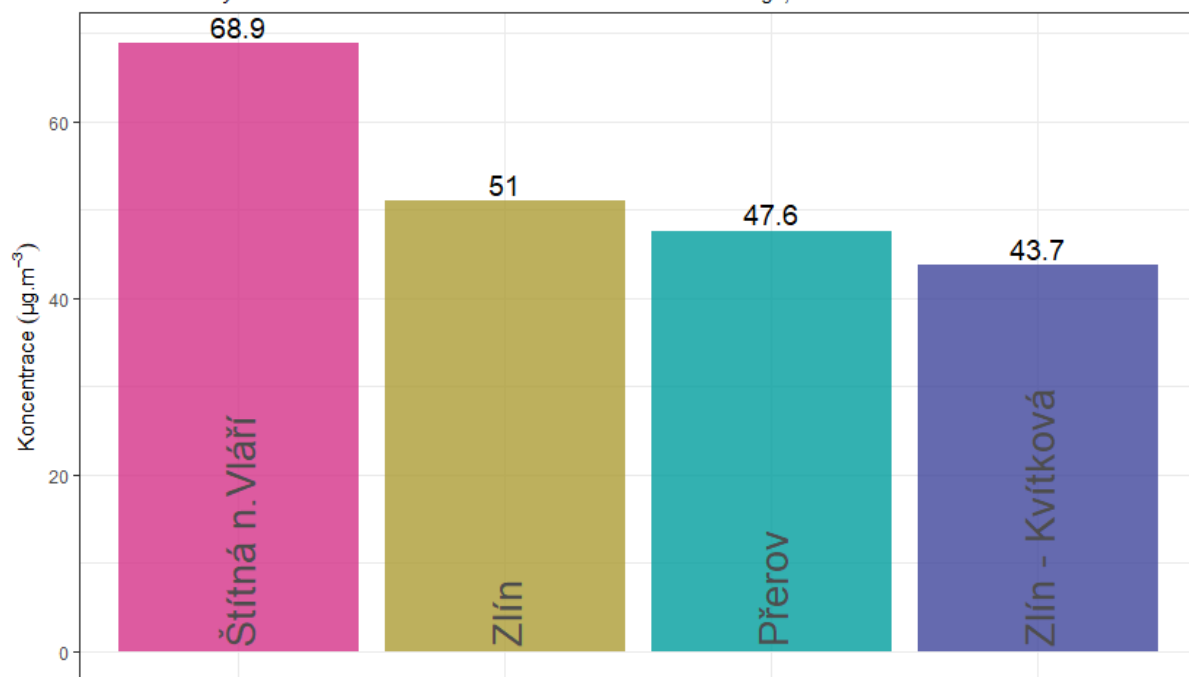
Na následujícím Obr. 64 jsou zobrazeny průměrné roční koncentrace přízemního ozónu O<sub>3</sub> na okolních lokalitách v roce 2020 a srovnány s lokalitou Zlín – Kvítková. Z grafu vyplývá, že v lokalitě Zlín – Kvítková jsou měřeny nejnižší koncentrace přízemního ozónu ze všech uvedených lokalit. Nejvyšší koncentrace O<sub>3</sub> měřeny v lokalitě Štítná nad Vláří (vrcholová poloha Bílých Karpat). Souvisí to s mechanismem tvorby přízemního ozónu v atmosféře a také s přítomností látek, se kterými může O<sub>3</sub> reagovat a spotřebovávat se.

Následující graf na Obr. 65 zobrazuje průměrné měsíční koncentrace O<sub>3</sub> naměřené ve vybraných lokalitách. Z grafu je patrné, že vysoké koncentrace jsou vždy měřeny v teplé části roku, což souvisí s tvorbou přízemního O<sub>3</sub> v atmosféře.

Následující graf na Obr. 66 srovnání průměrných denních koncentrací O<sub>3</sub> s nejbližší lokalitou státní sítě imisního monitoringu Zlín. Z grafu je patrné, že v lokalitě Zlín jsou měřeny mírně vyšší koncentrace O<sub>3</sub> po celý rok, vývoj je téměř totožný a lokality spolu velmi dobře korelují.

### Průměrné roční koncentrace O<sub>3</sub>

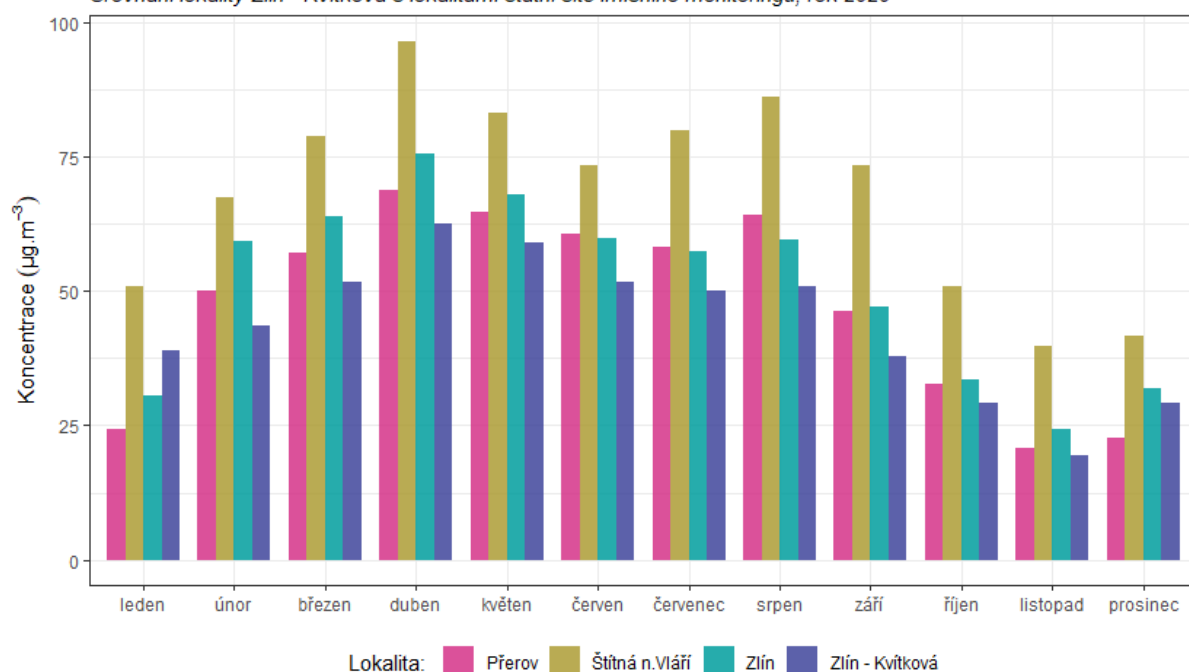
Srovnání lokality Zlín - Kvítková s lokalitami státní sítě imisního monitoringu, rok 2020



Obr. 64 – Srovnání průměrné roční koncentrace O<sub>3</sub> lokality Zlín – Kvítková s okolními stanicemi státní sítě imisního monitoringu, rok 2020

### Průměrné měsíční koncentrace O<sub>3</sub>

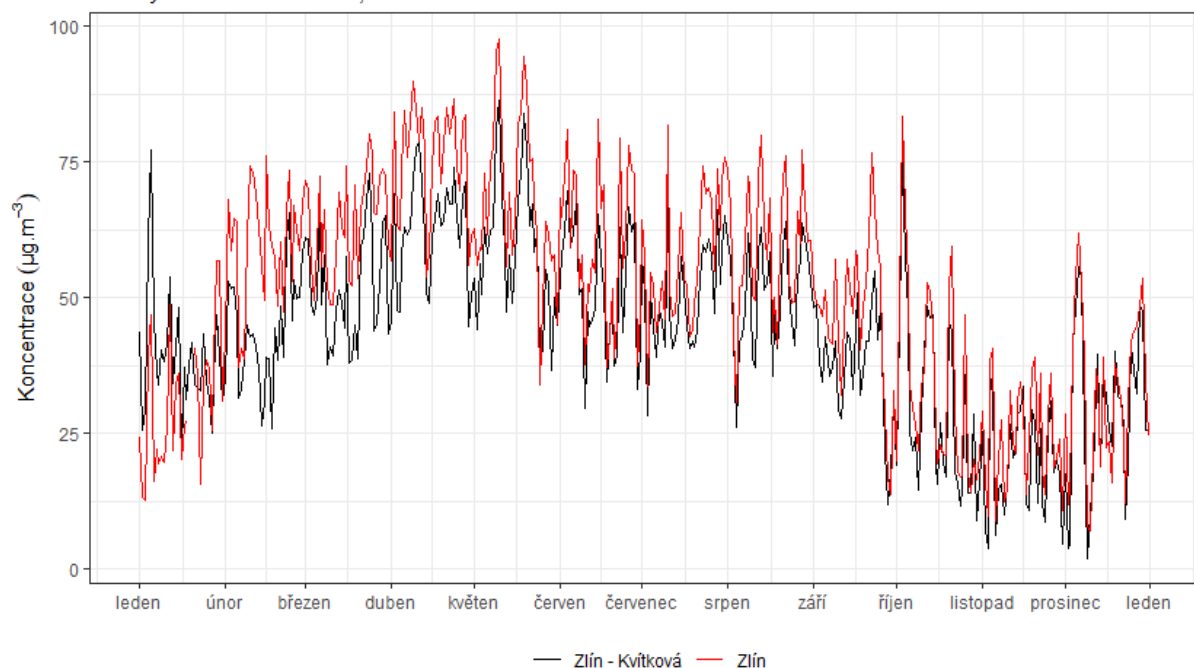
Srovnání lokality Zlín - Kvítková s lokalitami státní sítě imisního monitoringu, rok 2020



Obr. 65 – Srovnání průměrných měsíčních koncentrací O<sub>3</sub> lokality Zlín – Kvítková s okolními stanicemi státní sítě imisního monitoringu, rok 2020

### Srovnání průměrných denních koncentrací $O_3$

Lokality Zlín - Kvítková a Zlín, rok 2020



Obr. 66 – Srovnání průměrných denních koncentrací  $O_3$ , lokality Zlín – Kvítková a Zlín, rok 2020

## 4 ZÁVĚRY

---

- Vývoj průměrných denních koncentrací **PM<sub>10</sub>** i **PM<sub>2,5</sub>** odpovídá vývoji koncentrací na dalších stanicích státní sítě imisního monitoringu. Na úrovni hodinových koncentrací ovlivňují vývoj meteorologické podmínky (např. teplota) a s nimi související činnosti – zejména vytápění v lokálních topeništích. Maximální koncentrace PM<sub>10</sub> i PM<sub>2,5</sub> byly měřeny ve večerních a nočních hodinách po zatopení. Důležitým faktorem je rovněž rychlosť větru – pokud je bezvětří, nedochází k rozptylu škodlivin, ale naopak k jejich kumulaci a koncentrace rostou.
- Průměrné roční koncentrace PM<sub>10</sub> (20,9  $\mu\text{g}\cdot\text{m}^{-3}$ ) ani PM<sub>2,5</sub> (16,6  $\mu\text{g}\cdot\text{m}^{-3}$ ) nepřekračují imisní limit pro průměrné roční koncentrace těchto škodlivin, a to přestože od roku 2020 platí zpřísněný imisní limit pro PM<sub>2,5</sub> s hodnotou 20  $\mu\text{g}\cdot\text{m}^{-3}$ .
- Za rok 2020 byla hodnota imisního limitu pro průměrnou denní koncentraci PM<sub>10</sub> (50  $\mu\text{g}\cdot\text{m}^{-3}$ ) překročena 18x, imisní limit pro průměrnou denní koncentraci PM<sub>10</sub> je tak plněn.
- Koncentrace **oxidu dusíku** souvisí především se zatížením dopravou. Zvýšené koncentrace v rámci denního chodu tak byly pozorovány během ranní a večerní dopravní špičky. I tak byly koncentrace nízké, charakteristické pro městské pozadí. Okolo poledne dochází k poklesu koncentrací NO<sub>2</sub> také díky reakci této látky při tvorbě přízemního ozónu. Ze srovnání koncentrací NO<sub>2</sub> se stanicí státní sítě imisního monitoringu Zlín vyplývá, že v lokalitě Zlín – Kvítková jsou měřeny mírně vyšší koncentrace, avšak trend vývoje je na všech lokalitách podobný. Z hlediska týdenního chodu jsou vyšší koncentrace měřeny v pracovní dny s vyšším zatížením dopravou.
- Průměrná roční koncentrace NO<sub>2</sub> (15,5  $\mu\text{g}\cdot\text{m}^{-3}$ ) nepřekračuje imisní limit pro průměrnou roční koncentraci NO<sub>2</sub>.
- Vysoké koncentrace přízemního ozónu O<sub>3</sub> jsou měřeny převážně v letních dnech s vysokými teplotami a dlouhým časem slunečního svitu přes den. V zimě jsou koncentrace naopak nízké. Naměřené hodnoty byly nižší než koncentrace, které měřila stanice státní sítě imisního monitoringu Zlín, avšak vývoj koncentrací byl podobný.
- V rámci přízemního ozónu se s imisním limitem srovnávají maximální 8hodinové klouzavé průměry v průměru za tři roky. Vzhledem k tomu, že je k dispozici pouze dva celistvé roky, použije se 26. nejvyšší hodnota v průměru za roky 2018 - 2020. Ta měla hodnotu 110  $\mu\text{g}\cdot\text{m}^{-3}$ , imisní limit pro přízemní ozón tedy překročen nebyl.

## 5 CITOVARÁ LITERATURA

---

- [1] Zákon č. 201/2012 Sb. o ochraně ovzduší ve znění pozdějších předpisů, 2012 - 2017, MŽP, 2012.
- [2] R Core Team, „R: A language and environment for statistical computing,” R Foundation for Statistical Computing, Vienna, Austria., 2018. [Online]. Available: <https://www.R-project.org/>.
- [3] H. Wickham a et al., „Welcome to the tidyverse,” *Journal of Open Source Software*, sv. 4, č. 43, p. 1686, 2019.
- [4] D. Carslaw a K. Ropkins, „Openair - an R package for air quality data analysis,” *Environmental*, Sv. %1 z %227-28, pp. 52 - 61, 2012.
- [5] ČHMÚ, „Znečištění ovzduší na území České republiky v roce 2019, ISBN: ISBN 978-80-7653-009-6,” ČHMÚ, 2020. [Online]. Available: [https://www.chmi.cz/files/portal/docs/uoco/isko/grafroc/19groc/gr19cz/Obsah\\_CZ.html](https://www.chmi.cz/files/portal/docs/uoco/isko/grafroc/19groc/gr19cz/Obsah_CZ.html).
- [6] U. EPA, „Particulate Matter (PM) Pollution,” [Online]. Available: <https://www.epa.gov/pm-pollution>.
- [7] J. Keder, „Rozbor výsledků kontinuálního měření spekter velikostí částic analyzátoru Grimm,” v *Ovzduší 2007*, Brno, 2007.
- [8] USEPA, „Nitrogen Dioxide (NO<sub>2</sub>) Pollution,” [Online]. Available: <https://www.epa.gov/no2-pollution>.
- [9] P. WARNECK, Chemistry of the natural atmosphere, San Diego: Academic Press: ISBN 0-12-735632-0, 2000.
- [10] European Commission, „Position paper on air quality: nitrogen dioxide,” 1997.
- [11] J. H. Seinfeld a S. N. Pandis, Atmospheric chemistry and physics: from air pollution to climate change, New York: John Wiley & Sons, Inc. ISBN 978-0-471-72017-1, 2006.
- [12] J. Fiala a D. Závodský, „Chemické aspekty znečištěného ovzduší – troposférický ozon.,“ v *Kompendium ochrany kvality ovzduší*, Praha, 2003.
- [13] I. Colbeck a A. R. Mackenzie, „Air Pollution by photochemical oxidants,” *Air Quality Monographs*, č. Elsevier. ISBN 0-444-88542-0, 1994.
- [14] Zákon č. 201/2012 Sb. o ochraně ovzduší, 2012.
- [15] Vyhláška č. 330/2012 Sb.o způsobu posuzování a vyhodnocení úrovně znečištění, rozsahu informování veřejnosti o úrovni znečištění a při smogových situacích, Praha, 2012.
- [16] Š. L. Š. H. Tolasz R., „Počasí, podnebí a kvalita ovzduší v ČR v roce 2016 – vybrané události,” 13 1 2016. [Online]. Available: <http://www.infomet.cz/index.php?id=read&idd=1484297500>.
- [17] ČHMÚ, „Znečištění ovzduší na území České Republiky 1996 - 2015,” 1 12 2016. [Online]. Available: [http://portal.chmi.cz/files/portal/docs/uoco/isko/grafroc/grafroc\\_CZ.html](http://portal.chmi.cz/files/portal/docs/uoco/isko/grafroc/grafroc_CZ.html).
- [18] ČHMÚ, „Znečištění ovzduší na území České Republiky,” 1996 - 2015. [Online]. Available: [http://portal.chmi.cz/files/portal/docs/uoco/isko/grafroc/grafroc\\_CZ.html](http://portal.chmi.cz/files/portal/docs/uoco/isko/grafroc/grafroc_CZ.html).

- [19] ČHMÚ, „Registr emisí a zdrojů znečištění ovzduší,” 2010-2015. [Online]. Available: [http://portal.chmi.cz/files/portal/docs/uoco/oez/emisnibilance\\_CZ.html](http://portal.chmi.cz/files/portal/docs/uoco/oez/emisnibilance_CZ.html).
- [20] M. VOJTIŠEK, „O provozu vznětových motorů a aerosolech jimi produkovaných v městských aglomeracích,” *Konference ČAS 2010. Sborník konference.*, č. ISBN: 978-80-86186-25-2, 2010.
- [21] WHO, „Air quality guidelines for Europe, Second Edition,” *WHO Regional Publications, European Series*, sv. No. 91, 2000.
- [22] EEA, „Air quality in Europe — 2016 report,” 2016. [Online]. Available: [https://www.eea.europa.eu/publications/air-quality-in-europe-2016/at\\_download/file](https://www.eea.europa.eu/publications/air-quality-in-europe-2016/at_download/file).
- [23] ČHMÚ, kolektiv autorů, „Grafická ročenka 2017,” Český hydrometeorologický ústav, 2018. [Online]. Available: [http://portal.chmi.cz/files/portal/docs/uoco/isko/grafroc/17groc/gr17cz/Obsah\\_CZ.html](http://portal.chmi.cz/files/portal/docs/uoco/isko/grafroc/17groc/gr17cz/Obsah_CZ.html).
- [24] ČHMÚ, „Znečištění ovzduší na území České republiky v roce 2018,” 2019. [Online]. Available: [http://portal.chmi.cz/files/portal/docs/uoco/isko/grafroc/18groc/gr18cz/IV.1.PM\\_CHMU2018.pdf](http://portal.chmi.cz/files/portal/docs/uoco/isko/grafroc/18groc/gr18cz/IV.1.PM_CHMU2018.pdf). [Přístup získán 2019].